



Regione Lombardia
Direzione Generale Infrastrutture e Opere Pubbliche



CODICE
COMMESSA

LIVELLO
PROGETTAZIONE

D.P.R.
207/10

PROGRESSIVO
ELABORATO

CATEGORIA
OPERA

NUMERO
OPERA

REVISIONE

SCALA

R 3 1

D

f

0 0 1

O V

0 1

R 0

===

OPERE SOSTITUTIVE P.L. DI VIA TRIESTE IN COMUNE DI ERBA
OPERE DI COMPETENZA FERROVIENORD
Progetto Definitivo

CALCOLI PRELIMINARI DELLE STRUTTURE E DEGLI IMPIANTI
Relazione di calcolo opere civili

Revisioni		Data	Descrizione	Redatto	Controllato
	3		-		
	2		-		
	1		-		
	0	Ott. 2025	PRIMA EMISSIONE		

NORD_ING

NORD_ING Srl
IL DIRETTORE TECNICO
Ing. Laura Stiriti

FERROVIENORD

FERROVIENORD S.p.A.
DIREZIONE SVILUPPO INFRASTRUTTURA
IL DIRETTORE
Ing. Andrea Lucia Passarelli

Progettista



Collaborazione



Via Squero, 12 - 35043 Monselice (PD)



REDATTO	CONTROLLATO	APPROVATO	DATA
CODICE ARCHIVIO COLLABORATORE			AGG.

Sommario

1. PREMESSA	4
2. NORMATIVA DI RIFERIMENTO	5
2.1. Normativa nazionale	5
2.2. Normativa europea	5
3. CARATTERIZZAZIONE GEOTECNICA	6
3.1. Modello geotecnico	6
3.2. Falda	6
3.3. Liquefazione	6
3.4. Bonifica piano di posa	7
3.5. Pericolosità sismica	8
4. CARATTERISTICHE DEI MATERIALI	10
4.1. Calcestruzzo fondazioni ed elevazioni muri di sostegno e cordoli	10
4.2. Acciaio per c.a.	12
5. SOFTWARE DI CALCOLO	13
6. DESCRIZIONE DEI MURI DI SOSTEGNO	14
6.1. Sezioni tipologiche di calcolo dei muri	14
6.2. Muri d sostegno	19
6.2.1. Muro 01	19
6.2.2. Muro 02	19
6.2.3. Muro 03	19
6.2.4. Muro 04	20
6.2.5. Muro 05	20
6.2.6. Muro 06	20
6.3. Riepilogo	21
7. ANALISI DEI CARICHI MURI	21
7.1. Carichi permanenti	21
7.2. Carico da traffico	22
7.3. Urto	22
7.4. Azioni sismiche	23
8. COMBINAZIONI DI CARICO	25
9. CRITERI DI VERIFICA	30
9.1. Ipotesi di calcolo	30
9.2. Richiami teorici	31
9.2.1. Calcolo della spinta sul muro: metodo di Culmann	32
9.2.2. Spinta in presenza di sisma	32
9.3. Verifiche geotecniche (GEO) allo SLU	33
9.3.1. Verifica a scorrimento	33
9.3.2. Verifica al ribaltamento	34
9.3.3. Verifica al carico limite	35

9.3.4. Verifica alla stabilità globale	36
9.4. Verifiche geotecniche (GEO) allo SLE - Cedimenti della fondazione – Metodo elastico	37
9.5. Verifiche strutturali (STR) allo SLU	38
9.6. Verifiche strutturali (STR) allo SLE	39
9.6.1. Verifica a fessurazione	39
9.6.2. Verifica delle tensioni di esercizio	40
10. SINTESI DEI RISULTATI.....	41
10.1. Input software di calcolo	41
10.2. Sezione tipo 1 e 2 – $2.80\text{m} < H < 4.00\text{m}$	44
10.2.1. Carichi	44
10.2.2. Verifiche geotecniche.....	45
10.2.3. Verifiche strutturali.....	46
10.3. Sezione tipo 3 – $2.00\text{m} < H < 2.80\text{m}$	49
10.3.1. Carichi	49
10.3.2. Verifiche geotecniche.....	50
10.3.3. Verifiche strutturali.....	51
10.4. Sezione tipo 4 – $1.00\text{m} < H < 2.00\text{m}$	54
10.4.1. Carichi	54
10.4.2. Verifiche geotecniche.....	55
10.4.3. Verifiche strutturali.....	56
10.5. Sezione tipo 5 - $H < 1.00\text{m}$	59
10.5.1. Carichi	59
10.5.2. Verifiche geotecniche.....	60
10.5.3. Verifiche strutturali.....	60
10.6. Sezione tipo 6 - $2.00 < H < 2.80\text{m}$ (Sez. L).....	63
10.6.1. Carichi	64
10.6.2. Verifiche geotecniche.....	64
10.6.3. Verifiche strutturali.....	65
10.7. Sezione tipo 7 - $1.00 < H < 2.00\text{m}$ (Sez. L).....	69
10.7.1. Carichi	69
10.7.2. Verifiche geotecniche.....	70
10.7.3. Verifiche strutturali.....	71
10.8. Sezione tipo 8 - $H < 2.00\text{m}$ (sottoscarpa)	74
10.8.1. Carichi	74
10.8.2. Verifiche geotecniche.....	75
10.8.3. Verifiche strutturali.....	76
10.9. Sezione tipo 9 - $H < 1.50\text{m}$	79
10.9.1. Carichi	79
10.9.2. Verifiche geotecniche.....	80
10.9.3. Verifiche strutturali.....	80
10.10. Verifiche strutturali condizione di urto	83
10.10.1. Altezza paramento $H = 1.00\text{m}$	83
10.10.2. Altezza paramento $H = 2.00\text{m}$	85
10.10.3. Altezza paramento $H = 2.80\text{m}$	88
10.10.4. Altezza paramento $H = 4.00\text{m}$	90
11. CORDOLO PORTA BARRIERA DI COLLEGAMENTO MU03	93
11.1. Analisi dei carichi	93
11.2. Verifica strutturale	96

11.2.1. Verifica sezione A – combinazione eccezionale	96
11.2.2. Verifica sezione B – combinazione eccezionale	96
11.2.3. Verifica sezione B	97
11.3. Verifica degli inghisaggi	99
12. SCALA IN CEMENTO ARMATO	103
12.1. Carichi e sollecitazioni	104
12.2. Verifiche strutturali gradino	105
12.3. Verifiche strutturali plinto	106
13. SCALA METALLICA.....	109
13.1. Analisi dei carichi e coefficienti di carico.....	111
13.2. I parapetti	111
13.3. I cosciali UPN180	114
13.4. La fondazione	123
14. VALIDAZIONE DEL SOFTWARE DI CALCOLO.....	130

1. PREMESSA

Nell'ambito della progettazione esecutiva relativa alla sistemazione, nel comune di Erba, della viabilità esistente su via Milano, è prevista la realizzazione di nuovi muri di sostegno al fine di ampliare la sede stradale esistente. Tali opere saranno realizzate con muri di sostegno in calcestruzzo armato gettati in opera.

Nella presente relazione sono riassunti i calcoli statici di verifica di tali muri, in particolare saranno esposte: le caratteristiche geometriche, le condizioni di carico, le condizioni geotecniche, le ipotesi e i criteri generali di calcolo delle sezioni dimensionate e un sunto dei risultati ottenuti.

In specifico allegato alla presente sono invece riportati in dettaglio: i tabulati di calcolo per le varie tipologie calcolate e le verifiche locali per i muri soggetti all'azione da urto di veicoli in svio.

Oltre alle opere di sostegno sono previste alcune opere secondarie costituite da un cordolo porta barriera di sicurezza in cemento armato e delle scale in cemento armato e carpenteria metallica, anch'esse descritte e verificate nella presente relazione.

2. NORMATIVA DI RIFERIMENTO

2.1. Normativa nazionale

- Legge 05/11/1971, n°1086 – Norme per la disciplina delle opere di conglomerato cementizio armato normale e precompresso e a struttura metallica.
- D.M. 17/01/2018 – Aggiornamento delle Norme tecniche per le costruzioni.
- Circolare 21/01/201, n°7 C.S.LL.PP. – Istruzioni per l'applicazione dell'“Aggiornamento delle Norme tecniche per le costruzioni” di cui al D.M. del 17/01/2018.

2.2. Normativa europea

- UNI EN 1992-1-1:2015 – Eurocodice 2 – Progettazione delle strutture di calcestruzzo. Parte 1-1: Regole generali e regole per gli edifici.
- UNI EN 206:2021 – Calcestruzzo – Specificazione, prestazione, produzione e conformità.
- UNI 11104:2016 – Calcestruzzo – Specificazioni, prestazione e conformità – Specificazioni complementari per l'applicazione della EN 206.

3. CARATTERIZZAZIONE GEOTECNICA

A seguire la caratterizzazione geotecnica utilizzata per il dimensionamento delle opere di sostegno. Per maggiori dettagli si rimanda alla relazione geotecnica allegata al progetto.

3.1. Modello geotecnico

Stralcio relazione geotecnica:

NOTA: Per le verifiche dei muri di sostegno si utilizzerà cautelativamente il valore **minimo** relativamente a γ e ϕ' e il valore medio di **Eop** per la stima dei cedimenti.

3.2. Falda

Stralcio relazione geotecnica:

9 PIEZOMETRIA

Per la definizione della linea di falda nel tratto in esame, si è fatto riferimento a quanto rilevato durante l'esecuzione dei sondaggi più recenti e dalle indicazioni trovate sulla relazione geologica risalente al 2013 [23], in modo da tenere conto anche di una eventuale oscillazione stagionale.

Si osserva che la falda si attesta ad una quota di circa 266 m s.l.m. nell'area in esame, con un'oscillazione stagionale di circa $\pm 3 \div 4$ m rispetto alla quota 264 m s.l.m. Pertanto, per la progettazione si raccomanda di adottare una falda a quota piano di fondazione.

3.3. Liquefazione

Stralcio relazione geotecnica:

Sulla base dei risultati dell'analisi sismica si ottiene che le accelerazioni massime attese al piano campagna in condizioni di campo libero sono minori di 0.1g, verificando così uno dei criteri di esclusione forniti dalle NTC 2018. Pertanto, la verifica alla liquefazione è implicitamente soddisfatta.

3.4. Bonifica piano di posa

Dato che secondo i sondaggi effettuati risulta che lo spessore dello strato superficiale di riporto può raggiungere anche i 2.00m, è stato previsto, dove necessario al di sotto delle opere fondali, uno spessore minimo di bonifica pari a 1.00m e comunque di altezza sufficiente alla completa rimozione del riporto. A tal proposito si veda lo schema di seguito esposto.

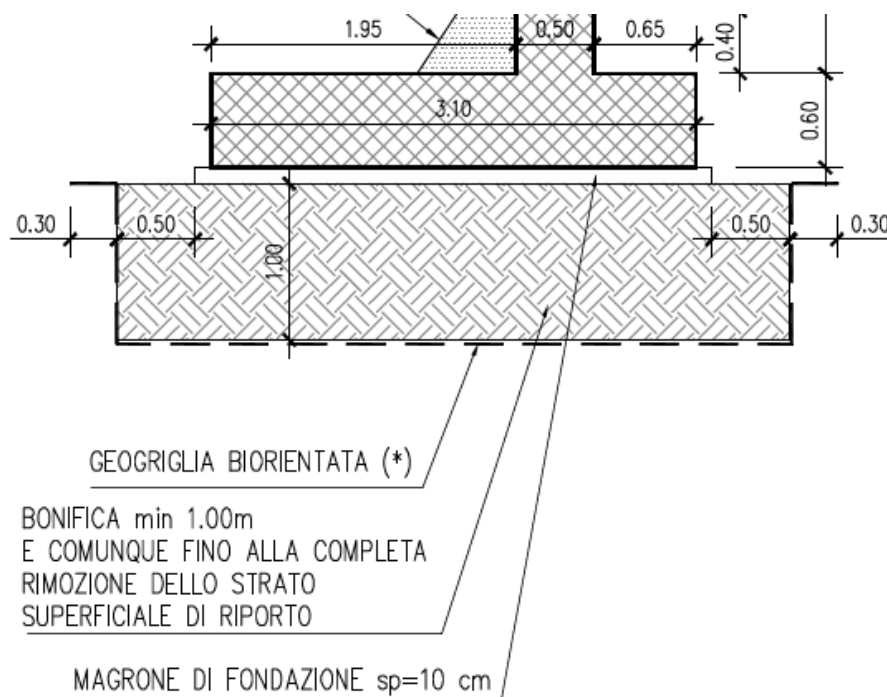


Figura 3.1 – Schema bonifica

Lo strato di bonifica sarà realizzato mediante scavo a sezione ristretta sotto l'intera area di fondazione con posa a contatto del terreno naturale di una geogriglia biorientata a maglia rettangolare in polietilene. Successivamente il terreno scavato sarà sostituito con materiale di buone caratteristiche geotecniche da compattarsi in situ tramite compattatore meccanico di almeno 20 ton. Il riporto di materiale granulare, costipato ogni 0.20m, sarà sufficiente a garantire un modulo elastico simile a quello di un terreno moderatamente addensato (25-30 N/mm²).

3.5. Pericolosità sismica

A seguire si riporta la caratterizzazione geotecnica del sito in esame (per maggiori dettagli si rimanda alla relazione geotecnica).

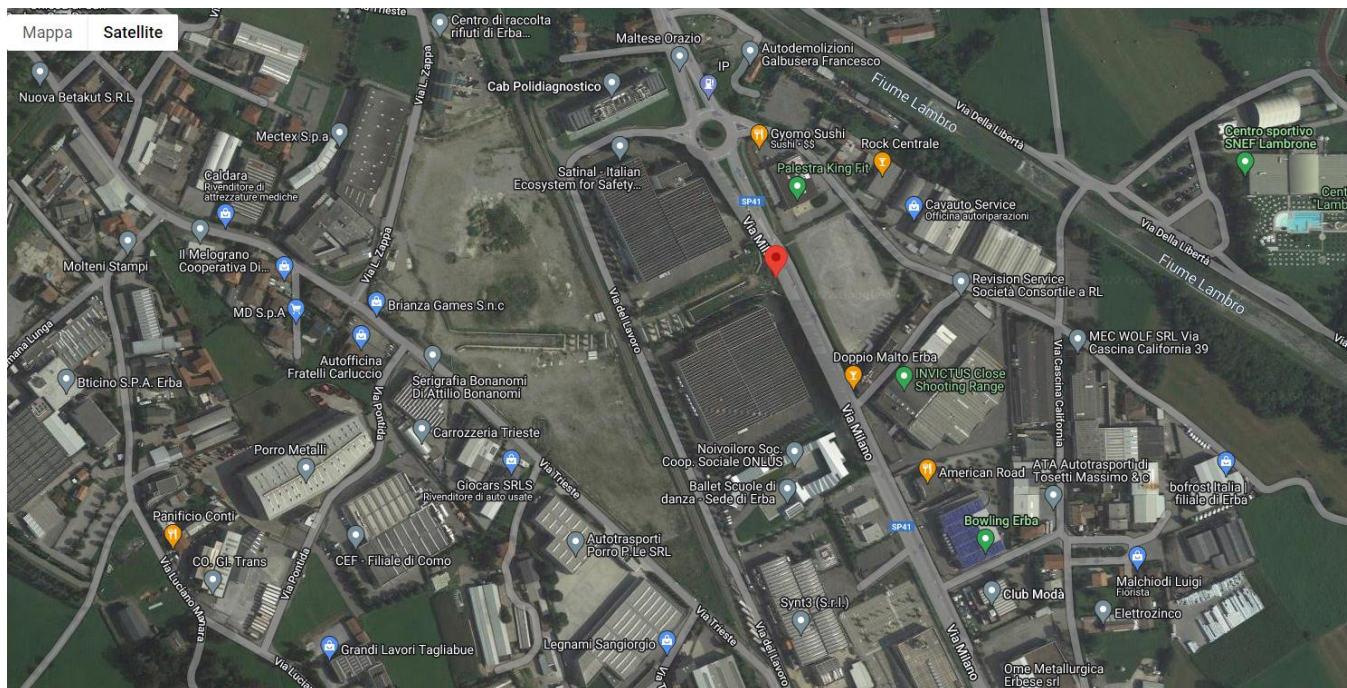


Figura 3.2 – Vista aerea sito di riferimento

Classe d'uso: III

Coeff. d'uso: 1.50

Vita nominale $V_n = 50$ anni

Categoria sottosuolo: **C** (vedasi rel. geotecnica)

Coeff. topografico: **T1** (vedasi rel. geotecnica)

2.4.2. CLASSI D'USO

Con riferimento alle conseguenze di una interruzione di operatività o di un eventuale collasso, le costruzioni sono suddivise in classi d'uso così definite:

Classe I: Costruzioni con presenza solo occasionale di persone, edifici agricoli.

Classe II: Costruzioni il cui uso preveda normali affollamenti, senza contenuti pericolosi per l'ambiente e senza funzioni pubbliche e sociali essenziali. Industrie con attività non pericolose per l'ambiente. Ponti, opere infrastrutturali, reti viarie non ricadenti in Classe d'uso III o in Classe d'uso IV, reti ferroviarie la cui interruzione non provochi situazioni di emergenza. Dighe il cui collasso non provochi conseguenze rilevanti.

Classe III: Costruzioni il cui uso preveda affollamenti significativi. Industrie con attività pericolose per l'ambiente. Reti viarie extraurbane non ricadenti in Classe d'uso IV. Ponti e reti ferroviarie la cui interruzione provochi situazioni di emergenza. Dighe rilevanti per le conseguenze di un loro eventuale collasso.

Classe IV: Costruzioni con funzioni pubbliche o strategiche importanti, anche con riferimento alla gestione della protezione civile in caso di calamità. Industrie con attività particolarmente pericolose per l'ambiente. Reti viarie di tipo A o B, di cui al DM 5/11/2001, n. 6792, "Norme funzionali e geometriche per la costruzione delle strade", e di tipo C quando appartenenti ad itinerari di collegamento tra capoluoghi di provincia non altresì serviti da strade di tipo A o B. Ponti e reti ferroviarie di importanza critica per il mantenimento delle vie di comunicazione, particolarmente dopo un evento sismico. Dighe connesse al funzionamento di acquedotti e a impianti di produzione di energia elettrica.

Tab. 2.4.II – Valori del coefficiente d'uso C_U

CLASSE D'USO	I	II	III	IV
COEFFICIENTE C_U	0,7	1,0	1,5	2,0

Figura 3.3 – Stralcio normativo

SL	T_R (anni)	a_g (g)	F_o (-)	T_c^* (s)
SLO	45	0.021	2.570	0.178
SLD	75	0.026	2.602	0.194
SLV	712	0.052	2.666	0.289
SLC	1462	0.063	2.715	0.305

Figura 3.4 – Parametri sismici di riferimento (da relazione geotecnica)

4. CARATTERISTICHE DEI MATERIALI

4.1. Calcestruzzo fondazioni ed elevazioni muri di sostegno e cordoli

Classe di esposizione ambientale:

Fondazioni Elevazioni Cordoli

Tab. 4.1.III – Descrizione delle condizioni ambientali

Condizioni ambientali	Classe di esposizione
Ordinarie	X0, XC1, XC2, XC3, XF1
Aggressive	XC4, XD1, XS1, XA1, XA2, XF2, XF3
Molto aggressive	XD2, XD3, XS2, XS3, XA3, XF4

Figura 4.1 – Tabella 4.1.III NTC2018

Scelta calcestruzzo per fondazioni ed elevazioni muri:

prospetto 5		Valori limite per la composizione e le proprietà del calcestruzzo														
		Classi di esposizione														
		Nessun rischio di corrosione dell'armatura	Corrosione delle armature indotta dalla carbonatazione				Corrosione delle armature indotta da cloruri						Attacco da cicli di gelo/disgelo			
							Acqua di mare			Cloruri provenienti da altre fonti						
			X0	XC1	XC2	XC3	XC4	XS1	XS2	XS3	XD1	XD2	XD3	XF1	XF2	XF3
Massimo rapporto a/c	-	0,60	0,55	0,50	0,50	0,45	0,55	0,50	0,45	0,50	0,50	0,45	0,50	0,50	0,45	
Minima classe di resistenza	C12/15	C25/30	C30/37	C32/40	C32/40	C35/45	C30/37	C32/40	C35/45	C32/40	C35/45	C32/40	C25/30	C30/37	C30/37	
Minimo contenuto in cemento (kg/m ³) ^{d)}	-	300	320	340	340	360	320	340	360	320	340	320	340	360	360	
Contenuto minimo in aria (%)												b)	4,0 ^{a)}			
Altri requisiti						E' richiesto l'utilizzo di cementi resistenti all'acqua di mare secondo UNI 9156							E' richiesto l'utilizzo di aggregati conformi alla UNI EN 12620 di adeguata resistenza al gelo/disgelo			

Figura 4.2 – Prospetto 5 UNI 11104:2016

Riepilogo caratteristiche calcestruzzo per elevazione muri:

Classe di resistenza	C32/40
classe di esposizione	XC4-XF1
minimo contenuto di cemento	340 kg/mc
massimo rapporto a/c	0.50
classe di consistenza	S4
massima dimensione aggregati	20 mm

copriferro minimo	$c_{f,min}$ 40 mm (vedasi calcolo a seguire)
modulo elastico C32/40	$E_c = 33346 \text{ MPa}$
resistenza caratteristica cubica	$R_{ck} = 40 \text{ MPa}$
resistenza caratteristica cilindrica	$f_{ck} = 32 \text{ MPa}$
resistenza di calcolo calcestruzzo	$f_{cd} = f_{ck} / \gamma_c$
con	$\gamma_c = 1.50$ per SLU
resistenza di calcolo SLU	$f_{cd} = f_{ck} \times 0.85 / \gamma_c = 18.13 \text{ MPa}$
limite di compressione (combinazione rara)	$\sigma_c \leq 0.60 \times f_{ck} = 19.20 \text{ MPa}$

Riepilogo caratteristiche calcestruzzo per fondazioni muri:

Classe di resistenza	C25/30
classe di esposizione	XC2
minimo contenuto di cemento	300 kg/mc
massimo rapporto a/c	0.60
classe di consistenza	S4
massima dimensione aggregati	20 mm
copriferro minimo	$c_{f,min}$ 40 mm (vedasi calcolo a seguire)
modulo elastico C25/30	$E_c = 31476 \text{ MPa}$
resistenza caratteristica cubica	$R_{ck} = 30 \text{ MPa}$
resistenza caratteristica cilindrica	$f_{ck} = 25 \text{ MPa}$
resistenza di calcolo calcestruzzo	$f_{cd} = f_{ck} / \gamma_c$
con	$\gamma_c = 1.50$ per SLU
resistenza di calcolo SLU	$f_{cd} = f_{ck} \times 0.85 / \gamma_c = 14.16 \text{ MPa}$
limite di compressione (combinazione rara)	$\sigma_c \leq 0.60 \times f_{ck} = 15.00 \text{ MPa}$

Riepilogo caratteristiche calcestruzzo per cordoli muri:

Classe di resistenza	C35/45
classe di esposizione	XC4-XF4
minimo contenuto di cemento	360 kg/mc
massimo rapporto a/c	0.45
classe di consistenza	S4
massima dimensione aggregati	20 mm
copriferro minimo	$c_{f,min}$ 50 mm (vedasi calcolo a seguire)
modulo elastico C35/45	$E_c = 34077 \text{ MPa}$
resistenza caratteristica cubica	$R_{ck} = 45 \text{ MPa}$
resistenza caratteristica cilindrica	$f_{ck} = 35 \text{ MPa}$
resistenza di calcolo calcestruzzo	$f_{cd} = f_{ck} / \gamma_c$
con	$\gamma_c = 1.50$ per SLU
resistenza di calcolo SLU	$f_{cd} = f_{ck} \times 0.85 / \gamma_c = 19.83 \text{ MPa}$
limite di compressione (combinazione rara)	$\sigma_c \leq 0.60 \times f_{ck} = 21.00 \text{ MPa}$

Calcolo copriferri minimi:

Tabella C4.1.IV - Copriferri minimi in mm

			barre da c.a. elementi a piastra		barre da c.a. altri elementi	
C_{min}	C_o	ambiente	$C \geq C_o$	$C_{min} \leq C < C_o$	$C \geq C_o$	$C_{min} \leq C < C_o$
C25/30	C35/45	ordinario	15	20	20	25
C30/37	C40/50	aggressivo	25	30	30	35
C35/45	C45/55	molto ag.	35	40	40	45

Figura 4.3 – Tabella C4.1.IV Circolare 7/2019

I valori dei copriferri minimi riportati in tabella si riferiscono a $V_n = 50$ anni

Tolleranze di posa = 10 mm.

Copriferro minimo totale (assunto sia **per elevazioni** che **fondazioni**) = 30 mm + 10 mm = **40 mm**

Copriferro minimo totale per **cordoli** = 40 mm + 10 mm = **50 mm**

4.2. Acciaio per c.a.

Barre ad aderenza migliorata, saldabile, tipo **B450C** dotato delle seguenti caratteristiche meccaniche:

modulo elastico	$E_s = 210000 \text{ MPa}$
resistenza caratteristica a rottura	$f_{tk} \geq 540 \text{ MPa}$
resistenza caratteristica a snervamento	$f_{yk} \geq 450 \text{ MPa}$
resistenza di calcolo acciaio	$f_{yd} = f_{yk} / \gamma_s = 391.3 \text{ MPa}$
con	$\gamma_s = 1.15$ per SLU
limite di trazione (combinazione rara)	$\sigma_s \leq 0.80 \times f_{yk} = 360 \text{ Mpa}$

5. SOFTWARE DI CALCOLO

I software utilizzati nella redazione della presente relazione di calcolo sono:

- Max 16.0 – Aztec Informatica per il dimensionamento dei muri di sostegno.
- Microsoft Word per la stesura delle relazioni;
- Microsoft Excel per verifiche varie per mezzo di fogli autoprodotti e validati;

6. DESCRIZIONE DEI MURI DI SOSTEGNO

Lungo lo sviluppo del tracciato si rendono necessarie opere di sostegno di varia geometria, si riconoscono muri di sostegno standard, su cui può essere installata la barriera sicurvia o un parapetto e muri di sottoscarpa.

Le fondazioni sono superficiali, ma per garantire un livello di spostamenti accettabile è prevista la bonifica dello strato sottostante il piano di imposta come descritto nel precedente paragrafo.

Ove necessario, allo scopo di evitare interferenza con sottoservizi, a tergo dei muri sono previste delle opere provvisorie realizzate con palancole metalliche verticali variamente puntonate. Si rimanda agli specifici elaborati per una dettagliata descrizione.

A tergo dell'elevazione dei muri, come sistema di impermeabilizzazione, è prevista la presenza di un geocomposito drenante con lo scopo di convogliare le acque verso un tubo microfessurato posto alla base del muro. Ad interasse di circa 3.0m è poi previsto un tubo di scarico che evita l'accumularsi di acque a tergo del paramento.

6.1. Sezioni tipologiche di calcolo dei muri

Di seguito si riporta una rappresentazione grafica delle sezioni tipologiche analizzate.

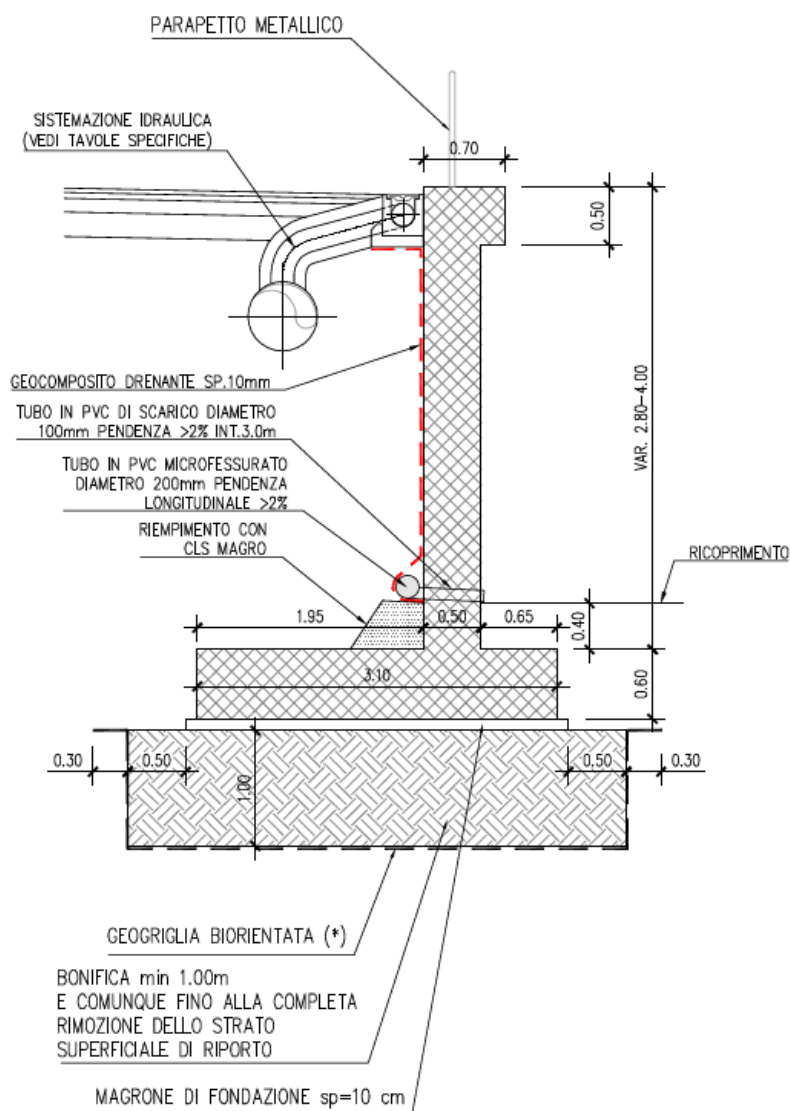


Figura 6.1 – Sezione tipo 1

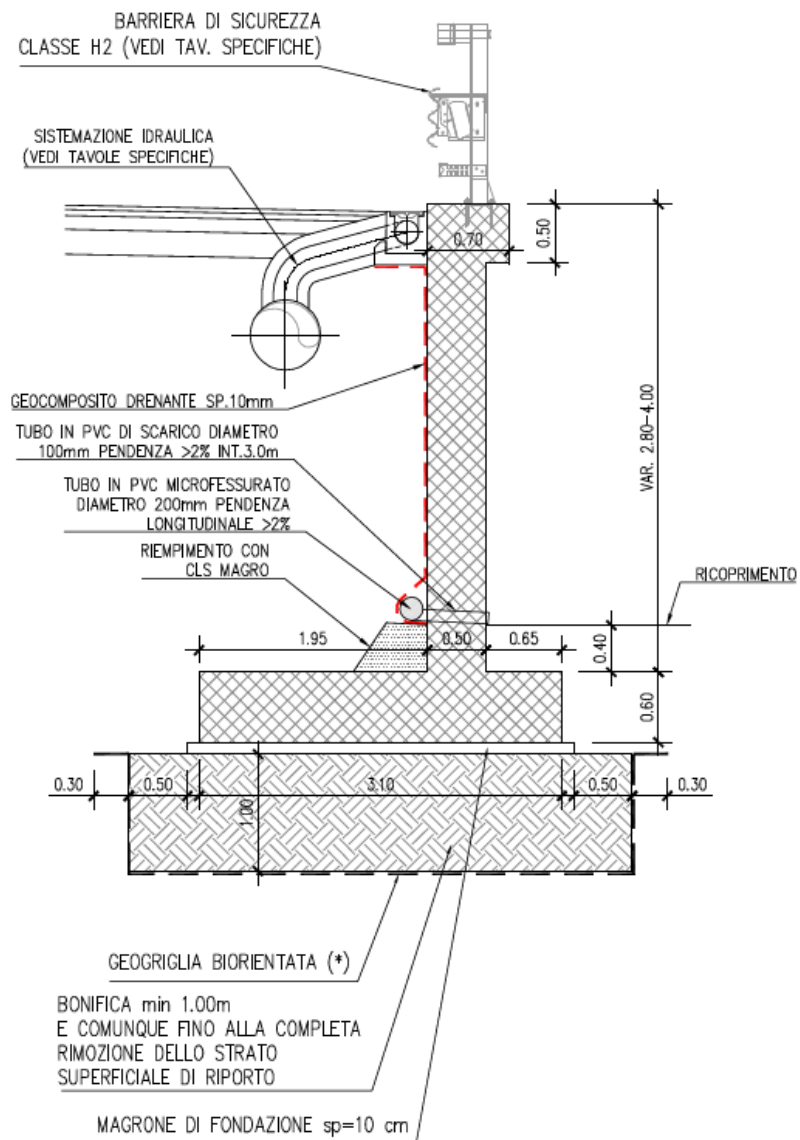


Figura 6.2 – Sezione tipo 2

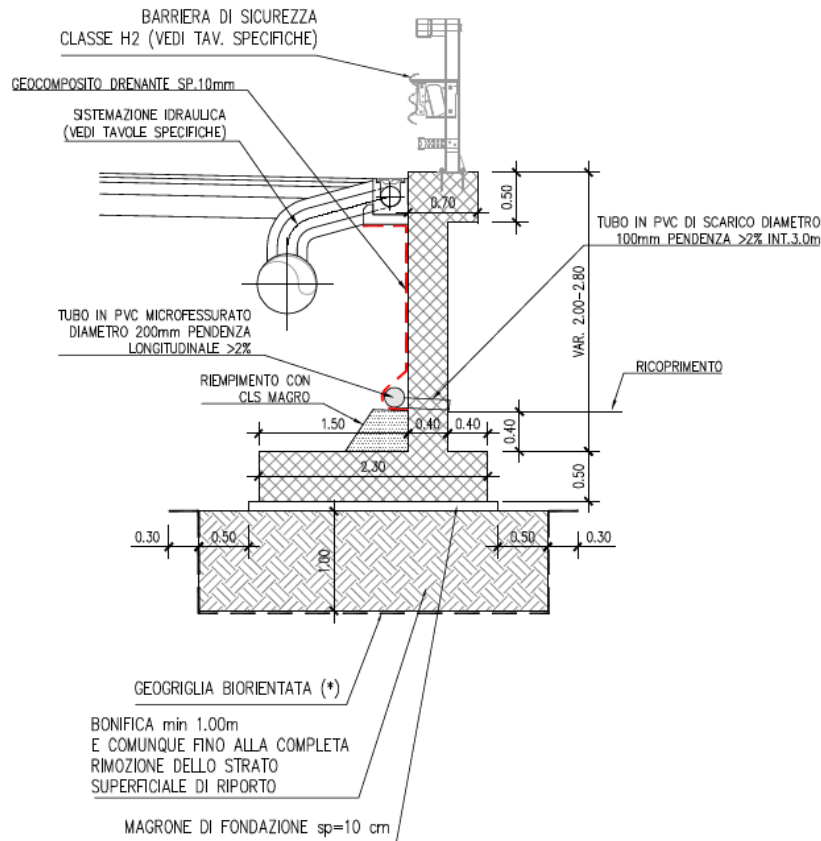


Figura 6.3 – Sezione tipo 3

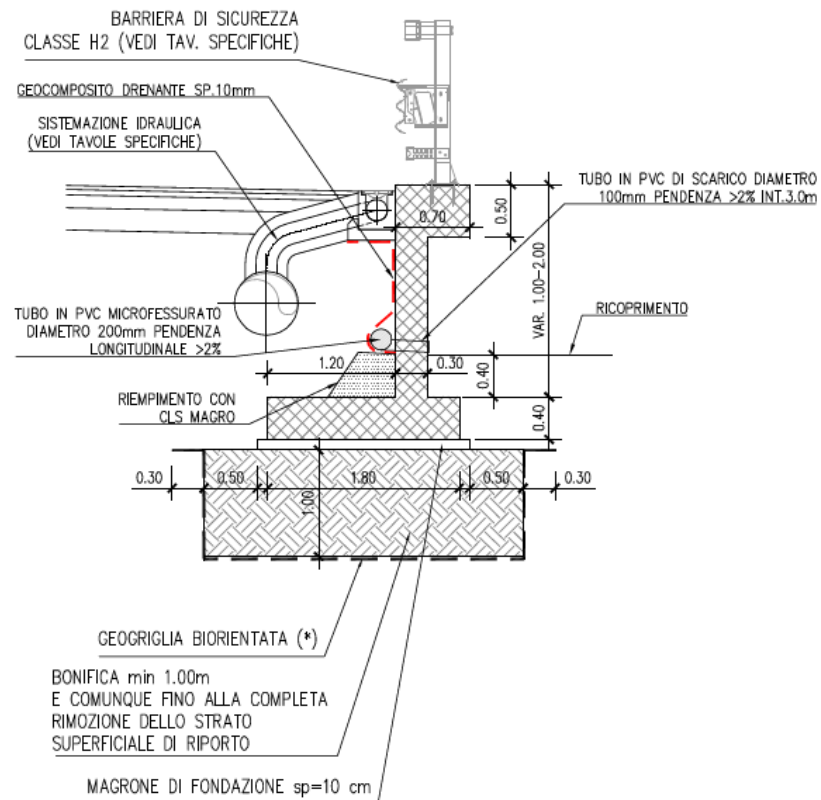


Figura 6.4 – Sezione tipo 4

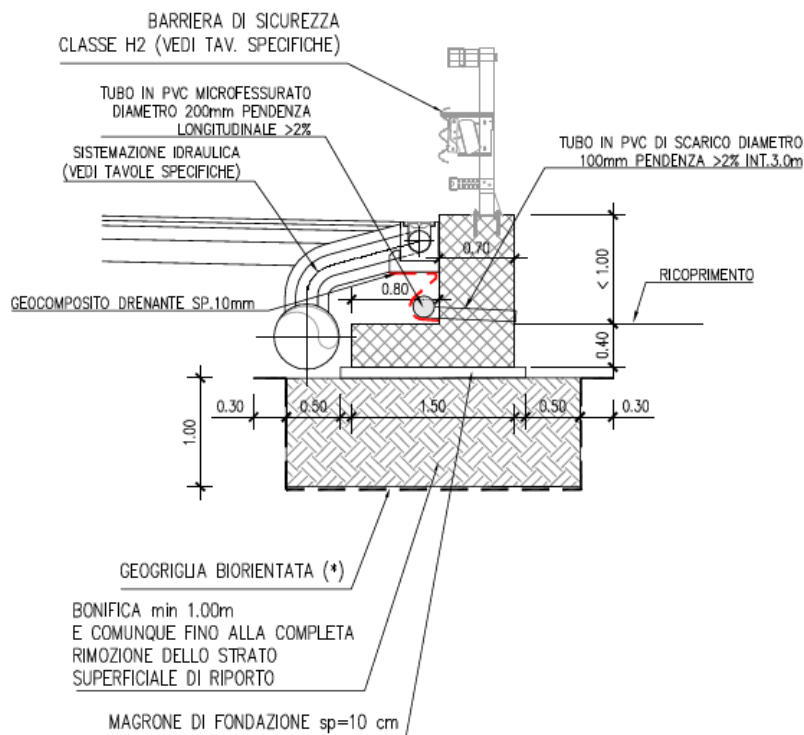


Figura 6.5 – Sezione tipo 5

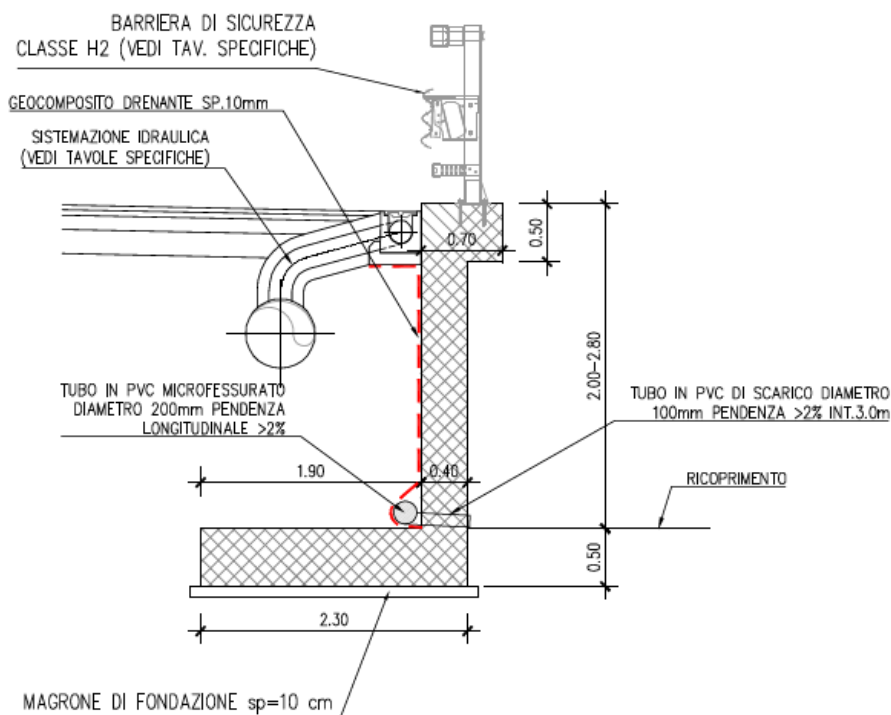


Figura 6.6 – Sezione tipo 6

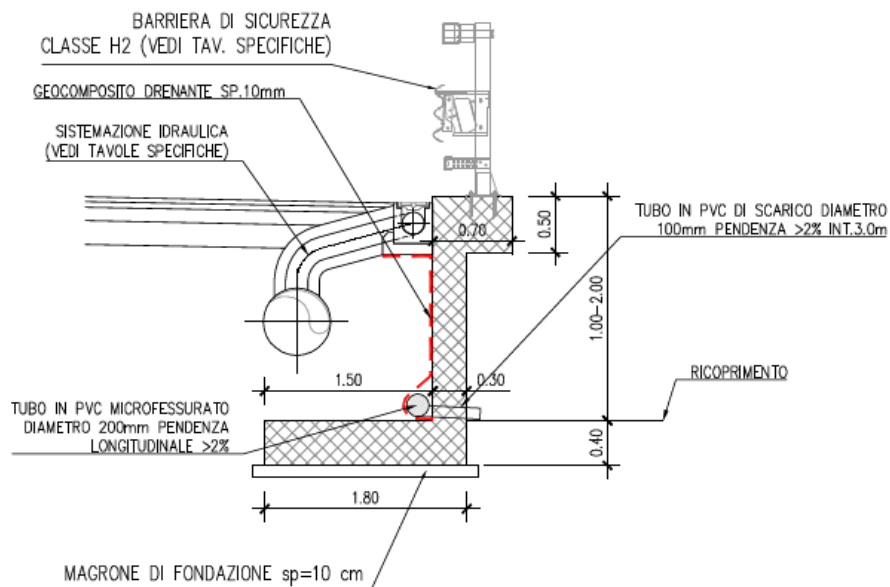


Figura 6.7 – Sezione tipo 7

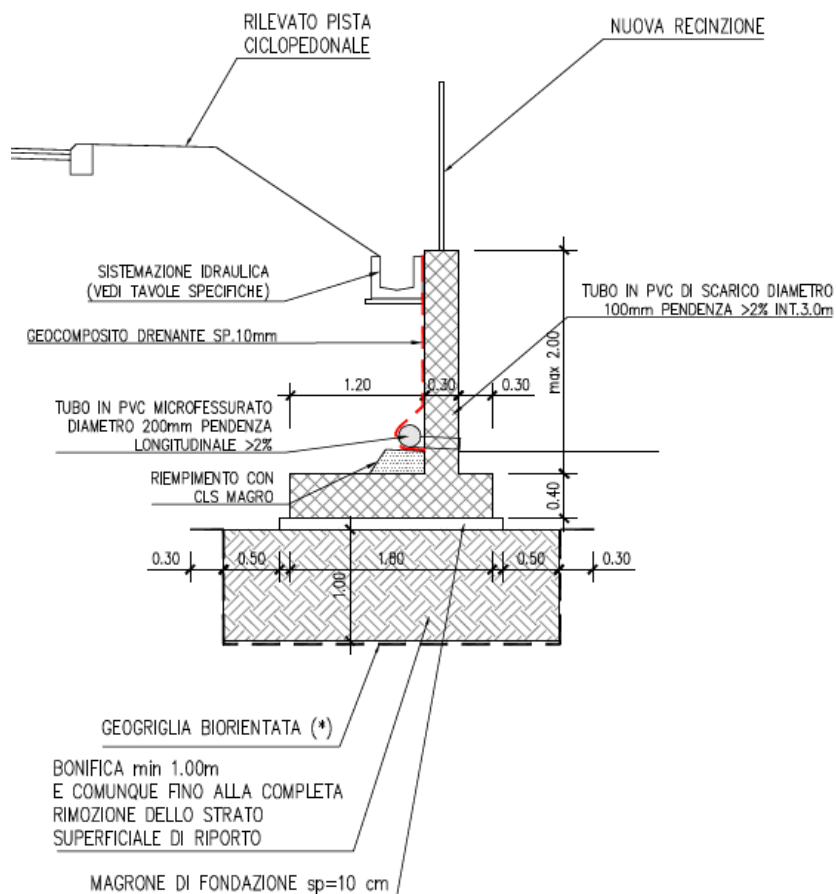


Figura 6.8 – Sezione tipo 8

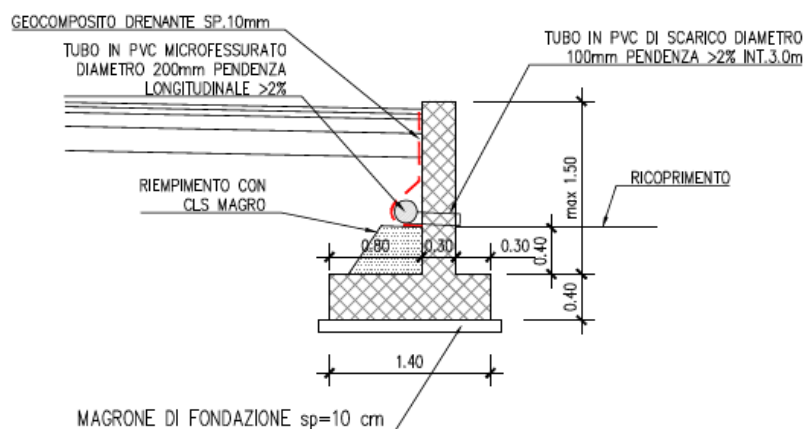


Figura 6.9 – Sezione tipo 9

6.2. Muri d sostegno

A seguire si elencano le caratteristiche salienti di ciascun muro presente a progetto. Per la nomenclatura si rimanda a quanto presente sulle tavole grafiche.

6.2.1. Muro 01

- Altezza elevazione variabile tra 3.20m e 4.00m circa;
- Assenza di barriera di sicurezza in sommità muro;
- Presenza di tubatura SNAM che in alcuni tratti interferisce con gli scavi necessari alla realizzazione dell'opera di sostegno. Necessarie opere provvisorie.
- Diffusione carico da urto per verifiche globali (lunghezza minima concio) = 10.00 m. Il carico da urto risultante è pari a (cautelativamente si utilizza l'altezza massima del muro):

$$F = 100 \text{ kN}/10.00\text{m} = 10 \text{ kN/m} - M = 100 \text{ kNm}/10\text{m} = 10 \text{ kNm/m}$$
- Verifiche strutturali del paramento sotto il carico da urto eseguite considerando una diffusione a 45° del carico stesso fino a estradosso fondazione. Tale verifica sarà eseguita separatamente rispetto a quanto implementato all'interno del software di calcolo.
- Spessore elevazione = 0.50 m;
- Spessore fondazione = 0.60 m.

6.2.2. Muro 02

- Altezza elevazione pari a 1.90m;
- Assenza di barriera di sicurezza in sommità muro;
- Muro di sottoscarpa con rilevato Hmax = 1.20m circa da sommità muro.
- Spessore elevazione = 0.30 m;
- Spessore fondazione = 0.40 m.

6.2.3. Muro 03

- Altezza elevazione variabile tra 1.55m e 3.65m circa;
- Presenza di barriera di sicurezza in sommità muro;
- Diffusione carico da urto per verifiche globali (lunghezza minima concio) = 10.00 m. Il carico da urto risultante è pari a (cautelativamente si utilizza l'altezza massima del muro):

$$F = 100 \text{ kN}/10.00\text{m} = 10 \text{ kN/m} - M = 100 \text{ kNm}/10\text{m} = 10 \text{ kNm/m}$$

- Verifiche strutturali del paramento sotto il carico da urto eseguite considerando una diffusione a 45° del carico stesso fino a estradosso fondazione. Tale verifica sarà eseguita separatamente rispetto a quanto implementato all'interno del software di calcolo.
- Spessore elevazione = 0.30-0.40-0.50 m;
- Spessore fondazione = 0.40-0.50-0.60 m.

6.2.4. Muro 04

- Altezza elevazione variabile tra 0.60m e 2.00m circa;
- Presenza di barriera di sicurezza in sommità muro;
- Opera interferente con tubatura SNAM lungo tutto il suo sviluppo. Si rende necessario lo spostamento della tubatura stessa prima dell'inizio dei lavori.
- Diffusione carico da urto per verifiche globali (lunghezza minima concio) = 10.00 m. Il carico da urto risultante è pari a (cautelativamente si utilizza l'altezza massima del muro):
 $F = 100 \text{ kN}/10.00\text{m} = 10 \text{ kN/m}$ – $M = 100 \text{ kNm}/10\text{m} = 10 \text{ kNm/m}$
- Verifiche strutturali del paramento sotto il carico da urto eseguite considerando una diffusione a 45° del carico stesso fino a estradosso fondazione. Tale verifica sarà eseguita separatamente rispetto a quanto implementato all'interno del software di calcolo.
- Spessore elevazione = 0.30 m;
- Spessore fondazione = 0.40 m.

6.2.5. Muro 05

- Altezza elevazione variabile tra 0.55m e 2.75m circa;
- Presenza di barriera di sicurezza in sommità muro;
- Diffusione carico da urto per verifiche globali (lunghezza minima concio) = 10.00 m. Il carico da urto risultante è pari a (cautelativamente si utilizza l'altezza massima del muro):
 $F = 100 \text{ kN}/10.00\text{m} = 10 \text{ kN/m}$ – $M = 100 \text{ kNm}/10\text{m} = 10 \text{ kNm/m}$;
- Verifiche strutturali del paramento sotto il carico da urto eseguite considerando una diffusione a 45° del carico stesso fino a estradosso fondazione. Tale verifica sarà eseguita separatamente rispetto a quanto implementato all'interno del software di calcolo.
- Spessore elevazione = 0.30-0.40-0.70 m;
- Spessore fondazione = 0.40-0.50 m;
- Dato che questo muro dovrà essere realizzato a tergo di un'opera di sostegno esistente, presenterà la sezione trasversale con configurazione ad "L" al fine di limitare l'ingombro del muro stesso.

6.2.6. Muro 06

- Altezza elevazione variabile tra 0.86m e 1.42m circa;
- Nessuna barriera di sicurezza in sommità muro;
- Presenza di recinzione metallica in sommità muro;
- Presenza di muretto di recinzione da demolire in prossimità alla nuova opera di sostegno;
- Spessore elevazione = 0.30 m;
- Spessore fondazione = 0.40 m.

6.3. Riepilogo

Si riporta di seguito una tabella riepilogativa con indicazione del muro e delle sezioni tipo associate:

OPERA	progr. km inizio	progr. km fine	L (m)	Sezioni tipo
MS01	0+091.47(R)	0+101.49(B)	45.18	1
MS02	0+083.06(B)	0+095.55(B)	12.52	8
MS03	0+070.50(R)	0+125,00	11.25+110.9	2, 3
MS04	0+322.21	0+467.07	145.01	3, 4
MS05	0+274.50	0+472.05	197.60	5, 6, 7
MS06	0+328.11(A)	0+022.67(E)	20.71	9

7. ANALISI DEI CARICHI MURI

7.1. Carichi permanenti

I carichi permanenti (pesi propri strutturali e spinta delle terre) sono calcolati in automatico dal software di calcolo. Nei capitoli a seguire saranno riportate nello specifico le ipotesi assunte, che per semplicità sono comunque di seguito riepilogate:

- Peso specifico cls = 25.00 kN/mc
- Peso specifico terreno spingente (rilevato) = 19.00 kN/mc
- Angolo d'attrito terreno spingente (rilevato) = 35°
- Angolo di attrito terra-muro terreno spingente = $2/3 \phi = 23.33^\circ$
- Peso barriera di sicurezza = 1.00 kN/m
- Peso cordolo per barriera: vedasi schema a seguire (cautelativamente sarà considerato il peso maggiore del cordolo per tutte le tipologie di opere su cui è prevista la barriera di sicurezza).

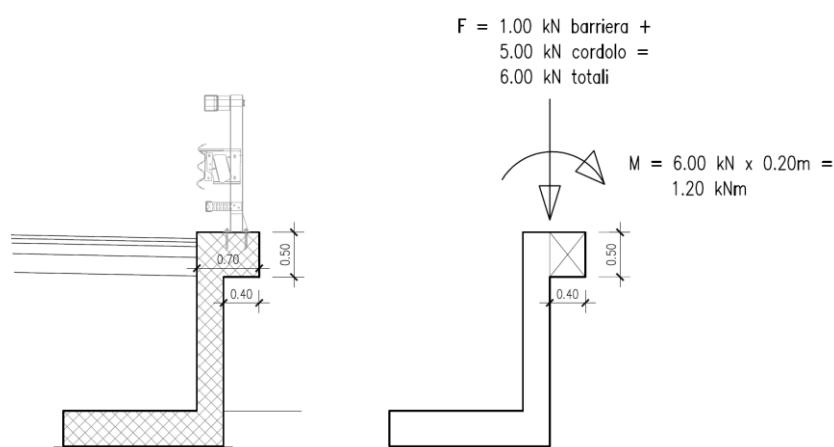


Figura 7.1 – Computo carichi dovuti a barriera e cordolo

7.2. Carico da traffico

Al fine di simulare la presenza del traffico veicolare a tergo delle opere di sostegno, si considera un sovraccarico variabile pari a **20.00 kN/mq** come da prassi consolidata. Il valore “Quasi Permanente” di tale carico sarà computato utilizzando il coeff. $\psi_2 = 0.20$ come da indicazioni presenti al paragrafo 5.1.3.12 delle NTC2018 e relativo ai ponti stradali (vedasi stralcio a seguire).

5.1.3.12 AZIONI SISMICHE: E

Per le azioni sismiche si devono rispettare le prescrizioni di cui ai §§ 2.5.3 e 3.2.

Nelle espressioni [2.5.5] e [2.5.7] si assume, di regola, per i carichi dovuti al transito dei mezzi $\psi_{2j} = 0,0$.

Ove necessario, per esempio per ponti in zona urbana di intenso traffico, si assume per i carichi dovuti al transito dei mezzi $\psi_{2j} = 0,2$, quando rilevante, sia nella combinazione delle azioni, sia per la definizione dell'effetto dell'azione sismica.

Relativamente al carico afferente alla pista ciclabile si assume invece **5.00 kN/mq**.

I carichi da traffico sopra descritti, all'interno dei modelli di calcolo riportati nei capitoli a seguire, saranno disposti secondo due distinte configurazioni al fine di massimizzare le sollecitazioni sia sul paramento che in fondazione. La prima configurazione (“Variabile_1” nei modelli di calcolo) prevede il carico mobile a filo del paramento, mentre la seconda configurazione (“Variabile_2” nei modelli di calcolo) prevede il carico mobile a filo della mensola di monte della fondazione.

7.3. Urto

Per i muri su cui è prevista l'installazione della barriera di sicurezza si prevede il carico da urto come indicato al paragrafo 3.6.3.3.2 delle NTC2018. Vedasi lo stralcio normativo riportato a seguire.

3.6.3.3.2 Traffico veicolare sopra i ponti

In assenza di specifiche prescrizioni, nel progetto strutturale dei ponti si può tener conto delle forze causate da collisioni accidentali sugli elementi di sicurezza attraverso una forza orizzontale equivalente di collisione pari a 100 kN. Essa rappresenta l'effetto dell'impatto da trasmettere ai vincoli e deve essere considerata agente trasversalmente ed orizzontalmente 100 mm sotto la sommità dell'elemento o 1,0 m sopra il livello del piano di marcia, a seconda di quale valore sia più piccolo.

Le azioni da considerare nelle verifiche locali dell'impalcato dovranno essere definite in accordo al § 5.1.3.10.

Le forze di collisione da veicoli sugli elementi strutturali eventualmente presenti al disopra del livello di carreggiata sono quelle specificate nel § 3.6.3.3.1

Si considera quindi un carico da urto pari a 100 kN posto a 1.00m di altezza dal piano stradale. La ripartizione di tale carico sulle opere di sostegno sarà eseguita secondo i seguenti criteri:

- Per le verifiche strutturali del paramento si considera una diffusione a 45° a partire dalla sommità del muro. Il carico da urto sarà perciò ripartito su una porzione di opera lunga 2 volte l'altezza a cui va sommata la distanza compresa tra numero 3 montanti della barriera di sicurezza assunta pari a 2.00m. Si ipotizza infatti che il carico da urto si ripartisca su 3 montanti della barriera stessa.
- Per le verifiche “globali” (ribaltamento, scorrimento, capacità portante) si considera una lunghezza di diffusione pari alla lunghezza del singolo concio di muro (il muro può scorrere e/o ribaltarsi nella sua interezza). Eventualmente potrà essere adottata la medesima diffusione del punto precedente (maggiormente restrittiva) se non dimensionante. La dimensione **minima** del singolo concio di opera assunta nel dimensionamento è pari a 10.00m

NOTA:

- In carico da urto è un carico “eccezionale” quindi ai fini del calcolo delle verifiche “globali” si considera un coefficiente di sicurezza unitario. Anche il coefficiente parziale di sicurezza sui materiali, ai fini delle verifiche strutturali, sarà considerato unitario come da normativa vigente (maggiori dettagli saranno riportati nei capitoli a seguire).

7.4. Azioni sismiche

Le azioni sismiche sono computate in automatico dal software di calcolo avendo inserito i parametri sismici riportati nel capitolo specifico. Nel form a seguire si riassumono le ipotesi assunte:

Figura 7.2 – Riepilogo input sismico (fondazioni superficiali)

Si osservi che, come da normativa vigente (vedasi stralcio riportato a seguire):

- $\beta_m = 0.38$ per SLV;
- $\beta_m = 0.47$ per SLD;
- Per i muri liberi di traslare o di ruotare attorno al piede (come per i muri su fondazione superficiale), si può assumere che l’incremento di spinta dovuto al sisma, agisca nello stesso punto di quella statica;
- Nella verifica a ribaltamento allo SLV il coeff. β_m sarà incrementato del 50% rispetto ai valori sopra esposti (β_m , ribaltamento, SLV = $0.38 \times 1.50 = 0.57$);

7.11.6.2.1 Metodi di analisi

A meno di specifiche analisi dinamiche, l'analisi della sicurezza dei muri di sostegno in condizioni sismiche può essere eseguita mediante i metodi pseudo-statici e i metodi degli spostamenti.

Se la struttura può spostarsi, l'analisi pseudo-statica si esegue mediante i metodi dell'equilibrio limite. Il modello di calcolo deve comprendere l'opera di sostegno, il volume di terreno a tergo dell'opera, che si suppone in stato di equilibrio limite attivo, e gli eventuali sovraccarichi agenti sul volume suddetto.

Nell'analisi pseudo-statica, l'azione sismica è rappresentata da una forza statica equivalente pari al prodotto delle forze di gravità per un opportuno coefficiente sismico.

Nelle verifiche, i valori dei coefficienti sismici orizzontale k_h e verticale k_v possono essere valutati mediante le espressioni

$$k_h = \beta_m \cdot \frac{a_{\max}}{g} \quad [7.11.6]$$

$$k_v = \pm 0,5 \cdot k_h \quad [7.11.7]$$

dove

β_m = coefficiente di riduzione dell'accelerazione massima attesa al sito;

a_{\max} = accelerazione orizzontale massima attesa al sito;

g = accelerazione di gravità.

In assenza di analisi specifiche della risposta sismica locale, l'accelerazione massima può essere valutata con la relazione

$$a_{\max} = S \cdot a_g = (S_s \cdot S_T) \cdot a_g \quad [7.11.8]$$

dove

S = coefficiente che comprende l'effetto dell'amplificazione stratigrafica (S_s) e dell'amplificazione topografica (S_T), di cui al § 3.2.3.2;

a_g = accelerazione orizzontale massima attesa su sito di riferimento rigido.

Nella precedente espressione, il coefficiente di riduzione dell'accelerazione massima attesa al sito è pari a:

$\beta_m = 0.38$ nelle verifiche allo stato limite ultimo (SLV)

$\beta_m = 0.47$ nelle verifiche allo stato limite di esercizio (SLD).

Per muri non liberi di subire spostamenti relativi rispetto al terreno, il coefficiente β_m assume valore unitario. I valori del coefficiente β_m possono essere incrementati in ragione di particolari caratteristiche prestazionali del muro, prendendo a riferimento il diagramma di Figura 7.11.3 di cui al successivo § 7.11.6.3.2.

Nel caso di muri di sostegno liberi di traslare o di ruotare intorno al piede, si può assumere che l'incremento di spinta dovuta al sisma agisca nello stesso punto di quella statica. Negli altri casi, in assenza di specifici studi, si deve assumere che tale incremento sia applicato a metà altezza del muro.

Lo stato limite di ribaltamento deve essere trattato impiegando coefficienti parziali unitari sulle azioni e sui parametri geotecnici (§ 7.11.1) e utilizzando valori di β_m incrementati del 50% rispetto a quelli innanzi indicati e comunque non superiori all'unità.

Figura 7.3 – Stralcio normativo NTC2018

8. COMBINAZIONI DI CARICO

A seguire si riporta l'elenco delle combinazioni di carico previste dalla norme e quelle effettivamente implementate.

2.5.3. COMBINAZIONI DELLE AZIONI

Ai fini delle verifiche degli stati limite, si definiscono le seguenti combinazioni delle azioni.

- Combinazione fondamentale, generalmente impiegata per gli stati limite ultimi (SLU):

$$\gamma_{G1} \cdot G_1 + \gamma_{G2} \cdot G_2 + \gamma_P \cdot P + \gamma_{Q1} \cdot Q_{k1} + \gamma_{Q2} \cdot \psi_{02} \cdot Q_{k2} + \gamma_{Q3} \cdot \psi_{03} \cdot Q_{k3} + \dots$$
 [2.5.1]
- Combinazione caratteristica, cosiddetta rara, generalmente impiegata per gli stati limite di esercizio (SLE) irreversibili:

$$G_1 + G_2 + P + Q_{k1} + \psi_{02} \cdot Q_{k2} + \psi_{03} \cdot Q_{k3} + \dots$$
 [2.5.2]
- Combinazione frequente, generalmente impiegata per gli stati limite di esercizio (SLE) reversibili:

$$G_1 + G_2 + P + \psi_{11} \cdot Q_{k1} + \psi_{22} \cdot Q_{k2} + \psi_{23} \cdot Q_{k3} + \dots$$
 [2.5.3]
- Combinazione quasi permanente (SLE), generalmente impiegata per gli effetti a lungo termine:

$$G_1 + G_2 + P + \psi_{21} \cdot Q_{k1} + \psi_{22} \cdot Q_{k2} + \psi_{23} \cdot Q_{k3} + \dots$$
 [2.5.4]
- Combinazione sismica, impiegata per gli stati limite ultimi e di esercizio connessi all'azione sismica E:

$$E + G_1 + G_2 + P + \psi_{21} \cdot Q_{k1} + \psi_{22} \cdot Q_{k2} + \dots$$
 [2.5.5]
- Combinazione eccezionale, impiegata per gli stati limite ultimi connessi alle azioni eccezionali A:

$$G_1 + G_2 + P + A_d + \psi_{21} \cdot Q_{k1} + \psi_{22} \cdot Q_{k2} + \dots$$
 [2.5.6]

Gli effetti dell'azione sismica saranno valutati tenendo conto delle masse associate ai seguenti carichi gravitazionali:

$$G_1 + G_2 + \sum_j \psi_{2j} Q_{kj} \quad [2.5.7]$$

Le combinazioni di carico effettivamente implementate sono riportate a seguire.

Simbologia adottata

γ Coefficiente di partecipazione della condizione
 ψ Coefficiente di combinazione della condizione

Combinazione n° 1 - STR (A1-M1-R3)

Condizione	γ	ψ	Effetto
Peso muro	1.00	--	Favorevole
Peso terrapieno	1.00	--	Favorevole
Spinta terreno	1.30	--	Sfavorevole
Barriera	1.50	--	Sfavorevole
Variabile_1	1.50	1.00	Sfavorevole

Combinazione n° 2 - STR (A1-M1-R3)

Condizione	γ	ψ	Effetto
Peso muro	1.00	--	Favorevole
Peso terrapieno	1.00	--	Favorevole
Spinta terreno	1.30	--	Sfavorevole
Barriera	1.50	--	Sfavorevole
Variabile_2	1.50	1.00	Sfavorevole

Combinazione n° 3 - STR (A1-M1-R3) H + V

Condizione	γ	ψ	Effetto
Peso muro	1.00	--	Favorevole
Peso terrapieno	1.00	--	Favorevole
Spinta terreno	1.00	--	Sfavorevole
Variabile_1	1.00	0.20	Sfavorevole
Barriera	1.00	--	Sfavorevole

Combinazione n° 4 - STR (A1-M1-R3) H + V

Condizione	γ	ψ	Effetto
Peso muro	1.00	--	Favorevole
Peso terrapieno	1.00	--	Favorevole
Spinta terreno	1.00	--	Sfavorevole
Barriera	1.00	--	Sfavorevole

Combinazione n° 5 - STR (A1-M1-R3) H - V

Condizione	γ	Ψ	Effetto
Peso muro	1.00	--	Sfavorevole
Peso terrapieno	1.00	--	Sfavorevole
Spinta terreno	1.00	--	Sfavorevole
Variabile_1	1.00	0.20	Sfavorevole
Barriera	1.00	--	Sfavorevole

Combinazione n° 6 - STR (A1-M1-R3) H - V

Condizione	γ	Ψ	Effetto
Peso muro	1.00	--	Sfavorevole
Peso terrapieno	1.00	--	Sfavorevole
Spinta terreno	1.00	--	Sfavorevole
Barriera	1.00	--	Sfavorevole

Combinazione n° 7 - STR (A1-M1-R3)

Condizione	γ	Ψ	Effetto
Peso muro	1.30	--	Sfavorevole
Peso terrapieno	1.30	--	Sfavorevole
Spinta terreno	1.30	--	Sfavorevole
Barriera	1.50	--	Sfavorevole
Variabile_1	1.50	1.00	Sfavorevole

Combinazione n° 8 - STR (A1-M1-R3)

Condizione	γ	Ψ	Effetto
Peso muro	1.00	--	Favorevole
Peso terrapieno	1.30	--	Sfavorevole
Spinta terreno	1.30	--	Sfavorevole
Barriera	1.50	--	Sfavorevole
Variabile_1	1.50	1.00	Sfavorevole

Combinazione n° 9 - STR (A1-M1-R3)

Condizione	γ	Ψ	Effetto
Peso muro	1.30	--	Sfavorevole
Peso terrapieno	1.00	--	Favorevole
Spinta terreno	1.30	--	Sfavorevole
Barriera	1.50	--	Sfavorevole
Variabile_1	1.50	1.00	Sfavorevole

Combinazione n° 10 - STR (A1-M1-R3)

Condizione	γ	Ψ	Effetto
Peso muro	1.30	--	Sfavorevole
Peso terrapieno	1.30	--	Sfavorevole
Spinta terreno	1.30	--	Sfavorevole
Barriera	1.50	--	Sfavorevole
Variabile_2	1.50	1.00	Sfavorevole

Combinazione n° 11 - STR (A1-M1-R3)

Condizione	γ	Ψ	Effetto
Peso muro	1.00	--	Favorevole
Peso terrapieno	1.30	--	Sfavorevole
Spinta terreno	1.30	--	Sfavorevole
Barriera	1.50	--	Sfavorevole
Variabile_2	1.50	1.00	Sfavorevole

Combinazione n° 12 - STR (A1-M1-R3)

Condizione	γ	Ψ	Effetto
Peso muro	1.30	--	Sfavorevole
Peso terrapieno	1.00	--	Favorevole
Spinta terreno	1.30	--	Sfavorevole
Barriera	1.50	--	Sfavorevole
Variabile_2	1.50	1.00	Sfavorevole

Combinazione n° 13 - GEO (A2-M2-R2)

Condizione	γ	Ψ	Effetto
Peso muro	1.00	--	Sfavorevole
Peso terrapieno	1.00	--	Sfavorevole
Spinta terreno	1.00	--	Sfavorevole
Barriera	1.30	--	Sfavorevole
Variabile_1	1.30	1.00	Sfavorevole

Combinazione n° 14 - GEO (A2-M2-R2)

Condizione	γ	Ψ	Effetto
Peso muro	1.00	--	Sfavorevole

Condizione	γ	Ψ	Effetto
Peso terrapieno	1.00	--	Sfavorevole
Spinta terreno	1.00	--	Sfavorevole
Barriera	1.30	--	Sfavorevole
Variabile_2	1.30	1.00	Sfavorevole

Combinazione n° 15 - GEO (A2-M2-R2) H + V

Condizione	γ	Ψ	Effetto
Peso muro	1.00	--	Sfavorevole
Peso terrapieno	1.00	--	Sfavorevole
Spinta terreno	1.00	--	Sfavorevole
Variabile_1	1.00	0.20	Sfavorevole
Barriera	1.00	--	Sfavorevole

Combinazione n° 16 - GEO (A2-M2-R2) H + V

Condizione	γ	Ψ	Effetto
Peso muro	1.00	--	Sfavorevole
Peso terrapieno	1.00	--	Sfavorevole
Spinta terreno	1.00	--	Sfavorevole
Barriera	1.00	--	Sfavorevole

Combinazione n° 17 - GEO (A2-M2-R2) H - V

Condizione	γ	Ψ	Effetto
Peso muro	1.00	--	Sfavorevole
Peso terrapieno	1.00	--	Sfavorevole
Spinta terreno	1.00	--	Sfavorevole
Variabile_1	1.00	0.20	Sfavorevole
Barriera	1.00	--	Sfavorevole

Combinazione n° 18 - GEO (A2-M2-R2) H - V

Condizione	γ	Ψ	Effetto
Peso muro	1.00	--	Sfavorevole
Peso terrapieno	1.00	--	Sfavorevole
Spinta terreno	1.00	--	Sfavorevole
Barriera	1.00	--	Sfavorevole

Combinazione n° 19 - EQU (A1-M1-R3)

Condizione	γ	Ψ	Effetto
Peso muro	1.00	--	Favorevole
Peso terrapieno	1.00	--	Favorevole
Spinta terreno	1.30	--	Sfavorevole
Barriera	1.50	--	Sfavorevole
Variabile_1	1.50	1.00	Sfavorevole

Combinazione n° 20 - EQU (A1-M1-R3)

Condizione	γ	Ψ	Effetto
Peso muro	1.00	--	Favorevole
Peso terrapieno	1.00	--	Favorevole
Spinta terreno	1.30	--	Sfavorevole
Barriera	1.50	--	Sfavorevole
Variabile_2	1.50	1.00	Sfavorevole

Combinazione n° 21 - EQU (A1-M1-R3) H + V

Condizione	γ	Ψ	Effetto
Peso muro	1.00	--	Favorevole
Peso terrapieno	1.00	--	Favorevole
Spinta terreno	1.00	--	Sfavorevole
Variabile_1	1.00	0.20	Sfavorevole
Barriera	1.00	--	Sfavorevole

Combinazione n° 22 - EQU (A1-M1-R3) H + V

Condizione	γ	Ψ	Effetto
Peso muro	1.00	--	Favorevole
Peso terrapieno	1.00	--	Favorevole
Spinta terreno	1.00	--	Sfavorevole
Barriera	1.00	--	Sfavorevole

Combinazione n° 23 - EQU (A1-M1-R3) H - V

Condizione	γ	Ψ	Effetto
Peso muro	1.00	--	Favorevole
Peso terrapieno	1.00	--	Favorevole
Spinta terreno	1.00	--	Sfavorevole
Variabile_1	1.00	0.20	Sfavorevole
Barriera	1.00	--	Sfavorevole

Combinazione n° 24 - EQU (A1-M1-R3) H - V

Condizione	γ	Ψ	Effetto
Peso muro	1.00	--	Favorevole
Peso terrapieno	1.00	--	Favorevole
Spinta terreno	1.00	--	Sfavorevole
Barriera	1.00	--	Sfavorevole

Combinazione n° 25 - ECC

Condizione	γ	Ψ	Effetto
Peso muro	1.00	--	Sfavorevole
Peso terrapieno	1.00	--	Sfavorevole
Spinta terreno	1.00	--	Sfavorevole
Variabile_1	1.00	0.20	Sfavorevole
Urto	1.00	1.00	Sfavorevole
Barriera	1.00	--	Sfavorevole

Combinazione n° 26 - SLER

Condizione	γ	Ψ	Effetto
Peso muro	1.00	--	Sfavorevole
Peso terrapieno	1.00	--	Sfavorevole
Spinta terreno	1.00	--	Sfavorevole
Barriera	1.00	--	Sfavorevole
Variabile_1	1.00	1.00	Sfavorevole

Combinazione n° 27 - SLEF

Condizione	γ	Ψ	Effetto
Peso muro	1.00	--	Sfavorevole
Peso terrapieno	1.00	--	Sfavorevole
Spinta terreno	1.00	--	Sfavorevole
Barriera	1.00	--	Sfavorevole
Variabile_1	1.00	0.75	Sfavorevole

Combinazione n° 28 - SLEQ

Condizione	γ	Ψ	Effetto
Peso muro	1.00	--	Sfavorevole
Peso terrapieno	1.00	--	Sfavorevole
Spinta terreno	1.00	--	Sfavorevole
Barriera	1.00	--	Sfavorevole
Variabile_1	1.00	0.20	Sfavorevole

Combinazione n° 29 - SLER

Condizione	γ	Ψ	Effetto
Peso muro	1.00	--	Sfavorevole
Peso terrapieno	1.00	--	Sfavorevole
Spinta terreno	1.00	--	Sfavorevole
Barriera	1.00	--	Sfavorevole
Variabile_2	1.00	1.00	Sfavorevole

Combinazione n° 30 - SLEF

Condizione	γ	Ψ	Effetto
Peso muro	1.00	--	Sfavorevole
Peso terrapieno	1.00	--	Sfavorevole
Spinta terreno	1.00	--	Sfavorevole
Barriera	1.00	--	Sfavorevole
Variabile_2	1.00	0.75	Sfavorevole

Combinazione n° 31 - SLEQ

Condizione	γ	Ψ	Effetto
Peso muro	1.00	--	Sfavorevole
Peso terrapieno	1.00	--	Sfavorevole
Spinta terreno	1.00	--	Sfavorevole
Barriera	1.00	--	Sfavorevole

Combinazione n° 32 - SLEQ H + V

Condizione	γ	Ψ	Effetto
Peso muro	1.00	--	Sfavorevole
Peso terrapieno	1.00	--	Sfavorevole
Spinta terreno	1.00	--	Sfavorevole
Variabile_1	1.00	0.20	Sfavorevole
Barriera	1.00	--	Sfavorevole

Combinazione n° 33 - SLEQ H - V

Condizione	γ	Ψ	Effetto
Peso muro	1.00	--	Sfavorevole

Condizione	γ	Ψ	Effetto
Peso terrapieno	1.00	--	Sfavorevole
Spinta terreno	1.00	--	Sfavorevole
Variabile_1	1.00	0.20	Sfavorevole
Barriera	1.00	--	Sfavorevole

Combinazione n° 34 - SLEQ H + V

Condizione	γ	Ψ	Effetto
Peso muro	1.00	--	Sfavorevole
Peso terrapieno	1.00	--	Sfavorevole
Spinta terreno	1.00	--	Sfavorevole
Barriera	1.00	--	Sfavorevole

Combinazione n° 35 - SLEQ H - V

Condizione	γ	Ψ	Effetto
Peso muro	1.00	--	Sfavorevole
Peso terrapieno	1.00	--	Sfavorevole
Spinta terreno	1.00	--	Sfavorevole
Barriera	1.00	--	Sfavorevole

Combinazione n° 36 - HYD

Condizione	γ	Ψ	Effetto
Peso muro	1.00	--	Favorevole
Peso terrapieno	1.00	--	Favorevole
Spinta terreno	1.00	--	Sfavorevole
Barriera	1.00	--	Sfavorevole
Variabile_1	1.00	1.00	Sfavorevole

Combinazione n° 37 - UPL

Condizione	γ	Ψ	Effetto
Peso muro	0.90	--	Favorevole
Peso terrapieno	0.90	--	Favorevole
Spinta terreno	1.10	--	Sfavorevole
Barriera	1.50	--	Sfavorevole
Variabile_1	1.50	1.00	Sfavorevole

Combinazione n° 38 - HYD

Condizione	γ	Ψ	Effetto
Peso muro	1.00	--	Favorevole
Peso terrapieno	1.00	--	Favorevole
Spinta terreno	1.00	--	Sfavorevole
Barriera	1.00	--	Sfavorevole
Variabile_2	1.00	1.00	Sfavorevole

Combinazione n° 39 - UPL

Condizione	γ	Ψ	Effetto
Peso muro	0.90	--	Favorevole
Peso terrapieno	0.90	--	Favorevole
Spinta terreno	1.10	--	Sfavorevole
Barriera	1.50	--	Sfavorevole
Variabile_2	1.50	1.00	Sfavorevole

9. CRITERI DI VERIFICA

Il progetto e la verifica della struttura in questione è eseguita mediante il metodo degli "Stati Limite", verificando:

SLU di tipo geotecnico (GEO) e di equilibrio di corpo rigido (EQU):

- scorrimento sul piano di posa
- verifica al ribaltamento
- collasso per carico limite dell'insieme fondazione-terreno
- stabilità globale del complesso opera di sostegno-terreno

SLE di tipo geotecnico (GEO):

- Cedimenti dell'opera

SLU di tipo strutturale (STR):

- raggiungimento della resistenza negli elementi strutturali

SLE di tipo strutturale (STR):

- raggiungimento dello stato limite nei confronti della corrosione e/o dell'eccessivo degrado.

9.1. Ipotesi di calcolo

Come prescritto dalla norma (par 6.5.3.1.1 NTC2018) i muri di sostegno devono essere verificati secondo i seguenti criteri:

Verifica di stabilità globale → A2+M2+R2;

Capacità portante, ribaltamento, scorrimento → A1+M1+R3;

Stralcio normativo NTC2018:

La verifica di stabilità globale del complesso opera di sostegno-terreno deve essere effettuata, analogamente a quanto previsto al § 6.8, secondo l'Approccio 1, con la Combinazione 2 (A2+M2+R2), tenendo conto dei coefficienti parziali riportati nelle Tabelle 6.2.I e 6.2.II per le azioni e i parametri geotecnici e nella Tab. 6.8.I per le verifiche di sicurezza di opere di materiali sciolti e fronti di scavo.

Le rimanenti verifiche devono essere effettuate secondo l'Approccio 2, con la combinazione (A1+M1+R3), tenendo conto dei valori dei coefficienti parziali riportati nelle Tabelle 6.2.I, 6.2.II e 6.5.I.

I coeff. parziali utilizzati all'interno del software di calcolo sono di seguito riassunti:

Coefficienti parziali e di combinazione

NORMATIVA

☐ D.M. 1988 + D.M. 1996 Tens. Amm
☐ N.T.C. 2008 - Approccio 1
☒ N.T.C. 2018

☐ D.M. 1988 + D.M. 1996 Stato Limite
☐ N.T.C. 2008 - Approccio 2

Coeff. sulle azioni

Coeff. sulle resistenze

Fondazione

Pali

Tiranti

Altro

Verifiche idrauliche

Coefficienti parziali per le azioni o per l'effetto delle azioni.

Carichi	Effetto				Combinazioni statiche			Combinazioni sismiche		
			HYD	UPL	EQU	A1	A2	EQU	A1	A2
P. strutturali	Favorevole	γ_{Gfav}	1,00	0,90	1,00	1,00	1,00	1,00	1,00	1,00
P. strutturali	Sfavorevole	γ_{Gsfav}	1,00	1,10	1,30	1,30	1,00	1,00	1,00	1,00
P. non strutturali	Favorevole	γ_{G2fav}	0,00	0,80	0,80	0,80	0,80	0,00	0,00	0,00
P. non strutturali	Sfavorevole	γ_{G2sfav}	1,00	1,50	1,50	1,50	1,30	1,00	1,00	1,00
Variabili	Favorevole	γ_{Qfav}	0,00	0,00	0,00	0,00	0,00	0,00	0,00	0,00
Variabili	Sfavorevole	γ_{Qsfav}	1,00	1,50	1,50	1,50	1,30	1,00	1,00	1,00
Variabili da traffico	Favorevole	γ_{Qfav}	0,00	0,00	0,00	0,00	0,00	0,00	0,00	0,00
Variabili da traffico	Sfavorevole	γ_{Qsfav}	1,00	1,50	1,35	1,35	1,15	1,00	1,00	1,00

Parametro		Combinazioni statiche		Combinazioni sismiche	
		M1	M2	M1	M2
Tangente dell'angolo di attrito	$\gamma_{\tan(\phi')}$	1,00	1,25	1,00	1,00
Coesione efficace	$\gamma_{c'}$	1,00	1,25	1,00	1,00
Resistenza non drenata	γ_{cu}	1,00	1,40	1,00	1,00
Peso dell'unità di volume	γ_γ	1,00	1,00	1,00	1,00

Figura 9.1 – Coefficienti parziali per carichi e parametri del terreno

- Le verifiche a capacità portante, scorrimento, ribaltamento e stabilità globale saranno soddisfatte se il coefficiente di sicurezza minimo riportato nelle calcozioni a seguire **risulterà superiore ai coeff. R3** riportati nella tabella sotto esposta.

Verifica	Coefficienti parziali			
	R1	R2	R3	R3 - C sismiche
Capacità portante della fondazione	1,00	1,00	1,40	1,20
Scorrimento	1,00	1,00	1,10	1,00
Resistenza del terreno a valle	1,00	1,00	1,40	1,20
Ribaltamento			1,15	1,00
Stabilità globale	1,10			
Stabilità globale sismico	1,20			

Figura 9.2 – Coefficienti di sicurezza per le verifiche

9.2. Richiami teorici

Il calcolo dei muri di sostegno viene eseguito secondo le seguenti fasi:

- Calcolo della spinta del terreno;
- Verifica a ribaltamento;
- Verifica a scorrimento del muro sul piano di posa;
- Verifica della stabilità complesso fondazione terreno (carico limite);
- Verifica della stabilità globale;
- Calcolo delle sollecitazioni sia del muro che della fondazione, progetto delle armature e relative verifiche dei materiali.

9.2.1. Calcolo della spinta sul muro: metodo di Culmann

Il metodo di Culmann adotta le stesse ipotesi di base del metodo di Coulomb. La differenza sostanziale è che mentre Coulomb considera un terrapieno con superficie a pendenza costante e carico uniformemente distribuito (il che permette di ottenere una espressione in forma chiusa per il coefficiente di spinta) il metodo di Culmann consente di analizzare situazioni con profilo di forma generica e carichi sia concentrati che distribuiti comunque disposti. Inoltre, rispetto al metodo di Coulomb, risulta più immediato e lineare tener conto della coesione del masso spingente. Il metodo di Culmann, nato come metodo essenzialmente grafico, si è evoluto per essere trattato mediante analisi numerica (noto in questa forma come metodo del cuneo di tentativo). Come il metodo di Coulomb anche questo metodo considera una superficie di rottura rettilinea.

I passi del procedimento risolutivo sono i seguenti:

- si impone una superficie di rottura (angolo di inclinazione ρ rispetto all'orizzontale) e si considera il cuneo di spinta delimitato dalla superficie di rottura stessa, dalla parete su cui si calcola la spinta e dal profilo del terreno;
- si valutano tutte le forze agenti sul cuneo di spinta e cioè peso proprio (W), carichi sul terrapieno, resistenza per attrito e per coesione lungo la superficie di rottura (R e C) e resistenza per coesione lungo la parete (A);
- dalle equazioni di equilibrio si ricava il valore della spinta S sulla parete.

Questo processo viene iterato fino a trovare l'angolo di rottura per cui la spinta risulta massima. La convergenza non si raggiunge se il terrapieno risulta inclinato di un angolo maggiore dell'angolo d'attrito del terreno.

Nei casi in cui è applicabile il metodo di Coulomb (profilo a monte rettilineo e carico uniformemente distribuito) i risultati ottenuti col metodo di Culmann coincidono con quelli del metodo di Coulomb.

Le pressioni sulla parete di spinta si ricavano derivando l'espressione della spinta S rispetto all'ordinata z . Noto il diagramma delle pressioni è possibile ricavare il punto di applicazione della spinta.

9.2.2. Spinta in presenza di sisma

Per tener conto dell'incremento di spinta dovuta al sisma si fa riferimento al metodo di Mononobe-Okabe (cui fa riferimento la Normativa Italiana).

La Normativa Italiana suggerisce di tener conto di un incremento di spinta dovuto al sisma nel modo seguente.

Detta ε l'inclinazione del terrapieno rispetto all'orizzontale e β l'inclinazione della parete rispetto alla verticale, si calcola la spinta S' considerando un'inclinazione del terrapieno e della parete pari a:

$$\varepsilon' = \varepsilon + \theta \quad \beta' = \beta + \theta$$

dove $\theta = \arctg(k_h/(1 \pm k_v))$ essendo k_h il coefficiente sismico orizzontale e k_v il coefficiente sismico verticale, definito in funzione di k_h .

In presenza di falda a monte, θ assume le seguenti espressioni:

Terreno a bassa permeabilità:

$$\theta = \arctan\left(\frac{\gamma_{\text{sat}}}{\gamma_{\text{sat}} - \gamma_w} \frac{k_h}{1 \pm k_v}\right)$$

Terreno a permeabilità elevata:

$$\theta = \arctan\left(\frac{\gamma}{\gamma_{\text{sat}} - \gamma_w} \frac{k_h}{1 \pm k_v}\right)$$

Detta S la spinta calcolata in condizioni statiche l'incremento di spinta da applicare è espresso da

$$\Delta S = AS' - S$$

dove il coefficiente A vale:

$$A = \frac{\cos^2(\beta + \theta)}{\cos^2 \beta \cos \theta}$$

In presenza di falda a monte, nel coefficiente A si tiene conto dell'influenza dei pesi di volume nel calcolo di θ .

Adottando il metodo di Mononobe-Okabe per il calcolo della spinta, il coefficiente A viene posto pari a 1.

Tale incremento di spinta è applicato a metà altezza della parete di spinta nel caso di forma rettangolare del diagramma di incremento sismico, allo stesso punto di applicazione della spinta statica nel caso in cui la forma del diagramma di incremento sismico è uguale a quella del diagramma statico.

Oltre a questo incremento bisogna tener conto delle forze d'inerzia orizzontali e verticali che si destano per effetto del sisma. Tali forze vengono valutate come:

$$F_{iH} = k_h W \quad F_{iV} = \pm k_v W$$

dove W è il peso del muro, del terreno soprastante la mensola di monte ed i relativi sovraccarichi e va applicata nel baricentro dei pesi.

Il metodo di Culmann tiene conto automaticamente dell'incremento di spinta. Basta inserire nell'equazione risolutiva la forza d'inerzia del cuneo di spinta. La superficie di rottura nel caso di sisma risulta meno inclinata della corrispondente superficie in assenza di sisma.

9.3. Verifiche geotecniche (GEO) allo SLU

In conformità a quanto previsto dalle NTC, le verifiche agli Stati Limite Ultimo dei muri devono essere condotte con riferimento a tutti i meccanismi di rottura e instabilità che possono verificarsi e previsti da normativa tecnica.

9.3.1. Verifica a scorrimento

Al fine di soddisfare la verifica a scorrimento, la risultante delle azioni orizzontali agenti sul muro deve risultare non superiore alla forza resistente costituita dall'attrito sul piano di imposta. Questa a sua volta è valutata come prodotto della risultante delle azioni verticali (ortogonali al piano di imposta) per il coefficiente di attrito in fondazione $\mu = \tan(\phi')$.

In condizioni sismiche si considerano, oltre all'incremento di spinta del terreno, anche le forze di inerzia delle masse del muro, del terreno poggianti su di esso e degli elementi marginali.

Per la verifica a scorrimento, deve quindi essere soddisfatta la seguente espressione:

$$R_d = \frac{N \cdot \operatorname{tg}(\delta_s)}{\gamma_R} \geq E_d = H$$

dove:

N carico verticale totale a quota intradosso fondazione

H carico orizzontale totale a quota intradosso fondazione

δ_s angolo di attrito tra fondazione e terreno.

Le forze che intervengono nella H sono: la componente della spinta parallela al piano di fondazione e la componente delle forze d'inerzia parallela al piano di fondazione.

La forza resistente è data dalla resistenza d'attrito e dalla resistenza per adesione lungo la base della fondazione (nel nostro caso trascurata).

La Normativa consente di computare, nelle forze resistenti, una aliquota dell'eventuale spinta dovuta al terreno posto a valle del muro. In tal caso, però, il coefficiente di sicurezza deve essere aumentato opportunamente. L'aliquota di spinta passiva che si può considerare ai fini della verifica a scorrimento non può comunque superare il 50%. Nei nostri dimensionamenti tale contributo è trascurato.

Per quanto riguarda l'angolo d'attrito terra-fondazione, δ_s , diversi autori suggeriscono di assumere un valore di δ_f pari all'angolo d'attrito del terreno di fondazione.

9.3.2. Verifica al ribaltamento

La verifica a ribaltamento consiste nel determinare il momento risultante di tutte le forze che tendono a fare ribaltare il muro (momento ribaltante M_r) ed il momento risultante di tutte le forze che tendono a stabilizzare il muro (momento stabilizzante M_s) rispetto allo spigolo a valle della fondazione e verificare che il rapporto M_s/M_r sia maggiore di un determinato coefficiente di sicurezza η_r .

Deve quindi essere verificata la seguente disequaglianza: $M_s/M_r \geq \eta_r$

Il momento ribaltante M_r è dato dalla componente orizzontale della spinta S , dalle forze di inerzia del muro e del terreno gravante sulla fondazione di monte (caso di presenza di sisma) per i rispettivi bracci. Nel momento stabilizzante interviene il peso del muro (applicato nel baricentro) ed il peso del terreno gravante sulla fondazione di monte. Per quanto riguarda invece la componente verticale della spinta essa sarà stabilizzante se l'angolo d'attrito terra-muro δ è positivo, ribaltante se δ è negativo. δ è positivo quando è il terrapieno che scorre rispetto al muro, negativo quando è il muro che tende a scorrere rispetto al terrapieno (questo può essere il caso di una spalla da ponte gravata da carichi notevoli). Se sono presenti dei tiranti essi contribuiscono al momento stabilizzante.

Questa verifica ha significato solo per fondazione superficiale e non per fondazione su pali.

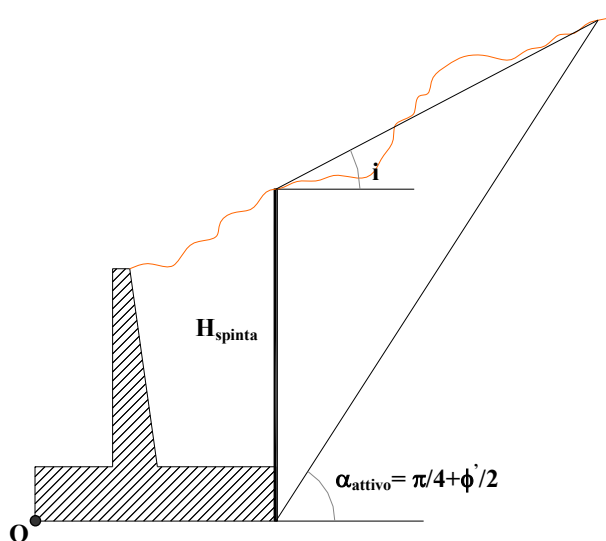


Figura 9-3. Posizione del punto O per la verifica al ribaltamento del muro

9.3.3. Verifica al carico limite

Il rapporto fra il carico limite in fondazione e la componente normale della risultante dei carichi trasmessi dal muro sul terreno di fondazione deve essere superiore a η_q . Cioè, detto Q_u , il carico limite ed R la risultante verticale dei carichi in fondazione, deve essere:

$$Q_u / R \geq \eta_q$$

La formula di **Vesic** è analoga alla formula di Hansen. Cambia solo il fattore N_γ e l'espressione di alcuni coefficienti.

Di seguito sono riportate per intero tutte le espressioni.

Caso generale $\phi > 0$

$$q_u = cN_c s_c d_c i_c g_c b_c + qN_q s_q d_q i_q g_q b_q + 0.5B\gamma N_\gamma s_\gamma d_\gamma i_\gamma g_\gamma b_\gamma$$

Caso di terreno puramente coesivo $\phi = 0$

$$q_u = 5.14c_u (1 + s_c + d_c - i_c - g_c - b_c) + q$$

I fattori che compaiono in queste espressioni sono espressi da:

- N fattori di capacità portante
- s fattori di forma
- d fattori di profondità
- i fattori di inclinazione del carico
- b fattori di inclinaz. del piano di fondaz. (base inclinata), con η inclinazione del piano di posa
- g fattori di inclinazione del terreno (fondazione su pendio), con β pendenza del pendio

Fattori di capacità portante		$N_c = (N_q - 1) \cot \varphi$	$N_q = e^{\pi \tan \varphi} K_p$	$N_y = 2(N_q + 1) \tan \varphi$
Fattori di forma	$\varphi = 0$	$s_c = 0.2 \frac{B}{L}$		
	$\varphi > 0$	$s_c = 1 + \frac{N_q B}{N_c L}$	$s_q = 1 + \frac{B}{L} \tan \varphi$	$s_y = 1 - 0.4 \frac{B}{L}$
Fattori di profondità	$\varphi = 0$	$d_c = 0.4k$		
	$\varphi > 0$	$d_c = 1 + 0.4k$	$d_q = 1 + 2 \tan \varphi (1 - \sin \varphi)^2 k$	$d_y = 1$
Fattori di inclinazione del carico	$\varphi = 0$	$i_c = 1 - \frac{mH}{A_f c_a N_c}$		
	$\varphi > 0$	$i_c = i_q - \frac{1 - i_q}{N_q - 1}$	$i_q = \left(1 - \frac{H}{V + A_f c_a \cot \varphi}\right)^m$	$i_y = \left(1 - \frac{H}{V + A_f c_a \cot \varphi}\right)^{m+1}$
Fattori di inclinazione del piano di fondazione (base inclinata)	$\varphi = 0$	$b_c = \frac{\eta^\circ}{147^\circ}$		
	$\varphi > 0$	$b_c = 1 - \frac{\eta^\circ}{147^\circ}$	$b_q = (1 - \eta \tan \varphi)^2$	$b_y = (1 - \eta \tan \varphi)^2$
Fattori di inclinazione del terreno (fondazione su pendio)	$\varphi = 0$	$g_c = \frac{\beta^\circ}{147^\circ}$		
	$\varphi > 0$	$g_c = 1 - \frac{\beta^\circ}{147^\circ}$	$g_q = (1 - \tan \beta)^2$	$g_y = (1 - \tan \beta)^2$

Figura 9.4 – Fattori correttivi per calcolo del carico limite della fondazione

Indichiamo con K_p il coefficiente di spinta passiva espresso da:

$$K_p = \tan^2 \left(45^\circ + \frac{\varphi}{2} \right)$$

Dove i coeff. k e m assumono le seguenti espressioni:

$k = \frac{D}{B}$ se $\frac{D}{B} \leq 1$	$k = \arctan \frac{D}{B}$ se $\frac{D}{B} > 1$	$m = \frac{2 + \frac{B}{L}}{1 + \frac{B}{L}}$
---	--	---

Per poter applicare la formula di Vesic devono risultare verificate le seguenti condizioni:

$H < V \tan \delta + A_f c_a$	$\beta \leq \varphi$	$i_q, i_y > 0$	$\beta + \eta \leq 90^\circ$
-------------------------------	----------------------	----------------	------------------------------

Riduzione per effetto piastra

Per valori elevati di B (dimensione minore della fondazione), Bowles propone di utilizzare un fattore correttivo r_γ del solo termine sul peso di volume ($0.5 B g N_\gamma$) quando B supera i 2 m.

$$r_\gamma = 1.0 - 0.25 \log (B/2.0)$$

Il termine sul peso di volume diventa: $0.5 \gamma N_\gamma r_\gamma$

9.3.4. Verifica alla stabilità globale

La verifica alla stabilità globale del complesso muro+terreno deve fornire un coefficiente di sicurezza non inferiore a h_g .

Viene usata la tecnica della suddivisione a strisce della superficie di scorrimento da analizzare. La superficie di scorrimento viene supposta circolare e determinata in modo tale da non avere intersezione con il profilo del muro.

Si adotta per la verifica di stabilità globale il metodo di Bishop.

Il coefficiente di sicurezza nel metodo di Bishop si esprime secondo la seguente formula:

$$\eta = \frac{\sum_{i=0}^n \left[\frac{c_i b_i + (W_i - u_i b_i) \tan \varphi_i}{m} \right]}{\sum_{i=0}^n W_i \sin \alpha_i}$$

dove il termine m è espresso da:

$$m = \left(1 + \frac{\tan \varphi_i \tan \alpha_i}{\eta} \right) \cos \alpha_i$$

In questa espressione n è il numero delle strisce considerate, b_i e α_i sono la larghezza e l'inclinazione della base della striscia i -esima rispetto all'orizzontale, W_i è il peso della striscia i -esima, c_i e φ_i sono le caratteristiche del terreno (coesione ed angolo di attrito) lungo la base della striscia ed u_i è la pressione neutra lungo la base della striscia.

L'espressione del coefficiente di sicurezza di Bishop contiene al secondo membro il termine m che è funzione di η . Quindi essa è risolta per successive approssimazioni assumendo un valore iniziale per η da inserire nell'espressione di m ed iterare fin quando il valore calcolato coincide con il valore assunto.

Come prescritto dalla normativa la verifica viene effettuata secondo la "Combinazione 2" (A2+M2+R2).

La metodologia di calcolo adottata dal programma consiste nell'analizzare molteplici superfici di scivolamento ben definite, fornendone il fattore di sicurezza. La resistenza al taglio agente lungo la superficie di scivolamento necessaria all'equilibrio è calcolata attraverso l'equazione della statica. Il coefficiente di sicurezza è inteso come il fattore per il quale possono essere divisi i parametri di resistenza meccanica del materiale per portare il pendio alle condizioni di equilibrio limite, implicitamente assunto costante lungo tutta la superficie di scivolamento. Nello specifico, nel metodo di Bishop si divide la massa di terreno interessata dal cinematismo in più conci assumendo che le azioni agenti all'interfaccia dei conci stessi abbiano risultante orizzontale, trascurando gli sforzi di taglio all'interfaccia tra i vari volumetti.

Le forze di inerzia, orizzontali e verticali, applicate alle masse in condizioni sismiche sono valutate mediante i coefficienti k_h e k_v di cui al paragrafo § 6.4.1. Il coefficiente β assume i valori indicati nella tabella 7.11.I della normativa vigente e qui di seguito riprodotta:

Intervallo dell'accelerazione sismica	β	
	Categoria di sottosuolo	
	A	B, C, D, E
$0.2 < a_g \leq 0.4$	0.30	0.28
$0.1 < a_g \leq 0.2$	0.27	0.24
$a_g \leq 0.1$	0.20	0.20

9.4. Verifiche geotecniche (GEO) allo SLE - Cedimenti della fondazione – Metodo elastico

Il metodo dell'elasticità per il calcolo dei cedimenti fornisce la seguente espressione:

$$w = \sum_{i=1}^n \frac{\Delta \sigma_i}{E_i} \Delta z_i$$

dove:

Δs è la tensione indotta nel terreno alla profondità z , dalla pressione di contatto della fondazione;
 E è il modulo elastico relativo allo strato i -esimo;
 Δz rappresenta lo spessore dello strato i -esimo in cui è stato suddiviso lo strato compressibile e per il quale si conosce il modulo elastico.

Lo spessore dello strato compressibile considerato nell'analisi dei cedimenti è stato determinato in funzione della percentuale della tensione di contatto.

9.5. Verifiche strutturali (STR) allo SLU

La verifica si esegue in condizioni statiche e sismiche ed in corrispondenza delle membrature maggiormente sollecitate: il fusto del muro in corrispondenza dell'incastro e la platea di fondazione in corrispondenza della sezione di incastro.

Le sollecitazioni di progetto vengono calcolate con il software MAX15, considerando i vari elementi come delle mensole incastrate all'estremità soggette ai carichi di competenza.

Per le verifiche strutturali in condizione di urto (carico "eccezionale") il coeff. parziale di sicurezza sui materiali sarà considerato pari a 1.00 (vedasi stralcio normativo a seguire).

4.1.4. VERIFICHE PER SITUAZIONI ECCEZIONALI

Le resistenze di progetto dei materiali riferite ad una specifica situazione di verifica si ottengono con i seguenti coefficienti parziali di sicurezza:

- calcestruzzo e aderenza con le armature $\gamma_c = 1,0$
- acciaio d'armatura $\gamma_s = 1,0$

- Armature minime fondazioni come da paragrafo 7.2.5 NTC2018 (platee di fondazione).

FONDAZIONI SUPERFICIALI

Le strutture delle fondazioni superficiali devono essere progettate per le azioni definite al precedente capoverso, assumendo un comportamento non dissipativo; non sono quindi necessarie armature specifiche per ottenere un comportamento duttile.

Le platee di fondazione in calcestruzzo armato devono avere armature longitudinali, secondo due direzioni ortogonali e per l'intera estensione, in percentuale non inferiore allo 0,1% dell'area della sezione trasversale della platea, sia inferiormente sia superiormente.

Le travi di fondazione in calcestruzzo armato devono avere, per l'intera lunghezza, armature longitudinali in percentuale non inferiore allo 0,2% dell'area della sezione trasversale della trave, sia inferiormente sia superiormente.

Fondazione **spessore 600mm** – $A_{s,min} = 0.1\% \times 1000 \text{ mm} \times 600\text{mm} = 600 \text{ mmq}$ corrispondenti a 5 ϕ 14/m (770 mmq/m) sia superiormente che inferiormente.

Fondazione **spessore 500mm** – $A_{s,min} = 0.1\% \times 1000 \text{ mm} \times 500\text{mm} = 500 \text{ mmq}$ corrispondenti a 5 ϕ 12/m (565 mmq/m) sia superiormente che inferiormente.

Fondazione **spessore 400mm** – $A_{s,min} = 0.1\% \times 1000 \text{ mm} \times 400\text{mm} = 400 \text{ mmq}$ corrispondenti a 5 ϕ 12/m (565 mmq/m) sia superiormente che inferiormente.

- Armatura minima elevazione (zona tesa) come da paragrafo 4.1.6.1.1 NTC2018 (Armatura delle travi)

4.1.6.1.1 Armatura delle travi

L'area dell'armatura longitudinale in zona tesa non deve essere inferiore a

$$A_{s,min} = 0,26 \frac{f_{ctm}}{f_{yk}} b_t \cdot d \quad \text{e comunque non minore di } 0,0013 \cdot b_t \cdot d \quad [4.1.45]$$

f_{ctm} (C32/40) = 3.02 N/mm²

f_{yk} = 450 N/mm²

b_t = 1000 mm

Elevazione **spessore 500** mm si ha ($d = 450$ mm) : $A_{s,min} = 785$ mm² corrispondenti a minimo 5 ϕ 16/m (1005 mm²/m)

Elevazione **spessore 400** mm si ha ($d = 350$ mm) : $A_{s,min} = 611$ mm² corrispondenti a minimo 5 ϕ 14/m (769 mm²/m)

Elevazione **spessore 300** mm si ha ($d = 250$ mm) : $A_{s,min} = 436$ mm² corrispondenti a minimo 5 ϕ 12/m (565 mm²/m)

9.6. Verifiche strutturali (STR) allo SLE

In corrispondenza delle medesime sezioni si eseguono le verifiche sulla massima ampiezza delle fessure (*verifica allo stato limite di fessurazione*) e sulle massime tensioni nel calcestruzzo e nelle armature (*verifica delle tensioni in esercizio*).

9.6.1. Verifica a fessurazione

L'ampiezza limite delle fessure è dettata dalla classe di esposizione dell'elemento, per cui si avrà:
Suola di fondazione → classe di esposizione XC2 → condizioni ambientali ordinarie

Armature poco sensibili

Ampiezza limite in condizione frequente $w_{lim} = w_3 = 0.4$ mm

Ampiezza limite in condizione quasi permanente $w_{lim} = w_2 = 0.3$ mm

Parete in elevazione → classe di esposizione XC4-XF1 → condizioni ambientali aggressive

Armature poco sensibili

Ampiezza limite in condizione frequente $w_{lim} = w_2 = 0.3$ mm

Ampiezza limite in condizione quasi permanente $w_{lim} = w_1 = 0.2$ mm

Stralcio normativo:

Tab. 4.1.IV - Criteri di scelta dello stato limite di fessurazione

Gruppi di Esigenze	Condizioni ambientali	Combinazione di azioni	Armatura			
			Sensibile		Poco sensibile	
			Stato limite	w_k	Stato limite	w_k
A	Ordinarie	frequente	apertura fessure	$\leq w_2$	apertura fessure	$\leq w_3$
		quasi permanente	apertura fessure	$\leq w_1$	apertura fessure	$\leq w_2$
B	Aggressive	frequente	apertura fessure	$\leq w_1$	apertura fessure	$\leq w_2$
		quasi permanente	decompressione	-	apertura fessure	$\leq w_1$
C	Molto aggressive	frequente	formazione fessure	-	apertura fessure	$\leq w_1$
		quasi permanente	decompressione	-	apertura fessure	$\leq w_1$

9.6.2. Verifica delle tensioni di esercizio

Coerentemente con quanto previsto dalle NTC, la massima tensione di compressione nel calcestruzzo σ_c deve rispettare i seguenti vincoli:

$\sigma_c < 0.60 f_{ck}$ per combinazione caratteristica (rara)

$\sigma_c < 0.45 f_{ck}$ per combinazione quasi permanente

Nel caso di elementi piani (solette, pareti,...) gettati in opera con calcestruzzi ordinari e spessori di calcestruzzo minori di 50 mm, i valori limite sopra citati vanno ridotti del 20%.

Relativamente alle condizioni di tensioni massime dell'acciaio σ_s , queste ultime devono rispettare il seguente limite:

$\sigma_s < 0.8 f_{yk}$ per combinazione caratteristica

10. SINTESI DEI RISULTATI

10.1. Input software di calcolo

Nel presente paragrafo si riportano i principali dati di input validi per tutte le sezioni di calcolo analizzate. Gli input specifici di ciascuna tipologia saranno riportati nei relativi paragrafi presenti nel seguito.

NOTA: Nei paragrafi a seguire si riportano i principali risultati ottenuti, mentre il listato di calcolo completo delle varie sezioni tipologiche sarà riportato in uno specifico documento allegato al progetto.

Materiali

Simbologia adottata

n° Indice materiale
Descr Descrizione del materiale

Calcestruzzo armato

C Classe di resistenza del cls
A Classe di resistenza dell'acciaio
 γ Peso specifico, espresso in [kN/mc]
 R_{ck} Resistenza caratteristica a compressione, espressa in [N/mm²]
E Modulo elastico, espresso in [N/mm²]
 ν Coeff. di Poisson
n Coeff. di omogenizzazione acciaio/cls
ntc Coeff. di omogenizzazione cls teso/compresso

Calcestruzzo armato

n°	Descr	C	A	γ [kN/mc]	R_{ck} [N/mm ²]	E [N/mm ²]	ν	n	ntc
1	C32/40	C32/40	B450C	25,0000	40,000	33642,6	0.30	15.00	0.50
5	C25/30	C25/30	B450C	25,0000	30,000	31447,0	0.30	15.00	0.50

Acciai

Descr	f_{yk} [N/mm ²]	f_{uk} [N/mm ²]
B450C	450,000	540,000

Descrizione terreni

Parametri di resistenza

Simbologia adottata

n° Indice del terreno
Descr Descrizione terreno
 γ Peso di volume del terreno espresso in [kN/mc]
 γ_s Peso di volume saturo del terreno espresso in [kN/mc]
 ϕ Angolo d'attrito interno espresso in [°]
 δ Angolo d'attrito terra-muro espresso in [°]
c Coesione espressa in [N/mm²]
ca Adesione terra-muro espressa in [N/mm²]
Per calcolo portanza con il metodo di Bustamante-Doix
Cesp Coeff. di espansione laterale (solo per il metodo di Bustamante-Doix)
 τ_l Tensione tangenziale limite, espressa in [N/mm²]

n°	Descr	γ [kN/mc]	γ_{sat} [kN/mc]	ϕ [°]	δ [°]	c [N/mm ²]	ca [N/mm ²]	Cesp	τ_l [N/mm ²]
1	Spingente	19,0000	19,0000	35.000	23.330	0,000	0,000	---	---
2	Strato_1	19,0000	19,0000	32.000	32.000	0,000	0,000	---	---
3	Strato_2	19,0000	19,0000	36.000	36.000	0,000	0,000	---	---
4	Strato_3	19,0000	19,0000	0.000	0.000	0,030	0,000	---	---
5	Strato_4	19,0000	19,0000	37.000	37.000	0,000	0,000	---	---

Parametri di deformabilità

Simbologia adottata

n° Indice del terreno
Descr Descrizione terreno
E Modulo elastico, espresso in [N/mm²]
 ν Coeff. di Poisson
Ed Modulo edometrico, espresso in [N/mm²]
CR Rapporto di compressione

RR Rapporto di ricompressione
OCR Grado di sovraconsolidazione

n°	Descr	E [N/mm ²]	v	Ed [N/mm ²]	CR	RR	OCR
1	Spingente	0,000	0.000	0,000	0.000	0.000	1.000
2	Strato_1	12,500	0.300	0,000	0.000	0.000	1.000
3	Strato_2	37,500	0.300	0,000	0.000	0.000	1.000
4	Strato_3	4,500	0.300	0,000	0.000	0.000	1.000
5	Strato_4	42,500	0.300	0,000	0.000	0.000	1.000

Stratigrafia

Simbologia adottata

n° Indice dello strato
H Spessore dello strato espresso in [m]
α Inclinazione espressa in [°]
Terreno Terreno dello strato

Per calcolo pali (solo se presenti)

Kw Costante di Winkler orizzontale espressa in Kg/cm²/cm
Ks Coefficiente di spinta
Cesp Coefficiente di espansione laterale (per tutti i metodi tranne il metodo di Bustamante-Doix)

Per calcolo della spinta con coeff. di spinta definiti (usati solo se attiva l'opzione 'Usa coeff. di spinta da strato')

Kststa, Kstsis Coeff. di spinta statico e sismico

n°	H [m]	α [°]	Terreno	Kw [Kg/cm ²]	Ks	Cesp	Kststa	Kstsis
1	var	0.000	Spingente	----	----	----	----	----
2	3,00	0.000	Strato_1	----	----	----	----	----
3	4,00	0.000	Strato_2	----	----	----	----	----
4	4,00	0.000	Strato_3	----	----	----	----	----
5	2,00	0.000	Strato_4	----	----	----	----	----

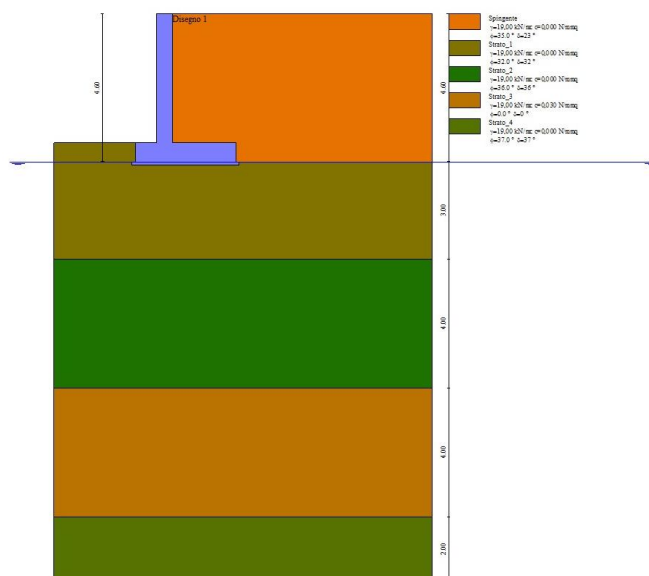


Figura 10.1 – Stratigrafia e posizione falda per il muro di maggiore altezza (la stratigrafia è la medesima per tutte le sezioni di calcolo e la falda è sempre assunta a intradosso fondazione)

Coeff. parziali per le azioni o per l'effetto delle azioni

Carichi	Effetto		Combinazioni statiche				Combinazioni sismiche		
			UPL	EQU	A1	A2	EQU	A1	A2
Permanenti strutturali	Favorevoli	γG1,fav	0.90	1.00	1.00	1.00	1.00	1.00	1.00
Permanenti strutturali	Sfavorevoli	γG1,sfav	1.10	1.30	1.30	1.00	1.00	1.00	1.00
Permanenti non strutturali	Favorevoli	γG2,fav	0.80	0.80	0.80	0.80	0.00	0.00	0.00
Permanenti non strutturali	Sfavorevoli	γG2,sfav	1.50	1.50	1.50	1.30	1.00	1.00	1.00
Variabili	Favorevoli	γQ,fav	0.00	0.00	0.00	0.00	0.00	0.00	0.00
Variabili	Sfavorevoli	γQ,sfav	1.50	1.50	1.50	1.30	1.00	1.00	1.00
Variabili da traffico	Favorevoli	γQT,fav	0.00	0.00	0.00	0.00	0.00	0.00	0.00
Variabili da traffico	Sfavorevoli	γQT,sfav	1.50	1.35	1.35	1.15	1.00	1.00	1.00

Coeff. parziali per i parametri geotecnici del terreno

Parametro		Combinazioni statiche		Combinazioni sismiche	
		M1	M2	M1	M2
Tangente dell'angolo di attrito	$\gamma \tan(\phi')$	1.00	1.25	1.00	1.00
Coesione efficace	$\gamma c'$	1.00	1.25	1.00	1.00
Resistenza non drenata	γc_u	1.00	1.40	1.00	1.00
Peso nell'unità di volume	γ_γ	1.00	1.00	1.00	1.00

Coeff. parziali γ_R per le verifiche agli stati limite ultimi STR e GEO

Verifica	Combinazioni statiche			Combinazioni sismiche		
	R1	R2	R3	R1	R2	R3
Capacità portante	--	--	1.40	--	--	1.20
Scorrimento	--	--	1.10	--	--	1.00
Resistenza terreno a valle	--	--	1.40	--	--	1.20
Ribaltamento	--	--	1.15	--	--	1.00
Stabilità fronte di scavo	--	1.10	--	--	1.20	--

Specifiche per le verifiche nelle combinazioni allo Stato Limite Ultimo (SLU)

	SLU	Eccezionale
Coefficiente di sicurezza calcestruzzo a compressione	1.50	1.00
Coefficiente di sicurezza acciaio	1.15	1.00
Fattore di riduzione da resistenza cubica a cilindrica	0.83	0.83
Fattore di riduzione per carichi di lungo periodo	0.85	0.85
Coefficiente di sicurezza per la sezione	1.00	1.00

Dati sismici

	Simbolo	U.M.	SLU	SLE
Accelerazione al suolo	a_g	[m/s ²]	0.510	0.255
Accelerazione al suolo	a_g/g	[%]	0.052	0.026
Massimo fattore amplificazione spettro orizzontale	F0		2.666	2.602
Periodo inizio tratto spettro a velocità costante	Tc*		0.289	0.194
Tipo di sottosuolo - Coefficiente stratigrafico	Ss		C	1.500
Categoria topografica - Coefficiente amplificazione topografica	St		T1	1.000

Stato limite ...	Coeff. di riduzione β_m	kh [%]	kv [%]
Ultimo	0.380	2.963	1.482
Ultimo - Ribaltamento	0.570	4.445	2.222
Esercizio	0.470	1.833	0.916

Opzioni di calcolo

Spinta

Metodo di calcolo della spinta	Culmann
Tipo di spinta	Spinta attiva
Terreno a bassa permeabilità	NO
Superficie di spinta limitata	NO

Capacità portante

Metodo di calcolo della portanza	Vesic
Criterio di media calcolo del terreno equivalente (terreni stratificati)	Ponderata
Criterio di riduzione per eccentricità della portanza	Nessuna
Criterio di riduzione per rottura locale (punzonamento)	Nessuna
Larghezza fondazione nel terzo termine della formula del carico limite ($0.5B\gamma N_\gamma$)	Larghezza ridotta (B')
Fattori di forma e inclinazione del carico	Fattori di inclinazione e fattori di forma
Se la fondazione ha larghezza superiore a 2.0 m viene applicato il fattore di riduzione per comportamento a piastra	

Stabilità globale

Metodo di calcolo della stabilità globale	Bishop
---	--------

Altro

Partecipazione spinta passiva terreno antistante	0.00
Partecipazione resistenza passiva dente di fondazione	50.00
Componente verticale della spinta nel calcolo delle sollecitazioni	NO
Considera terreno sulla fondazione di valle	NO
Considera spinta e peso acqua fondazione di valle	NO
Calcolo percorso filtrazione nella verifica a sifonamento	Bligh

Spostamenti

Non è stato richiesto il calcolo degli spostamenti

Cedimenti

Metodo di calcolo delle tensioni	Boussinesq
Metodo di calcolo dei cedimenti	Elastico
Profondità calcolo cedimenti	Automatica
ΔH massimo suddivisione strati	1,00 [m]

Specifiche per le verifiche nelle combinazioni allo Stato Limite di Esercizio (SLE)

Verifiche strutturali nelle combinazioni SLD SI

Condizioni ambientali	Aggressive
Armatura ad aderenza migliorata	SI

Verifica a fessurazione

Sensibilità armatura	Poco sensibile
Metodo di calcolo aperture delle fessure	NTC 2018 - CIRCOLARE 21 gennaio 2019, n. 7 C.S.LL.PP.
Calcolo momento fessurazione	Formazione
Resistenza a trazione per	Flessione
Valori limite aperture delle fessure:	$w_1=0.20$ $w_2=0.30$ $w_3=0.40$

Verifica delle tensioni

Valori limite delle tensioni nei materiali:

Combinazione	Calcestruzzo	Acciaio
Rara	$0.60 f_{ck}$	$0.80 f_{yk}$
Frequente	$1.00 f_{ck}$	$1.00 f_{yk}$
Quasi permanente	$0.45 f_{ck}$	$1.00 f_{yk}$

10.2. Sezione tipo 1 e 2 – $2.80m < H < 4.00m$

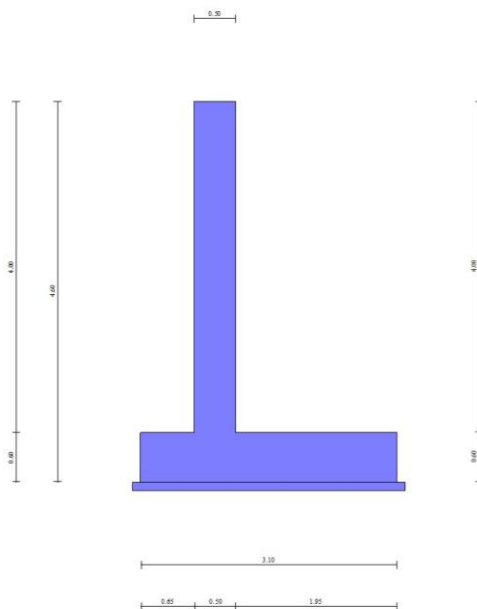


Figura 10.2 – Geometria sezione di calcolo

10.2.1. Carichi

Condizioni di carico

Simbologia adottata

Carichi verticali positivi verso il basso.
Carichi orizzontali positivi verso sinistra.

Momento positivo senso antiorario.

X	Ascissa del punto di applicazione del carico concentrato espressa in [m]
F _x	Componente orizzontale del carico concentrato espressa in [kN]
F _y	Componente verticale del carico concentrato espressa in [kN]
M	Momento espresso in [kNm]
X _i	Ascissa del punto iniziale del carico ripartito espressa in [m]
X _f	Ascissa del punto finale del carico ripartito espressa in [m]
Q _i	Intensità del carico per x=X _i espressa in [kN]
Q _f	Intensità del carico per x=X _f espressa in [kN]

Condizione n° 1 (Variabile 1) - VARIABILE

Coeff. di combinazione $\Psi_0=0.75 - \Psi_1=0.75 - \Psi_2=0.20$

Indice di raggruppamento 1

Carichi sul terreno

n°	Tipo	X [m]	F _x [kN]	F _y [kN]	M [kNm]	X _i [m]	X _f [m]	Q _i [kN]	Q _f [kN]
1	Distribuito					0,00	8,00	20,0000	20,0000

Condizione n° 2 (Urto) - ECCEZIONALE

Carichi sul muro

n°	Tipo	Dest	X; Y [m]	F _x [kN]	F _y [kN]	M [kNm]	X _i [m]	X _f [m]	Q _i [kN]	Q _f [kN]
1	Concentrato	Paramento	0,00; 0,00	10,0000	0,0000	10,0000				

Condizione n° 3 (Variabile 2) - VARIABILE

Coeff. di combinazione $\Psi_0=0.75 - \Psi_1=0.75 - \Psi_2=0.00$

Indice di raggruppamento 2

Carichi sul terreno

n°	Tipo	X [m]	F _x [kN]	F _y [kN]	M [kNm]	X _i [m]	X _f [m]	Q _i [kN]	Q _f [kN]
1	Distribuito					1,95	8,00	20,0000	20,0000

Condizione n° 4 (Barriera) - PERMANENTE NS

Carichi sul muro

n°	Tipo	Dest	X; Y [m]	F _x [kN]	F _y [kN]	M [kNm]	X _i [m]	X _f [m]	Q _i [kN]	Q _f [kN]
1	Concentrato	Paramento	-0,50; 0,00	0,0000	6,0000	1,2000				

10.2.2. Verifiche geotecniche

Quadro riassuntivo coeff. di sicurezza calcolati

Simbologia adottata

Cmb	Indice/Tipo combinazione
S	Sisma (H: componente orizzontale, V: componente verticale)
FS _{SCO}	Coeff. di sicurezza allo scorrimento
FS _{RIB}	Coeff. di sicurezza al ribaltamento
FS _{QLIM}	Coeff. di sicurezza a carico limite
FS _{STAB}	Coeff. di sicurezza a stabilità globale
FS _{HYD}	Coeff. di sicurezza a sifonamento
FS _{UPL}	Coeff. di sicurezza a sollevamento

Cmb	Sismica	FS _{SCO}	FS _{RIB}	FS _{QLIM}	FS _{STAB}	FS _{HYD}	FS _{UPL}
1 - STR (A1-M1-R3)		2.446		2.870			
2 - STR (A1-M1-R3)		2.038		2.883			
3 - STR (A1-M1-R3)	H + V	2.921		4.046			
4 - STR (A1-M1-R3)	H + V	3.056		4.319			
5 - STR (A1-M1-R3)	H - V	2.907		4.151			
6 - STR (A1-M1-R3)	H - V	3.041		4.431			
7 - STR (A1-M1-R3)		2.958		2.744			
8 - STR (A1-M1-R3)		2.756		2.801			
9 - STR (A1-M1-R3)		2.648		2.829			
10 - STR (A1-M1-R3)		2.550		2.850			
11 - STR (A1-M1-R3)		2.348		2.883			
12 - STR (A1-M1-R3)		2.240		2.892			
13 - GEO (A2-M2-R2)					1.254		
14 - GEO (A2-M2-R2)					1.266		
15 - GEO (A2-M2-R2)	H + V				1.658		
16 - GEO (A2-M2-R2)	H + V				1.699		
17 - GEO (A2-M2-R2)	H - V				1.649		
18 - GEO (A2-M2-R2)	H - V				1.689		

Cmb	Sismica	FS _{SCO}	FS _{RIB}	FS _{QLIM}	FS _{STAB}	FS _{HYD}	FS _{SUP}
19 - EQU (A1-M1-R3)			4.185				
20 - EQU (A1-M1-R3)			3.422				
21 - EQU (A1-M1-R3)	H + V		4.661				
22 - EQU (A1-M1-R3)	H + V		4.940				
23 - EQU (A1-M1-R3)	H - V		4.301				
24 - EQU (A1-M1-R3)	H - V		4.537				
25 - ECC		2.950	3.814	4.154	1.748		
36 - HYD						100.000	
37 - UPL							100.000
38 - HYD						100.000	
39 - UPL							100.000

Cedimenti

Simbologia adottata

Ic	Indice combinazione
X, Y	Punto di calcolo del cedimento, espressa in [m]
w	Cedimento, espressa in [m]
dw	Cedimento differenziale, espressa in [m]

Ic	X; Y	w	dw
	[m]	[m]	[m]
26	-1,15; -4,60	0,02672	0,00036
26	0,40; -4,60	0,03628	0,00992
26	1,95; -4,60	0,02636	0,00000

10.2.3. Verifiche strutturali

Sollecitazioni

Elementi calcolati a trave

Simbologia adottata

n°	Indice della sezione
X	Posizione della sezione, espresso in [m]
N	Sforzo normale, espresso in [kN]. Positivo se di compressione.
T	Taglio, espresso in [kN]. Positivo se diretto da monte verso valle
M	Momento, espresso in [kNm]. Positivo se tende le fibre contro terra (a monte)

La posizione delle sezioni di verifica fanno riferimento al sistema di riferimento globale la cui origine è nello spigolo in alto a destra del paramento.

Paramento

n°	X	N _{min}	N _{max}	T _{min}	T _{max}	M _{min}	M _{max}
	[m]	[kN]	[kN]	[kN]	[kN]	[kNm]	[kNm]
41	-4,00	55,26	74,00	34,11	71,28	48,19	117,05

Fondazione

n°	X	N _{min}	N _{max}	T _{min}	T _{max}	M _{min}	M _{max}
	[m]	[kN]	[kN]	[kN]	[kN]	[kNm]	[kNm]
8	-0,50	0,00	0,00	44,62	79,17	14,44	25,81
9	0,00	0,00	0,00	-70,92	-4,31	-77,34	-2,44

Verifiche strutturali

Verifiche a flessione

Elementi calcolati a trave

Simbologia adottata

n°	indice sezione
B	larghezza sezione espresso in [m]
H	altezza sezione espressa in [m]
Afi	area ferri inferiori espresso in [mq]
Afs	area ferri superiori espressa in [mq]
M	momento agente espressa in [kNm]
N	sforzo normale agente espressa in [kN]
Mrd	momento resistente espresso in [kNm]
Nrd	sforzo normale resistente espresso in [kN]
FS	fattore di sicurezza (rapporto tra sollecitazione ultima e sollecitazione agente)

Paramento

n°	B	H	Afi	Afs	M	N	Mrd	Nrd	FS
	[m]	[m]	[mq]	[mq]	[kNm]	[kN]	[kNm]	[kN]	
41	1,00	0,50	0,000565	0,001407	117,05	59,00	234,37	59,00	2.002

Fondazione

n°	B [m]	H [m]	Afi [mq]	Afs [mq]	M [kNm]	N [kN]	Mrd [kNm]	Nrd [kN]	FS
8	1,00	0,60	0,001005	0,001005	25,81	0,00	197,49	0,00	7.651
9	1,00	0,60	0,001005	0,001005	-77,34	0,00	-197,49	0,00	2.553

Verifiche a taglio

Simbologia adottata

n° (o Is)	indice sezione
Y	ordinata sezione espressa in [m]
B	larghezza sezione espresso in [m]
H	altezza sezione espressa in [m]
A _{sw}	area ferri a taglio espresso in [mq]
cotθ	inclinazione delle bielle compresse, θ inclinazione dei puntoni di calcestruzzo
V _{Rcd}	resistenza di progetto a 'taglio compressione' espressa in [kN]
V _{Rsd}	resistenza di progetto a 'taglio trazione' espressa in [kN]
V _{Rd}	resistenza di progetto a taglio espresso in [kN]. Per elementi con armature trasversali resistenti al taglio (A _{sw} >0.0) V _{Rd} =min(V _{Rcd} , V _{Rsd}).
T	taglio agente espressa in [kN]
FS	fattore di sicurezza (rapporto tra sollecitazione resistente e sollecitazione agente)

Paramento

n°	B [m]	H [m]	A _{sw} [mq]	cotθ	V _{Rcd} [kN]	V _{Rsd} [kN]	V _{Rd} [kN]	T [kN]	FS
41	1,00	0,50	0,000000	--	0,00	0,00	229,30	71,28	3.217

Fondazione

n°	B [m]	H [m]	A _{sw} [mq]	cotθ	V _{Rcd} [kN]	V _{Rsd} [kN]	V _{Rd} [kN]	T [kN]	FS
8	1,00	0,60	0,000000	--	0,00	0,00	222,50	-79,17	2.810
9	1,00	0,60	0,000000	--	0,00	0,00	222,50	-70,92	3.137

Verifica delle tensioni

Simbologia adottata

n°	indice sezione
Y	ordinata sezione, espressa in [m]
B	larghezza sezione, espresso in [m]
H	altezza sezione, espressa in [m]
Afi	area ferri inferiori, espresso in [mq]
Afs	area ferri superiori, espressa in [mq]
M	momento agente, espressa in [kNm]
N	sforzo normale agente, espressa in [kN]
σ _c	tensione di compressione nel cls, espressa in [N/mm ²]
σ _{fi}	tensione nei ferri inferiori, espressa in [N/mm ²]
σ _{fs}	tensione nei ferri superiori, espressa in [N/mm ²]

Combinazioni SLER

Paramento

Tensione massima di compressione nel calcestruzzo	19,920	[N/mm ²]
Tensione massima di trazione dell'acciaio	360,000	[N/mm ²]

n°	B [m]	H [m]	Afi [mq]	Afs [mq]	M [kNm]	N [kN]	σ _c [N/mm ²]	σ _{fi} [N/mm ²]	σ _{fs} [N/mm ²]
41	1,00	0,50	0,000565	0,001407	84,10	56,00	3,487 (26)	129,322 (26)	28,470 (26)

Fondazione

Tensione massima di compressione nel calcestruzzo	14,940	[N/mm ²]
Tensione massima di trazione dell'acciaio	360,000	[N/mm ²]

n°	B [m]	H [m]	Afi [mq]	Afs [mq]	M [kNm]	N [kN]	σ _c [N/mm ²]	σ _{fi} [N/mm ²]	σ _{fs} [N/mm ²]
8	1,00	0,60	0,001005	0,001005	18,98	0,00	0,620 (26)	37,489 (26)	4,290 (26)
9	1,00	0,60	0,001005	0,001005	-20,19	0,00	0,659 (29)	4,565 (29)	39,889 (29)

Combinazioni SLEF

Paramento

Tensione massima di compressione nel calcestruzzo	33,200	[N/mm ²]
Tensione massima di trazione dell'acciaio	450,000	[N/mm ²]

n°	B [m]	H [m]	Afi [mq]	Afs [mq]	M [kNm]	N [kN]	σ _c	σ _{fi}	σ _{fs}
----	----------	----------	-------------	-------------	------------	-----------	----------------	-----------------	-----------------

	[m]	[m]	[mq]	[mq]	[kNm]	[kN]	[N/mm ²]	[N/mm ²]	[N/mm ²]
41	1,00	0,50	0,000565	0,001407	75,12	56,00	3,119 (27)	113,522 (27)	25,754 (27)

Fondazione

Tensione massima di compressione nel calcestruzzo 24,900 [N/mm²]
Tensione massima di trazione dell'acciaio 450,000 [N/mm²]

n°	B	H	Afi	Afs	M	N	σc	σfi	σfs
	[m]	[m]	[mq]	[mq]	[kNm]	[kN]	[N/mm ²]	[N/mm ²]	[N/mm ²]
8	1,00	0,60	0,001005	0,001005	17,84	0,00	0,583 (27)	35,246 (27)	4,034 (27)
9	1,00	0,60	0,001005	0,001005	-15,75	0,00	0,514 (30)	3,561 (30)	31,120 (30)

Combinazioni SLEQ

Paramento

Tensione massima di compressione nel calcestruzzo 14,940 [N/mm²]
Tensione massima di trazione dell'acciaio 450,000 [N/mm²]

n°	B	H	Afi	Afs	M	N	σc	σfi	σfs
	[m]	[m]	[mq]	[mq]	[kNm]	[kN]	[N/mm ²]	[N/mm ²]	[N/mm ²]
41	1,00	0,50	0,000565	0,001407	60,22	56,46	2,508 (32)	87,174 (32)	21,250 (32)

Fondazione

Tensione massima di compressione nel calcestruzzo 11,205 [N/mm²]
Tensione massima di trazione dell'acciaio 450,000 [N/mm²]

n°	B	H	Afi	Afs	M	N	σc	σfi	σfs
	[m]	[m]	[mq]	[mq]	[kNm]	[kN]	[N/mm ²]	[N/mm ²]	[N/mm ²]
8	1,00	0,60	0,001005	0,001005	16,97	0,00	0,554 (32)	33,512 (32)	3,835 (32)
9	1,00	0,60	0,001005	0,001005	-15,33	0,00	0,501 (33)	3,465 (33)	30,274 (33)

Verifica a fessurazione

Simbologia adottata

n° indice sezione
Y ordinata sezione espressa in [m]
B larghezza sezione espressa in [m]
H altezza sezione espressa in [m]
Af area ferri zona tesa espressa in [mq]
Aeff area efficace espressa in [mq]
M momento agente espressa in [kNm]
Mpf momento di formazione/apertura fessure espressa in [kNm]
ε deformazione espressa in %
Sm spaziatura tra le fessure espressa in [mm]
w apertura delle fessure espressa in [mm]

Combinazioni SLEF

Paramento

Apertura limite fessure $w_{lim}=0.30$

n°	B	H	Af	Aeff	M	Mpf	ε	Sm	w
	[m]	[m]	[mq]	[mq]	[kNm]	[kNm]	[%]	[mm]	[mm]
41	1,00	0,50	0,001407	0,126324	75,12	149,93	0,000000	0,00	0,000 (27)

Fondazione

Apertura limite fessure $w_{lim}=0.30$

n°	B	H	Af	Aeff	M	Mpf	ε	Sm	w
	[m]	[m]	[mq]	[mq]	[kNm]	[kNm]	[%]	[mm]	[mm]
8	1,00	0,60	0,001005	0,145000	17,84	168,55	0,000000	0,00	0,000 (27)
9	1,00	0,60	0,001005	0,145000	-14,74	-168,55	0,000000	0,00	0,000 (27)

Combinazioni SLEQ

Paramento

Apertura limite fessure $w_{lim}=0.20$

n°	B	H	Af	Aeff	M	Mpf	ε	Sm	w
	[m]	[m]	[mq]	[mq]	[kNm]	[kNm]	[%]	[mm]	[mm]
41	1,00	0,50	0,001407	0,126324	55,37	149,94	0,000000	0,00	0,000 (28)

Fondazione

Apertura limite fessure $w_{lim}=0.20$

n°	B	H	Af	Aeff	M	Mpf	ϵ	Sm	w
	[m]	[m]	[mq]	[mq]	[kNm]	[kNm]	[%]	[mm]	[mm]
8	1,00	0,60	0,001005	0,145000	15,35	168,55	0,000000	0,00	0,000 (28)
9	1,00	0,60	0,001005	0,145000	-5,72	-168,55	0,000000	0,00	0,000 (28)

10.3. Sezione tipo 3 – $2.00m < H < 2.80m$

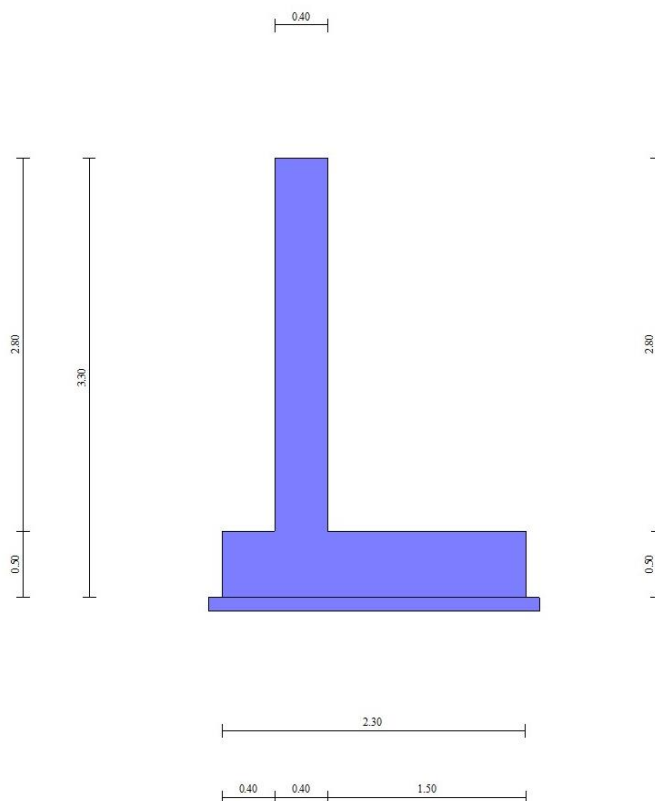


Figura 10.3 – Geometria sezione di calcolo

10.3.1. Carichi

Condizioni di carico

Simbologia adottata

Carichi verticali positivi verso il basso.

Carichi orizzontali positivi verso sinistra.

Momento positivo senso antiorario.

X	Ascissa del punto di applicazione del carico concentrato espressa in [m]
F_x	Componente orizzontale del carico concentrato espressa in [kN]
F_y	Componente verticale del carico concentrato espressa in [kN]
M	Momento espresso in [kNm]
X_i	Ascissa del punto iniziale del carico ripartito espressa in [m]
X_f	Ascissa del punto finale del carico ripartito espressa in [m]
Q_i	Intensità del carico per $x=X_i$ espressa in [kN]
Q_f	Intensità del carico per $x=X_f$ espressa in [kN]

Condizione n° 1 (Variabile 1) - VARIABLE

Coeff. di combinazione $\Psi_0=0.75 - \Psi_1=0.75 - \Psi_2=0.20$

Indice di raggruppamento 1

Carichi sul terreno

n°	Tipo	X	F_x	F_y	M	X_i	X_f	Q_i	Q_f
----	------	---	-------	-------	---	-------	-------	-------	-------

		[m]	[kN]	[kN]	[kNm]	[m]	[m]	[kN]	[kN]
1	Distribuito					0,00	8,00	20,0000	20,0000

Condizione n° 2 (Urto) - ECCEZIONALE

Carichi sul muro

n°	Tipo	Dest	X; Y [m]	Fx [kN]	Fy [kN]	M [kNm]	Xi [m]	Xf [m]	Qi [kN]	Qf [kN]
1	Concentrato	Paramento	0,00; 0,00	10,0000	0,0000	10,0000				

Condizione n° 3 (Variabile 2) - VARIABILE

Coeff. di combinazione $\Psi_0=0.75$ - $\Psi_1=0.75$ - $\Psi_2=0.00$

Indice di raggruppamento 2

Carichi sul terreno

n°	Tipo	X [m]	Fx [kN]	Fy [kN]	M [kNm]	Xi [m]	Xf [m]	Qi [kN]	Qf [kN]
1	Distribuito					1,50	8,00	20,0000	20,0000

Condizione n° 4 (Barriera) - PERMANENTE NS

Carichi sul muro

n°	Tipo	Dest	X; Y [m]	Fx [kN]	Fy [kN]	M [kNm]	Xi [m]	Xf [m]	Qi [kN]	Qf [kN]
1	Concentrato	Paramento	-0,40; 0,00	0,0000	6,0000	1,2000				

10.3.2. Verifiche geotecniche

Quadro riassuntivo coeff. di sicurezza calcolati

Simbologia adottata

Cmb	Indice/Tipo combinazione
S	Sisma (H: componente orizzontale, V: componente verticale)
FS _{SCO}	Coeff. di sicurezza allo scorrimento
FS _{RIB}	Coeff. di sicurezza al ribaltamento
FS _{QLIM}	Coeff. di sicurezza a carico limite
FS _{STAB}	Coeff. di sicurezza a stabilità globale
FS _{HYD}	Coeff. di sicurezza a sifonamento
FS _{UPL}	Coeff. di sicurezza a sollevamento

Cmb	Sismica	FS _{SCO}	FS _{RIB}	FS _{QLIM}	FS _{STAB}	FS _{HYD}	FS _{UPL}
1 - STR (A1-M1-R3)		2.542		2.899			
2 - STR (A1-M1-R3)		2.005		2.931			
3 - STR (A1-M1-R3)	H + V	3.106		4.380			
4 - STR (A1-M1-R3)	H + V	3.305		4.768			
5 - STR (A1-M1-R3)	H - V	3.092		4.494			
6 - STR (A1-M1-R3)	H - V	3.289		4.891			
7 - STR (A1-M1-R3)		3.030		2.764			
8 - STR (A1-M1-R3)		2.827		2.826			
9 - STR (A1-M1-R3)		2.745		2.849			
10 - STR (A1-M1-R3)		2.493		2.909			
11 - STR (A1-M1-R3)		2.290		2.939			
12 - STR (A1-M1-R3)		2.208		2.944			
13 - GEO (A2-M2-R2)					1.272		
14 - GEO (A2-M2-R2)					1.285		
15 - GEO (A2-M2-R2)	H + V				1.742		
16 - GEO (A2-M2-R2)	H + V				1.806		
17 - GEO (A2-M2-R2)	H - V				1.732		
18 - GEO (A2-M2-R2)	H - V				1.795		
19 - EQU (A1-M1-R3)			4.170				
20 - EQU (A1-M1-R3)			3.197				
21 - EQU (A1-M1-R3)	H + V		4.741				
22 - EQU (A1-M1-R3)	H + V		5.106				
23 - EQU (A1-M1-R3)	H - V		4.363				
24 - EQU (A1-M1-R3)	H - V		4.669				
25 - ECC		2.760	2.830	4.121	1.849		
36 - HYD						100.000	
37 - UPL							100.000
38 - HYD						100.000	
39 - UPL							100.000

Cedimenti

Simbologia adottata

Ic	Indice combinazione
X, Y	Punto di calcolo del cedimento, espressa in [m]
w	Cedimento, espressa in [m]
dw	Cedimento differenziale, espressa in [m]

Ic	X; Y	w	dw
----	------	---	----

	[m]	[m]	[m]
26	-0,80; -3,30	0,01879	0,00098
26	0,35; -3,30	0,02429	0,00649
26	1,50; -3,30	0,01781	0,00000

10.3.3. Verifiche strutturali

Sollecitazioni

Elementi calcolati a trave

Simbologia adottata

n°	Indice della sezione
X	Posizione della sezione, espresso in [m]
N	Sforzo normale, espresso in [kN]. Positivo se di compressione.
T	Taglio, espresso in [kN]. Positivo se diretto da monte verso valle
M	Momento, espresso in [kNm]. Positivo se tende le fibre contro terra (a monte)

La posizione delle sezioni di verifica fanno riferimento al sistema di riferimento globale la cui origine è nello spigolo in alto a destra del paramento.

Paramento

n°	X	Nmin	Nmax	Tmin	Tmax	Mmin	Mmax
	[m]	[kN]	[kN]	[kN]	[kN]	[kNm]	[kNm]
29	-2,80	33,59	45,40	16,72	40,58	18,01	59,53

Fondazione

n°	X	Nmin	Nmax	Tmin	Tmax	Mmin	Mmax
	[m]	[kN]	[kN]	[kN]	[kN]	[kNm]	[kNm]
5	-0,40	0,00	0,00	22,74	42,55	4,56	8,58
6	0,00	0,00	0,00	-39,08	-0,95	-35,52	-1,60

Verifiche strutturali

Verifiche a flessione

Elementi calcolati a trave

Simbologia adottata

n°	indice sezione
B	larghezza sezione espresso in [m]
H	altezza sezione espressa in [m]
Afi	area ferri inferiori espresso in [mq]
Afs	area ferri superiori espressa in [mq]
M	momento agente espressa in [kNm]
N	sforzo normale agente espressa in [kN]
Mrd	momento resistente espresso in [kNm]
Nrd	sforzo normale resistente espresso in [kN]
FS	fattore di sicurezza (rapporto tra sollecitazione ultima e sollecitazione agente)

Paramento

n°	B	H	Afi	Afs	M	N	Mrd	Nrd	FS
	[m]	[m]	[mq]	[mq]	[kNm]	[kN]	[kNm]	[kN]	
29	1,00	0,40	0,000565	0,001005	59,53	34,00	149,71	34,00	2.515

Fondazione

n°	B	H	Afi	Afs	M	N	Mrd	Nrd	FS
	[m]	[m]	[mq]	[mq]	[kNm]	[kN]	[kNm]	[kN]	
5	1,00	0,50	0,001005	0,001005	8,58	0,00	159,46	0,00	18.590
6	1,00	0,50	0,001005	0,001005	-35,52	0,00	-159,46	0,00	4.490

Verifiche a taglio

Simbologia adottata

n° (o Is)	indice sezione
Y	ordinata sezione espressa in [m]
B	larghezza sezione espresso in [m]
H	altezza sezione espressa in [m]
Asw	area ferri a taglio espresso in [mq]
cotgθ	inclinazione delle bielle compresse, θ inclinazione dei puntoni di calcestruzzo
V _{Rcd}	resistenza di progetto a 'taglio compressione' espressa in [kN]
V _{Rsd}	resistenza di progetto a 'taglio trazione' espressa in [kN]
V _{Rd}	resistenza di progetto a taglio espresso in [kN]. Per elementi con armature trasversali resistenti al taglio (A _{sw} >0.0) V _{Rd} =min(V _{Rcd} , V _{Rsd}).
T	taglio agente espressa in [kN]
FS	fattore di sicurezza (rapporto tra sollecitazione resistente e sollecitazione agente)

Paramento

n°	B	H	Asw	cotgθ	V _{Rcd}	V _{Rsd}	V _{Rd}	T	FS
----	---	---	-----	-------	------------------	------------------	-----------------	---	----

	[m]	[m]	[mq]		[kN]	[kN]	[kN]	[kN]	
29	1,00	0,40	0,000000	--	0,00	0,00	187,64	40,58	4.624

Fondazione

n°	B [m]	H [m]	A _{sw} [mq]	cotθ	V _{Rcd} [kN]	V _{Rsd} [kN]	V _{Rd} [kN]	T [kN]	FS
5	1,00	0,50	0,000000	--	0,00	0,00	202,37	-42,55	4.756
6	1,00	0,50	0,000000	--	0,00	0,00	202,37	-39,08	5.179

Verifica delle tensioni

Simbologia adottata

n°	indice sezione
Y	ordinata sezione, espressa in [m]
B	larghezza sezione, espressa in [m]
H	altezza sezione, espressa in [m]
A _{fi}	area ferri inferiori, espressa in [mq]
A _{fs}	area ferri superiori, espressa in [mq]
M	momento agente, espressa in [kNm]
N	sforzo normale agente, espressa in [kN]
σ _c	tensione di compressione nel cls, espressa in [N/mmq]
σ _{fi}	tensione nei ferri inferiori, espressa in [N/mmq]
σ _{fs}	tensione nei ferri superiori, espressa in [N/mmq]

Combinazioni SLER

Paramento

Tensione massima di compressione nel calcestruzzo	19,920	[N/mmq]
Tensione massima di trazione dell'acciaio	360,000	[N/mmq]

n°	B [m]	H [m]	A _{fi} [mq]	A _{fs} [mq]	M [kNm]	N [kN]	σ _c [N/mmq]	σ _{fi} [N/mmq]	σ _{fs} [N/mmq]
29	1,00	0,40	0,000565	0,001005	35,60	34,00	2,538 (26)	96,706 (26)	15,217 (26)

Fondazione

Tensione massima di compressione nel calcestruzzo	14,940	[N/mmq]
Tensione massima di trazione dell'acciaio	360,000	[N/mmq]

n°	B [m]	H [m]	A _{fi} [mq]	A _{fs} [mq]	M [kNm]	N [kN]	σ _c [N/mmq]	σ _{fi} [N/mmq]	σ _{fs} [N/mmq]
5	1,00	0,50	0,001005	0,001005	6,24	0,00	0,283 (26)	15,245 (26)	1,689 (26)
6	1,00	0,50	0,001005	0,001005	-10,81	0,00	0,490 (29)	2,925 (29)	26,410 (29)

Combinazioni SLEF

Paramento

Tensione massima di compressione nel calcestruzzo	33,200	[N/mmq]
Tensione massima di trazione dell'acciaio	450,000	[N/mmq]

n°	B [m]	H [m]	A _{fi} [mq]	A _{fs} [mq]	M [kNm]	N [kN]	σ _c [N/mmq]	σ _{fi} [N/mmq]	σ _{fs} [N/mmq]
29	1,00	0,40	0,000565	0,001005	31,20	34,00	2,225 (27)	82,713 (27)	13,691 (27)

Fondazione

Tensione massima di compressione nel calcestruzzo	24,900	[N/mmq]
Tensione massima di trazione dell'acciaio	450,000	[N/mmq]

n°	B [m]	H [m]	A _{fi} [mq]	A _{fs} [mq]	M [kNm]	N [kN]	σ _c [N/mmq]	σ _{fi} [N/mmq]	σ _{fs} [N/mmq]
5	1,00	0,50	0,001005	0,001005	5,82	0,00	0,264 (27)	14,222 (27)	1,575 (27)
6	1,00	0,50	0,001005	0,001005	-8,51	0,00	0,386 (30)	2,302 (30)	20,787 (30)

Combinazioni SLEQ

Paramento

Tensione massima di compressione nel calcestruzzo	14,940	[N/mmq]
Tensione massima di trazione dell'acciaio	450,000	[N/mmq]

n°	B [m]	H [m]	A _{fi} [mq]	A _{fs} [mq]	M [kNm]	N [kN]	σ _c [N/mmq]	σ _{fi} [N/mmq]	σ _{fs} [N/mmq]
29	1,00	0,40	0,000565	0,001005	23,47	34,26	1,673 (32)	58,038 (32)	11,000 (32)

Fondazione

Tensione massima di compressione nel calcestruzzo 11,205 [N/mm²]
Tensione massima di trazione dell'acciaio 450,000 [N/mm²]

n°	B [m]	H [m]	A _f [mq]	A _{fs} [mq]	M [kNm]	N [kN]	σ _c [N/mm ²]	σ _{fi} [N/mm ²]	σ _{fs} [N/mm ²]
5	1,00	0,50	0,001005	0,001005	5,37	0,00	0,244 (32)	13,131 (32)	1,454 (32)
6	1,00	0,50	0,001005	0,001005	-7,45	0,00	0,338 (33)	2,017 (33)	18,208 (33)

Verifica a fessurazione

Simbologia adottata

n°	indice sezione
Y	ordinata sezione espressa in [m]
B	larghezza sezione espressa in [m]
H	altezza sezione espressa in [m]
A _f	area ferri zona tesa espressa in [mq]
A _{eff}	area efficace espressa in [mq]
M	momento agente espressa in [kNm]
M _{pf}	momento di formazione/apertura fessure espressa in [kNm]
ε	deformazione espressa in %
S _m	spaziatura tra le fessure espressa in [mm]
w	apertura delle fessure espressa in [mm]

Combinazioni SLEF

Paramento

Apertura limite fessure w_{lim}=0.30

n°	B [m]	H [m]	A _f [mq]	A _{eff} [mq]	M [kNm]	M _{pf} [kNm]	ε [%]	S _m [mm]	w [mm]
29	1,00	0,40	0,001005	0,103566	31,20	93,31	0,000000	0,00	0,000 (27)

Fondazione

Apertura limite fessure w_{lim}=0.30

n°	B [m]	H [m]	A _f [mq]	A _{eff} [mq]	M [kNm]	M _{pf} [kNm]	ε [%]	S _m [mm]	w [mm]
5	1,00	0,50	0,001005	0,134570	5,82	117,96	0,000000	0,00	0,000 (27)
6	1,00	0,50	0,001005	0,134570	-7,88	-117,96	0,000000	0,00	0,000 (27)

Combinazioni SLEQ

Paramento

Apertura limite fessure w_{lim}=0.20

n°	B [m]	H [m]	A _f [mq]	A _{eff} [mq]	M [kNm]	M _{pf} [kNm]	ε [%]	S _m [mm]	w [mm]
29	1,00	0,40	0,001005	0,103566	21,53	93,31	0,000000	0,00	0,000 (28)

Fondazione

Apertura limite fessure w_{lim}=0.20

n°	B [m]	H [m]	A _f [mq]	A _{eff} [mq]	M [kNm]	M _{pf} [kNm]	ε [%]	S _m [mm]	w [mm]
5	1,00	0,50	0,001005	0,134570	4,90	117,96	0,000000	0,00	0,000 (28)
6	1,00	0,50	0,001005	0,134570	-3,28	-117,96	0,000000	0,00	0,000 (28)

10.4. Sezione tipo 4 – $1.00\text{m} < H < 2.00\text{m}$

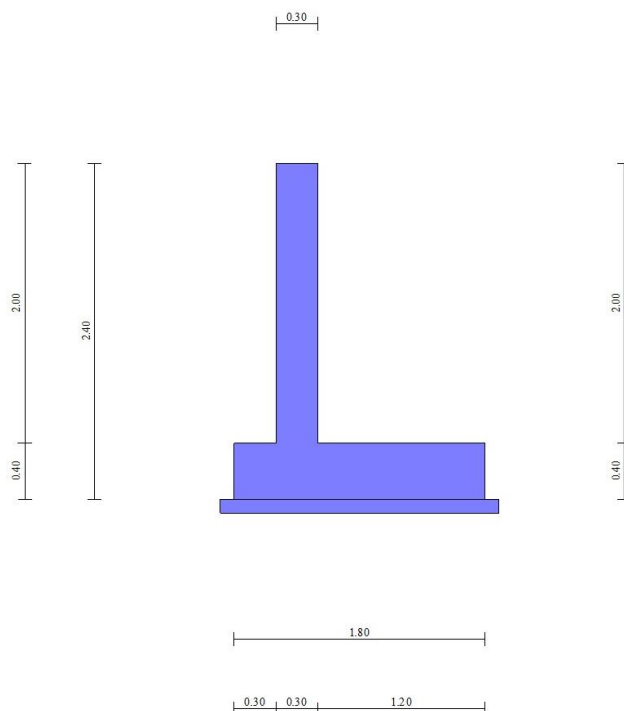


Figura 10.4 – Geometria sezione di calcolo

10.4.1. Carichi

Condizioni di carico

Simbologia adottata

Carichi verticali positivi verso il basso.

Carichi orizzontali positivi verso sinistra.

Momento positivo senso antiorario.

X	Ascissa del punto di applicazione del carico concentrato espressa in [m]
F _x	Componente orizzontale del carico concentrato espressa in [kN]
F _y	Componente verticale del carico concentrato espressa in [kN]
M	Momento espresso in [kNm]
X _i	Ascissa del punto iniziale del carico ripartito espressa in [m]
X _f	Ascissa del punto finale del carico ripartito espressa in [m]
Q _i	Intensità del carico per x=X _i espressa in [kN]
Q _f	Intensità del carico per x=X _f espressa in [kN]

Condizione n° 1 (Variabile 1) - VARIABILE

Coeff. di combinazione $\Psi_0=0.75 - \Psi_1=0.75 - \Psi_2=0.20$

Indice di raggruppamento 1

Carichi sul terreno

n°	Tipo	X [m]	F _x [kN]	F _y [kN]	M [kNm]	X _i [m]	X _f [m]	Q _i [kN]	Q _f [kN]
1	Distribuito					0,00	8,00	20,0000	20,0000

Condizione n° 2 (Urto) - ECCEZIONALE

Carichi sul muro

n°	Tipo	Dest	X; Y [m]	F _x [kN]	F _y [kN]	M [kNm]	X _i [m]	X _f [m]	Q _i [kN]	Q _f [kN]
1	Concentrato	Paramento	0,00; 0,00	10,0000	0,0000	10,0000				

Condizione n° 3 (Variabile 2) - VARIABILE

Coeff. di combinazione $\Psi_0=0.75 - \Psi_1=0.75 - \Psi_2=0.00$
Indice di raggruppamento 2

Carichi sul terreno

n°	Tipo	X [m]	Fx [kN]	Fy [kN]	M [kNm]	Xi [m]	Xf [m]	Qi [kN]	Qf [kN]
1	Distribuito					1,20	8,00	20,000	20,000

Condizione n° 4 (Barriera) - PERMANENTE NS

Carichi sul muro

n°	Tipo	Dest	X; Y [m]	Fx [kN]	Fy [kN]	M [kNm]	Xi [m]	Xf [m]	Qi [kN]	Qf [kN]
1	Concentrato	Paramento	-0,30; 0,00	0,0000	6,0000	1,2000				

10.4.2. Verifiche geotecniche

Quadro riassuntivo coeff. di sicurezza calcolati

Simbologia adottata

Cmb	Indice/Tipo combinazione
S	Sisma (H: componente orizzontale, V: componente verticale)
FS _{SCO}	Coeff. di sicurezza allo scorrimento
FS _{RIB}	Coeff. di sicurezza al ribaltamento
FS _{QLIM}	Coeff. di sicurezza a carico limite
FS _{STAB}	Coeff. di sicurezza a stabilità globale
FS _{HYD}	Coeff. di sicurezza a sifonamento
FS _{UPL}	Coeff. di sicurezza a sollevamento

Cmb	Sismica	FS _{SCO}	FS _{RIB}	FS _{QLIM}	FS _{STAB}	FS _{HYD}	FS _{UPL}
1 - STR (A1-M1-R3)		2.674		2.921			
2 - STR (A1-M1-R3)		1.973		2.979			
3 - STR (A1-M1-R3)	H + V	3.326		4.768			
4 - STR (A1-M1-R3)	H + V	3.615		5.313			
5 - STR (A1-M1-R3)	H - V	3.313		4.891			
6 - STR (A1-M1-R3)	H - V	3.599		5.449			
7 - STR (A1-M1-R3)		3.132		2.781			
8 - STR (A1-M1-R3)		2.940		2.844			
9 - STR (A1-M1-R3)		2.866		2.867			
10 - STR (A1-M1-R3)		2.432		2.975			
11 - STR (A1-M1-R3)		2.239		2.997			
12 - STR (A1-M1-R3)		2.166		2.999			
13 - GEO (A2-M2-R2)					1.271		
14 - GEO (A2-M2-R2)					1.286		
15 - GEO (A2-M2-R2)	H + V				1.802		
16 - GEO (A2-M2-R2)	H + V				1.896		
17 - GEO (A2-M2-R2)	H - V				1.793		
18 - GEO (A2-M2-R2)	H - V				1.885		
19 - EQU (A1-M1-R3)			4.372				
20 - EQU (A1-M1-R3)			3.100				
21 - EQU (A1-M1-R3)	H + V		4.997				
22 - EQU (A1-M1-R3)	H + V		5.456				
23 - EQU (A1-M1-R3)	H - V		4.572				
24 - EQU (A1-M1-R3)	H - V		4.949				
25 - ECC		2.445	2.025	3.908	1.920		
36 - HYD						100.000	
37 - UPL							100.000
38 - HYD						100.000	
39 - UPL							100.000

Cedimenti

Simbologia adottata

Ic	Indice combinazione
X, Y	Punto di calcolo del cedimento, espressa in [m]
w	Cedimento, espressa in [m]
dw	Cedimento differenziale, espressa in [m]

Ic	X; Y [m]	w [m]	dw [m]
26	-0,60; -2,40	0,01310	0,00068
26	0,30; -2,40	0,01661	0,00419
26	1,20; -2,40	0,01242	0,00000

10.4.3. Verifiche strutturali

Sollecitazioni

Elementi calcolati a trave

Simbologia adottata

n°	Indice della sezione
X	Posizione della sezione, espresso in [m]
N	Sforzo normale, espresso in [kN]. Positivo se di compressione.
T	Taglio, espresso in [kN]. Positivo se diretto da monte verso valle
M	Momento, espresso in [kNm]. Positivo se tende le fibre contro terra (a monte)

La posizione delle sezioni di verifica fanno riferimento al sistema di riferimento globale la cui origine è nello spigolo in alto a destra del paramento.

Paramento

n°	X	N _{min}	N _{max}	T _{min}	T _{max}	M _{min}	M _{max}
	[m]	[kN]	[kN]	[kN]	[kN]	[kNm]	[kNm]
21	-2,00	20,78	28,50	8,53	24,55	7,79	39,58

Fondazione

n°	X	N _{min}	N _{max}	T _{min}	T _{max}	M _{min}	M _{max}
	[m]	[kN]	[kN]	[kN]	[kN]	[kNm]	[kNm]
4	-0,30	0,00	0,00	13,34	30,79	2,01	4,80
5	0,00	0,00	0,00	-27,02	0,16	-26,45	-0,77

Verifiche strutturali

Verifiche a flessione

Elementi calcolati a trave

Simbologia adottata

n°	indice sezione
B	larghezza sezione espresso in [m]
H	altezza sezione espressa in [m]
A _{fi}	area ferri inferiori espresso in [mq]
A _{fs}	area ferri superiori espressa in [mq]
M	momento agente espressa in [kNm]
N	sforzo normale agente espressa in [kN]
M _{rd}	momento resistente espresso in [kNm]
N _{rd}	sforzo normale resistente espresso in [kN]
FS	fattore di sicurezza (rapporto tra sollecitazione ultima e sollecitazione agente)

Paramento

n°	B	H	A _{fi}	A _{fs}	M	N	M _{rd}	N _{rd}	FS
	[m]	[m]	[mq]	[mq]	[kNm]	[kN]	[kNm]	[kN]	
21	1,00	0,30	0,000770	0,000770	39,58	21,00	81,27	21,00	2.053

Fondazione

n°	B	H	A _{fi}	A _{fs}	M	N	M _{rd}	N _{rd}	FS
	[m]	[m]	[mq]	[mq]	[kNm]	[kN]	[kNm]	[kN]	
4	1,00	0,40	0,000770	0,000770	4,80	0,00	110,57	0,00	23.026
5	1,00	0,40	0,000770	0,000770	-26,45	0,00	-110,57	0,00	4.180

Verifiche a taglio

Simbologia adottata

n° (o Is)	indice sezione
Y	ordinata sezione espressa in [m]
B	larghezza sezione espresso in [m]
H	altezza sezione espressa in [m]
A _{sw}	area ferri a taglio espresso in [mq]
cotgθ	inclinazione delle bielle compresse, θ inclinazione dei puntoni di calcestruzzo
V _{Rcd}	resistenza di progetto a 'taglio compressione' espressa in [kN]
V _{Rsd}	resistenza di progetto a 'taglio trazione' espressa in [kN]
V _{Rd}	resistenza di progetto a taglio espresso in [kN]. Per elementi con armature trasversali resistenti al taglio (A _{sw} >0.0) V _{Rd} =min(V _{Rcd} , V _{Rsd}).
T	taglio agente espressa in [kN]
FS	fattore di sicurezza (rapporto tra sollecitazione resistente e sollecitazione agente)

Paramento

n°	B	H	A _{sw}	cotgθ	V _{Rcd}	V _{Rsd}	V _{Rd}	T	FS
	[m]	[m]	[mq]		[kN]	[kN]	[kN]	[kN]	
21	1,00	0,30	0,000000	--	0,00	0,00	159,52	24,55	6.496

Fondazione

n°	B [m]	H [m]	A _{sw} [mq]	cotθ	V _{Rcd} [kN]	V _{Rsd} [kN]	V _{Rd} [kN]	T [kN]	FS
4	1,00	0,40	0,000000	--	0,00	0,00	164,96	-30,79	5.357
5	1,00	0,40	0,000000	--	0,00	0,00	164,96	-27,02	6.105

Verifica delle tensioni

Simbologia adottata

n°	indice sezione
Y	ordinata sezione, espressa in [m]
B	larghezza sezione, espressa in [m]
H	altezza sezione, espressa in [m]
A _{fi}	area ferri inferiori, espressa in [mq]
A _{fs}	area ferri superiori, espressa in [mq]
M	momento agente, espressa in [kNm]
N	sforzo normale agente, espressa in [kN]
σ _c	tensione di compressione nel cls, espressa in [N/mmq]
σ _{fi}	tensione nei ferri inferiori, espressa in [N/mmq]
σ _{fs}	tensione nei ferri superiori, espressa in [N/mmq]

Combinazioni SLER

Paramento

Tensione massima di compressione nel calcestruzzo	19,920	[N/mmq]
Tensione massima di trazione dell'acciaio	360,000	[N/mmq]

n°	B [m]	H [m]	A _{fi} [mq]	A _{fs} [mq]	M [kNm]	N [kN]	σ _c [N/mmq]	σ _{fi} [N/mmq]	σ _{fs} [N/mmq]
21	1,00	0,30	0,000770	0,000770	16,77	21,00	2,300 (26)	84,510 (26)	6,579 (26)

Fondazione

Tensione massima di compressione nel calcestruzzo	14,940	[N/mmq]
Tensione massima di trazione dell'acciaio	360,000	[N/mmq]

n°	B [m]	H [m]	A _{fi} [mq]	A _{fs} [mq]	M [kNm]	N [kN]	σ _c [N/mmq]	σ _{fi} [N/mmq]	σ _{fs} [N/mmq]
4	1,00	0,40	0,000770	0,000770	2,85	0,00	0,221 (26)	11,716 (26)	0,822 (26)
5	1,00	0,40	0,000770	0,000770	-5,39	0,00	0,420 (29)	1,558 (29)	22,204 (29)

Combinazioni SLEF

Paramento

Tensione massima di compressione nel calcestruzzo	33,200	[N/mmq]
Tensione massima di trazione dell'acciaio	450,000	[N/mmq]

n°	B [m]	H [m]	A _{fi} [mq]	A _{fs} [mq]	M [kNm]	N [kN]	σ _c [N/mmq]	σ _{fi} [N/mmq]	σ _{fs} [N/mmq]
21	1,00	0,30	0,000770	0,000770	14,52	21,00	1,988 (27)	71,323 (27)	6,094 (27)

Fondazione

Tensione massima di compressione nel calcestruzzo	24,900	[N/mmq]
Tensione massima di trazione dell'acciaio	450,000	[N/mmq]

n°	B [m]	H [m]	A _{fi} [mq]	A _{fs} [mq]	M [kNm]	N [kN]	σ _c [N/mmq]	σ _{fi} [N/mmq]	σ _{fs} [N/mmq]
4	1,00	0,40	0,000770	0,000770	2,64	0,00	0,205 (27)	10,861 (27)	0,762 (27)
5	1,00	0,40	0,000770	0,000770	-4,24	0,00	0,330 (30)	1,224 (30)	17,448 (30)

Combinazioni SLEQ

Paramento

Tensione massima di compressione nel calcestruzzo	14,940	[N/mmq]
Tensione massima di trazione dell'acciaio	450,000	[N/mmq]

n°	B [m]	H [m]	A _{fi} [mq]	A _{fs} [mq]	M [kNm]	N [kN]	σ _c [N/mmq]	σ _{fi} [N/mmq]	σ _{fs} [N/mmq]
21	1,00	0,30	0,000770	0,000770	10,43	21,14	1,418 (32)	47,239 (32)	5,201 (32)

Fondazione

Tensione massima di compressione nel calcestruzzo	11,205	[N/mmq]
Tensione massima di trazione dell'acciaio	450,000	[N/mmq]

n°	B [m]	H [m]	Afi [mq]	Afs [mq]	M [kNm]	N [kN]	σ_c [N/mm ²]	σ_{fi} [N/mm ²]	σ_{fs} [N/mm ²]
4	1,00	0,40	0,000770	0,000770	2,37	0,00	0,185 (32)	9,773 (32)	0,686 (32)
5	1,00	0,40	0,000770	0,000770	-3,50	0,00	0,273 (33)	1,012 (33)	14,422 (33)

Verifica a fessurazione

Simbologia adottata

n°	indice sezione
Y	ordinata sezione espressa in [m]
B	larghezza sezione espresso in [m]
H	altezza sezione espressa in [m]
Af	area ferri zona tesa espresso in [mq]
Aeff	area efficace espressa in [mq]
M	momento agente espressa in [kNm]
Mpf	momento di formazione/apertura fessure espressa in [kNm]
ϵ	deformazione espresso in %
Sm	spaziatura tra le fessure espressa in [mm]
w	apertura delle fessure espressa in [mm]

Combinazioni SLEF

Paramento

Apertura limite fessure $w_{lim}=0.30$

n°	B [m]	H [m]	Af [mq]	Aeff [mq]	M [kNm]	Mpf [kNm]	ϵ [%]	Sm [mm]	w [mm]
21	1,00	0,30	0,000770	0,078171	14,52	51,67	0,000000	0,00	0,000 (27)

Fondazione

Apertura limite fessure $w_{lim}=0.30$

n°	B [m]	H [m]	Af [mq]	Aeff [mq]	M [kNm]	Mpf [kNm]	ϵ [%]	Sm [mm]	w [mm]
4	1,00	0,40	0,000770	0,108083	2,64	74,26	0,000000	0,00	0,000 (27)
5	1,00	0,40	0,000770	0,108083	-3,84	-74,26	0,000000	0,00	0,000 (27)

Combinazioni SLEQ

Paramento

Apertura limite fessure $w_{lim}=0.20$

n°	B [m]	H [m]	Af [mq]	Aeff [mq]	M [kNm]	Mpf [kNm]	ϵ [%]	Sm [mm]	w [mm]
21	1,00	0,30	0,000770	0,078171	9,58	51,67	0,000000	0,00	0,000 (28)

Fondazione

Apertura limite fessure $w_{lim}=0.20$

n°	B [m]	H [m]	Af [mq]	Aeff [mq]	M [kNm]	Mpf [kNm]	ϵ [%]	Sm [mm]	w [mm]
4	1,00	0,40	0,000770	0,108083	2,18	74,26	0,000000	0,00	0,000 (28)
5	1,00	0,40	0,000770	0,108083	-1,59	-74,26	0,000000	0,00	0,000 (28)

10.5. Sezione tipo 5 - $H < 1.00\text{m}$

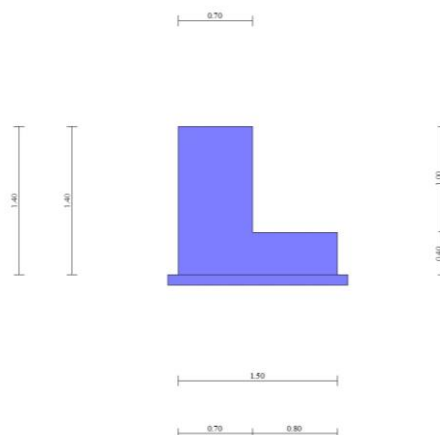


Figura 10.5 – Geometria sezione di calcolo

10.5.1. Carichi

Condizioni di carico

Simbologia adottata

Carichi verticali positivi verso il basso.

Carichi orizzontali positivi verso sinistra.

Momento positivo senso antiorario.

X	Ascissa del punto di applicazione del carico concentrato espressa in [m]
F _x	Componente orizzontale del carico concentrato espressa in [kN]
F _y	Componente verticale del carico concentrato espressa in [kN]
M	Momento espresso in [kNm]
X _i	Ascissa del punto iniziale del carico ripartito espressa in [m]
X _f	Ascissa del punto finale del carico ripartito espressa in [m]
Q _i	Intensità del carico per $x=X_i$ espressa in [kN]
Q _f	Intensità del carico per $x=X_f$ espressa in [kN]

Condizione n° 1 (Variabile 1) - VARIABILE

Coeff. di combinazione $\Psi_0=0.75 - \Psi_1=0.75 - \Psi_2=0.20$

Indice di raggruppamento 1

Carichi sul terreno

n°	Tipo	X [m]	F _x [kN]	F _y [kN]	M [kNm]	X _i [m]	X _f [m]	Q _i [kN]	Q _f [kN]
1	Distribuito					0,00	8,00	20,0000	20,0000

Condizione n° 2 (Urto) - ECCEZIONALE

Carichi sul muro

n°	Tipo	Dest	X; Y [m]	F _x [kN]	F _y [kN]	M [kNm]	X _i [m]	X _f [m]	Q _i [kN]	Q _f [kN]
1	Concentrato	Paramento	0,00; 0,00	10,0000	0,0000	10,0000				

Condizione n° 3 (Variabile 2) - VARIABILE

Coeff. di combinazione $\Psi_0=0.75 - \Psi_1=0.75 - \Psi_2=0.00$

Indice di raggruppamento 2

Carichi sul terreno

n°	Tipo	X [m]	F _x [kN]	F _y [kN]	M [kNm]	X _i [m]	X _f [m]	Q _i [kN]	Q _f [kN]
1	Distribuito					0,80	8,00	20,0000	20,0000

Condizione n° 4 (Barriera) - PERMANENTE NS

Carichi sul muro

n°	Tipo	Dest	X; Y [m]	F _x [kN]	F _y [kN]	M [kNm]	X _i [m]	X _f [m]	Q _i [kN]	Q _f [kN]
1	Concentrato	Paramento	-0,35; 0,00	0,0000	1,0000	0,0000				

10.5.2. Verifiche geotecniche

Quadro riassuntivo coeff. di sicurezza calcolati

Simbologia adottata

Cmb	Indice/Tipo combinazione
S	Sisma (H: componente orizzontale, V: componente verticale)
FS _{SCO}	Coeff. di sicurezza allo scorrimento
FS _{RIB}	Coeff. di sicurezza al ribaltamento
FS _{QLIM}	Coeff. di sicurezza a carico limite
FS _{STAB}	Coeff. di sicurezza a stabilità globale
FS _{HYD}	Coeff. di sicurezza a sifonamento
FS _{UPL}	Coeff. di sicurezza da sollevamento

Cmb	Sismica	FS _{SCO}	FS _{RIB}	FS _{QLIM}	FS _{STAB}	FS _{HYD}	FS _{UPL}
1 - STR (A1-M1-R3)		3.347		4.484			
2 - STR (A1-M1-R3)		2.338		4.973			
3 - STR (A1-M1-R3)	H + V	4.641		7.538			
4 - STR (A1-M1-R3)	H + V	5.372		8.532			
5 - STR (A1-M1-R3)	H - V	4.608		7.738			
6 - STR (A1-M1-R3)	H - V	5.329		8.760			
7 - STR (A1-M1-R3)		3.949		4.137			
8 - STR (A1-M1-R3)		3.539		4.372			
9 - STR (A1-M1-R3)		3.757		4.246			
10 - STR (A1-M1-R3)		2.940		4.716			
11 - STR (A1-M1-R3)		2.530		4.912			
12 - STR (A1-M1-R3)		2.748		4.816			
13 - GEO (A2-M2-R2)					1.455		
14 - GEO (A2-M2-R2)					1.540		
15 - GEO (A2-M2-R2)	H + V				2.354		
16 - GEO (A2-M2-R2)	H + V				2.601		
17 - GEO (A2-M2-R2)	H - V				2.338		
18 - GEO (A2-M2-R2)	H - V				2.582		
19 - EQU (A1-M1-R3)			7.731				
20 - EQU (A1-M1-R3)			4.841				
21 - EQU (A1-M1-R3)	H + V		8.934				
22 - EQU (A1-M1-R3)	H + V		10.325				
23 - EQU (A1-M1-R3)	H - V		7.580				
24 - EQU (A1-M1-R3)	H - V		8.540				
25 - ECC		2.196	1.546	4.810	2.558		
36 - HYD						100.000	
37 - UPL							100.000
38 - HYD						100.000	
39 - UPL							100.000

Cedimenti

Simbologia adottata

Ic	Indice combinazione
X, Y	Punto di calcolo del cedimento, espressa in [m]
w	Cedimento, espressa in [m]
dw	Cedimento differenziale, espressa in [m]

Ic	X; Y [m]	w [m]	dw [m]
26	-0,70; -1,40	0,00797	0,00000
26	0,05; -1,40	0,01032	0,00234
26	0,80; -1,40	0,00807	0,00010

10.5.3. Verifiche strutturali

Sollecitazioni

Elementi calcolati a trave

Simbologia adottata

n°	Indice della sezione
X	Posizione della sezione, espresso in [m]
N	Sforzo normale, espresso in [kN]. Positivo se di compressione.
T	Taglio, espresso in [kN]. Positivo se diretto da monte verso valle
M	Momento, espresso in [kNm]. Positivo se tende le fibre contro terra (a monte)

La posizione delle sezioni di verifica fanno riferimento al sistema di riferimento globale la cui origine è nello spigolo in alto a destra del paramento.

Paramento

n°	X	N _{min}	N _{max}	T _{min}	T _{max}	M _{min}	M _{max}
	[m]	[kN]	[kN]	[kN]	[kN]	[kNm]	[kNm]
11	-1,00	18,24	24,25	2,13	13,03	0,71	21,16

Fondazione

n°	X	N _{min}	N _{max}	T _{min}	T _{max}	M _{min}	M _{max}
	[m]	[kN]	[kN]	[kN]	[kN]	[kNm]	[kNm]
1	0,00	0,00	0,00	-25,40	1,07	-10,52	0,02

Verifiche strutturali

Verifiche a flessione

Elementi calcolati a trave

Simbologia adottata

n°	indice sezione
B	larghezza sezione espresso in [m]
H	altezza sezione espressa in [m]
A _{fi}	area ferri inferiori espresso in [mq]
A _{fs}	area ferri superiori espressa in [mq]
M	momento agente espressa in [kNm]
N	sforzo normale agente espressa in [kN]
M _{rd}	momento resistente espresso in [kNm]
N _{rd}	sforzo normale resistente espresso in [kN]
FS	fattore di sicurezza (rapporto tra sollecitazione ultima e sollecitazione agente)

Paramento

n°	B	H	A _{fi}	A _{fs}	M	N	M _{rd}	N _{rd}	FS
	[m]	[m]	[mq]	[mq]	[kNm]	[kN]	[kNm]	[kN]	
11	1,00	0,70	0,000770	0,000770	21,16	18,50	218,58	18,50	10.329

Fondazione

n°	B	H	A _{fi}	A _{fs}	M	N	M _{rd}	N _{rd}	FS
	[m]	[m]	[mq]	[mq]	[kNm]	[kN]	[kNm]	[kN]	
1	1,00	0,40	0,000770	0,000770	-10,52	0,00	-110,57	0,00	10.508

Verifiche a taglio

Simbologia adottata

n° (o Is)	indice sezione
Y	ordinata sezione espressa in [m]
B	larghezza sezione espresso in [m]
H	altezza sezione espressa in [m]
A _{sw}	area ferri a taglio espresso in [mq]
cotθ	inclinazione delle bielle compresse, θ inclinazione dei puntoni di calcestruzzo
V _{Rcd}	resistenza di progetto a 'taglio compressione' espressa in [kN]
V _{Rsd}	resistenza di progetto a 'taglio trazione' espressa in [kN]
V _{rd}	resistenza di progetto a taglio espresso in [kN]. Per elementi con armature trasversali resistenti al taglio (A _{sw} >0.0) V _{rd} =min(V _{Rcd} , V _{Rsd}).
T	taglio agente espressa in [kN]
FS	fattore di sicurezza (rapporto tra sollecitazione resistente e sollecitazione agente)

Paramento

n°	B	H	A _{sw}	cotθ	V _{Rcd}	V _{Rsd}	V _{rd}	T	FS
	[m]	[m]	[mq]		[kN]	[kN]	[kN]	[kN]	
11	1,00	0,70	0,000000	--	0,00	0,00	259,35	13,03	19.902

Fondazione

n°	B	H	A _{sw}	cotθ	V _{Rcd}	V _{Rsd}	V _{rd}	T	FS
	[m]	[m]	[mq]		[kN]	[kN]	[kN]	[kN]	
1	1,00	0,40	0,000000	--	0,00	0,00	164,96	-25,40	6.495

Verifica delle tensioni

Simbologia adottata

n°	indice sezione
Y	ordinata sezione, espressa in [m]
B	larghezza sezione, espresso in [m]
H	altezza sezione, espressa in [m]
A _{fi}	area ferri inferiori, espresso in [mq]
A _{fs}	area ferri superiori, espressa in [mq]
M	momento agente, espressa in [kNm]
N	sforzo normale agente, espressa in [kN]
σ _c	tensione di compressione nel cls, espressa in [N/mmq]
σ _{fi}	tensione nei ferri inferiori, espressa in [N/mmq]

ofs tensione nei ferri superiori, espressa in [N/mm²]

Combinazioni SLER

Paramento

Tensione massima di compressione nel calcestruzzo 19,920 [N/mm²]
Tensione massima di trazione dell'acciaio 360,000 [N/mm²]

n°	B	H	Afi	Afs	M	N	σc	σfi	σfs
	[m]	[m]	[mq]	[mq]	[kNm]	[kN]	[N/mm ²]	[N/mm ²]	[N/mm ²]
11	1,00	0,70	0,000770	0,000770	0,73	18,50	0,061 (26)	0,279 (29)	0,824 (26)

Fondazione

Tensione massima di compressione nel calcestruzzo 14,940 [N/mm²]
Tensione massima di trazione dell'acciaio 360,000 [N/mm²]

n°	B	H	Afi	Afs	M	N	σc	σfi	σfs
	[m]	[m]	[mq]	[mq]	[kNm]	[kN]	[N/mm ²]	[N/mm ²]	[N/mm ²]
1	1,00	0,40	0,000770	0,000770	-0,70	0,00	0,055 (29)	0,203 (29)	2,894 (29)

Combinazioni SLEF

Paramento

Tensione massima di compressione nel calcestruzzo 33,200 [N/mm²]
Tensione massima di trazione dell'acciaio 450,000 [N/mm²]

n°	B	H	Afi	Afs	M	N	σc	σfi	σfs
	[m]	[m]	[mq]	[mq]	[kNm]	[kN]	[N/mm ²]	[N/mm ²]	[N/mm ²]
11	1,00	0,70	0,000770	0,000770	0,71	18,50	0,053 (27)	0,281 (30)	0,729 (27)

Fondazione

Tensione massima di compressione nel calcestruzzo 24,900 [N/mm²]
Tensione massima di trazione dell'acciaio 450,000 [N/mm²]

n°	B	H	Afi	Afs	M	N	σc	σfi	σfs
	[m]	[m]	[mq]	[mq]	[kNm]	[kN]	[N/mm ²]	[N/mm ²]	[N/mm ²]
1	1,00	0,40	0,000770	0,000770	-0,52	0,00	0,041 (30)	0,151 (30)	2,150 (30)

Combinazioni SLEQ

Paramento

Tensione massima di compressione nel calcestruzzo 14,940 [N/mm²]
Tensione massima di trazione dell'acciaio 450,000 [N/mm²]

n°	B	H	Afi	Afs	M	N	σc	σfi	σfs
	[m]	[m]	[mq]	[mq]	[kNm]	[kN]	[N/mm ²]	[N/mm ²]	[N/mm ²]
11	1,00	0,70	0,000770	0,000770	1,39	18,66	0,042 (32)	0,281 (31)	0,587 (32)

Fondazione

Tensione massima di compressione nel calcestruzzo 11,205 [N/mm²]
Tensione massima di trazione dell'acciaio 450,000 [N/mm²]

n°	B	H	Afi	Afs	M	N	σc	σfi	σfs
	[m]	[m]	[mq]	[mq]	[kNm]	[kN]	[N/mm ²]	[N/mm ²]	[N/mm ²]
1	1,00	0,40	0,000770	0,000770	-0,57	0,00	0,044 (33)	0,165 (33)	2,348 (33)

Verifica a fessurazione

Simbologia adottata

n°	indice sezione
Y	ordinata sezione espressa in [m]
B	larghezza sezione espressa in [m]
H	altezza sezione espressa in [m]
Af	area ferri zona tesa espressa in [mq]
Aeff	area efficace espressa in [mq]
M	momento agente espressa in [kNm]
Mpf	momento di formazione/apertura fessure espressa in [kNm]
ε	deformazione espressa in %
Sm	spaziatura tra le fessure espressa in [mm]
w	apertura delle fessure espressa in [mm]

Combinazioni SLEF

Paramento

Apertura limite fessure $w_{lim}=0.30$

n°	B	H	Af	Aeff	M	Mpf	ϵ	Sm	w
	[m]	[m]	[mq]	[mq]	[kNm]	[kNm]	[%]	[mm]	[mm]
11	1,00	0,70	0,000770	0,142500	2,40	272,87	0,000000	0,00	0,000 (27)

Fondazione

Apertura limite fessure $w_{lim}=0.30$

n°	B	H	Af	Aeff	M	Mpf	ϵ	Sm	w
	[m]	[m]	[mq]	[mq]	[kNm]	[kNm]	[%]	[mm]	[mm]
1	1,00	0,40	0,000770	0,108083	-0,45	-74,26	0,000000	0,00	0,000 (27)

Combinazioni SLEQ

Paramento

Apertura limite fessure $w_{lim}=0.20$

n°	B	H	Af	Aeff	M	Mpf	ϵ	Sm	w
	[m]	[m]	[mq]	[mq]	[kNm]	[kNm]	[%]	[mm]	[mm]
11	1,00	0,70	0,000770	0,142500	1,16	272,86	0,000000	0,00	0,000 (28)

Fondazione

Apertura limite fessure $w_{lim}=0.20$

n°	B	H	Af	Aeff	M	Mpf	ϵ	Sm	w
	[m]	[m]	[mq]	[mq]	[kNm]	[kNm]	[%]	[mm]	[mm]
1	1,00	0,40	0,000770	0,108083	-0,11	-74,26	0,000000	0,00	0,000 (28)

10.6. Sezione tipo 6 - $2.00 < H < 2.80\text{m}$ (Sez. L)

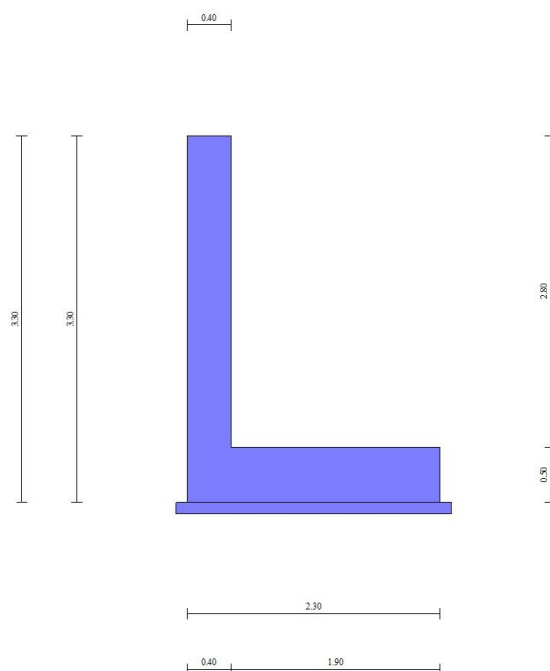


Figura 10.6 – Geometria sezione di calcolo

10.6.1. Carichi

Condizioni di carico

Simbologia adottata

Carichi verticali positivi verso il basso.

Carichi orizzontali positivi verso sinistra.

Momento positivo senso antiorario.

X	Ascissa del punto di applicazione del carico concentrato espressa in [m]
F _x	Componente orizzontale del carico concentrato espressa in [kN]
F _y	Componente verticale del carico concentrato espressa in [kN]
M	Momento espresso in [kNm]
X _i	Ascissa del punto iniziale del carico ripartito espressa in [m]
X _f	Ascissa del punto finale del carico ripartito espressa in [m]
Q _i	Intensità del carico per x=X _i espressa in [kN]
Q _f	Intensità del carico per x=X _f espressa in [kN]

Condizione n° 1 (Variabile 1) - VARIABILE

Coeff. di combinazione $\Psi_0=0.75 - \Psi_1=0.75 - \Psi_2=0.20$

Indice di raggruppamento 1

Carichi sul terreno

n°	Tipo	X [m]	F _x [kN]	F _y [kN]	M [kNm]	X _i [m]	X _f [m]	Q _i [kN]	Q _f [kN]
1	Distribuito					0,00	8,00	20,0000	20,0000

Condizione n° 2 (Urto) - ECCEZIONALE

Carichi sul muro

n°	Tipo	Dest	X; Y [m]	F _x [kN]	F _y [kN]	M [kNm]	X _i [m]	X _f [m]	Q _i [kN]	Q _f [kN]
1	Concentrato	Paramento	0,00; 0,00	10,0000	0,0000	10,0000				

Condizione n° 3 (Variabile 2) - VARIABILE

Coeff. di combinazione $\Psi_0=0.75 - \Psi_1=0.75 - \Psi_2=0.00$

Indice di raggruppamento 2

Carichi sul terreno

n°	Tipo	X [m]	F _x [kN]	F _y [kN]	M [kNm]	X _i [m]	X _f [m]	Q _i [kN]	Q _f [kN]
1	Distribuito					1,80	8,00	20,0000	20,0000

Condizione n° 4 (Barriera) - PERMANENTE NS

Carichi sul muro

n°	Tipo	Dest	X; Y [m]	F _x [kN]	F _y [kN]	M [kNm]	X _i [m]	X _f [m]	Q _i [kN]	Q _f [kN]
1	Concentrato	Paramento	-0,40; 0,00	0,0000	6,0000	1,2000				

10.6.2. Verifiche geotecniche

Quadro riassuntivo coeff. di sicurezza calcolati

Simbologia adottata

Cmb	Indice/Tipo combinazione
S	Sisma (H: componente orizzontale, V: componente verticale)
FS _{SCO}	Coeff. di sicurezza allo scorrimento
FS _{RIB}	Coeff. di sicurezza al ribaltamento
FS _{QLIM}	Coeff. di sicurezza a carico limite
FS _{STAB}	Coeff. di sicurezza a stabilità globale
FS _{HYD}	Coeff. di sicurezza a sifonamento
FS _{SUPL}	Coeff. di sicurezza a sollevamento

Cmb	Sismica	FS _{SCO}	FS _{RIB}	FS _{QLIM}	FS _{STAB}	FS _{HYD}	FS _{SUPL}
1 - STR (A1-M1-R3)		2.938		2.793			
2 - STR (A1-M1-R3)		2.295		2.939			
3 - STR (A1-M1-R3)	H + V	3.476		4.098			
4 - STR (A1-M1-R3)	H + V	3.685		4.444			
5 - STR (A1-M1-R3)	H - V	3.459		4.204			
6 - STR (A1-M1-R3)	H - V	3.665		4.560			
7 - STR (A1-M1-R3)		3.503		2.607			
8 - STR (A1-M1-R3)		3.300		2.675			
9 - STR (A1-M1-R3)		3.141		2.728			
10 - STR (A1-M1-R3)		2.859		2.817			

Cmb	Sismica	FS _{SCO}	FS _{RIB}	FS _{QLIM}	FS _{STAB}	FS _{HYD}	FS _{SUP}
11 - STR (A1-M1-R3)		2.656		2.873			
12 - STR (A1-M1-R3)		2.498		2.909			
13 - GEO (A2-M2-R2)					1.324		
14 - GEO (A2-M2-R2)					1.341		
15 - GEO (A2-M2-R2)	H + V				1.812		
16 - GEO (A2-M2-R2)	H + V				1.880		
17 - GEO (A2-M2-R2)	H - V				1.800		
18 - GEO (A2-M2-R2)	H - V				1.867		
19 - EQU (A1-M1-R3)			4.242				
20 - EQU (A1-M1-R3)			3.225				
21 - EQU (A1-M1-R3)	H + V		4.554				
22 - EQU (A1-M1-R3)	H + V		4.869				
23 - EQU (A1-M1-R3)	H - V		4.196				
24 - EQU (A1-M1-R3)	H - V		4.460				
25 - ECC		3.156	2.832	3.944	1.928		
36 - HYD						100.000	
37 - UPL							100.000
38 - HYD						100.000	
39 - UPL							100.000

Cedimenti

Simbologia adottata

Ic	Indice combinazione
X, Y	Punto di calcolo del cedimento, espressa in [m]
w	Cedimento, espressa in [m]
dw	Cedimento differenziale, espressa in [m]

Ic	X; Y [m]	w [m]	dw [m]
26	-0,40; -3,30	0,02338	0,00449
26	0,75; -3,30	0,02806	0,00917
26	1,90; -3,30	0,01889	0,00000

10.6.3. Verifiche strutturali

Sollecitazioni

Elementi calcolati a trave

Simbologia adottata

n°	Indice della sezione
X	Posizione della sezione, espresso in [m]
N	Sforzo normale, espresso in [kN]. Positivo se di compressione.
T	Taglio, espresso in [kN]. Positivo se diretto da monte verso valle
M	Momento, espresso in [kNm]. Positivo se tende le fibre contro terra (a monte)

La posizione delle sezioni di verifica fanno riferimento al sistema di riferimento globale la cui origine è nello spigolo in alto a destra del paramento.

Paramento

n°	X [m]	N _{min} [kN]	N _{max} [kN]	T _{min} [kN]	T _{max} [kN]	M _{min} [kNm]	M _{max} [kNm]
29	-2,80	33,59	45,40	16,72	40,58	18,01	59,53

Fondazione

n°	X [m]	N _{min} [kN]	N _{max} [kN]	T _{min} [kN]	T _{max} [kN]	M _{min} [kNm]	M _{max} [kNm]
1	0,00	0,00	0,00	-27,70	8,92	-56,83	-8,38
4	0,30	0,00	0,00	-35,40	0,07	-49,49	-9,55
10	0,90	0,00	0,00	-42,08	-8,39	-26,78	-6,54

Verifiche strutturali

Verifiche a flessione

Elementi calcolati a trave

Simbologia adottata

n°	indice sezione
B	larghezza sezione espresso in [m]
H	altezza sezione espressa in [m]
A _{fi}	area ferri inferiori espresso in [mq]
A _{fs}	area ferri superiori espressa in [mq]
M	momento agente espressa in [kNm]
N	sforzo normale agente espressa in [kN]
M _{rd}	momento resistente espresso in [kNm]
N _{rd}	sforzo normale resistente espresso in [kN]
FS	fattore di sicurezza (rapporto tra sollecitazione ultima e sollecitazione agente)

Paramento

n°	B [m]	H [m]	Afi [mq]	Afs [mq]	M [kNm]	N [kN]	Mrd [kNm]	Nrd [kN]	FS
29	1,00	0,40	0,000565	0,001005	59,53	34,00	149,71	34,00	2.515

Fondazione

n°	B [m]	H [m]	Afi [mq]	Afs [mq]	M [kNm]	N [kN]	Mrd [kNm]	Nrd [kN]	FS
1	1,00	0,50	0,001005	0,001005	-56,83	0,00	-159,46	0,00	2.806
4	1,00	0,50	0,001005	0,001005	-49,49	0,00	-159,46	0,00	3.222
10	1,00	0,50	0,001005	0,001005	-26,78	0,00	-159,46	0,00	5.955

Verifiche a taglio

Simbologia adottata

n° (o Is)	indice sezione
Y	ordinata sezione espressa in [m]
B	larghezza sezione espresso in [m]
H	altezza sezione espressa in [m]
A _{sw}	area ferri a taglio espresso in [mq]
cotθ	inclinazione delle bielle compresse, θ inclinazione dei puntoni di calcestruzzo
V _{Rcd}	resistenza di progetto a 'taglio compressione' espressa in [kN]
V _{Rsd}	resistenza di progetto a 'taglio trazione' espressa in [kN]
V _{Rd}	resistenza di progetto a taglio espresso in [kN]. Per elementi con armature trasversali resistenti al taglio (A _{sw} >0.0) V _{Rd} =min(V _{Rcd} , V _{Rsd}).
T	taglio agente espressa in [kN]
FS	fattore di sicurezza (rapporto tra sollecitazione resistente e sollecitazione agente)

Paramento

n°	B [m]	H [m]	A _{sw} [mq]	cotθ	V _{Rcd} [kN]	V _{Rsd} [kN]	V _{Rd} [kN]	T [kN]	FS
29	1,00	0,40	0,000000	--	0,00	0,00	187,64	40,58	4.624

Fondazione

n°	B [m]	H [m]	A _{sw} [mq]	cotθ	V _{Rcd} [kN]	V _{Rsd} [kN]	V _{Rd} [kN]	T [kN]	FS
1	1,00	0,50	0,000000	--	0,00	0,00	202,37	-27,70	7.306
4	1,00	0,50	0,000000	--	0,00	0,00	202,37	-35,40	5.717
9	1,00	0,50	0,000000	--	0,00	0,00	202,37	-42,21	4.795
10	1,00	0,50	0,000000	--	0,00	0,00	202,37	-42,08	4.809

Verifica delle tensioni

Simbologia adottata

n°	indice sezione
Y	ordinata sezione, espressa in [m]
B	larghezza sezione, espresso in [m]
H	altezza sezione, espressa in [m]
Afi	area ferri inferiori, espresso in [mq]
Afs	area ferri superiori, espressa in [mq]
M	momento agente, espressa in [kNm]
N	sforzo normale agente, espressa in [kN]
σ _c	tensione di compressione nel cls, espressa in [N/mmq]
σ _{fi}	tensione nei ferri inferiori, espressa in [N/mmqa]
σ _{fs}	tensione nei ferri superiori, espressa in [N/mmqa]

Combinazioni SLER

Paramento

Tensione massima di compressione nel calcestruzzo	19,920	[N/mmqa]
Tensione massima di trazione dell'acciaio	360,000	[N/mmqa]

n°	B [m]	H [m]	Afi [mq]	Afs [mq]	M [kNm]	N [kN]	σ _c [N/mmqa]	σ _{fi} [N/mmqa]	σ _{fs} [N/mmqa]
29	1,00	0,40	0,000565	0,001005	35,60	34,00	2,538 (26)	96,706 (26)	15,217 (26)

Fondazione

Tensione massima di compressione nel calcestruzzo	14,940	[N/mmqa]
Tensione massima di trazione dell'acciaio	360,000	[N/mmqa]

n°	B [m]	H [m]	Afi [mq]	Afs [mq]	M [kNm]	N [kN]	σ _c [N/mmqa]	σ _{fi} [N/mmqa]	σ _{fs} [N/mmqa]
1	1,00	0,50	0,001005	0,001005	-19,06	0,00	0,865 (29)	5,158 (29)	46,570 (29)
2	1,00	0,50	0,001005	0,001005	-19,61	0,00	0,890 (29)	5,307 (29)	47,912 (29)
3	1,00	0,50	0,001005	0,001005	-19,73	0,00	0,895 (29)	5,340 (29)	48,215 (29)
4	1,00	0,50	0,001005	0,001005	-19,47	0,00	0,884 (29)	5,271 (29)	47,589 (29)

Combinazioni SLEF

Paramento

Tensione massima di compressione nel calcestruzzo 33,200 [N/mm²]
Tensione massima di trazione dell'acciaio 450,000 [N/mm²]

n°	B	H	Afi	Afs	M	N	σc	σfi	σfs
	[m]	[m]	[mq]	[mq]	[kNm]	[kN]	[N/mm ²]	[N/mm ²]	[N/mm ²]
29	1,00	0,40	0,000565	0,001005	31,20	34,00	2,225 (27)	82,713 (27)	13,691 (27)

Fondazione

Tensione massima di compressione nel calcestruzzo 24,900 [N/mm²]
Tensione massima di trazione dell'acciaio 450,000 [N/mm²]

n°	B	H	Afi	Afs	M	N	σc	σfi	σfs
	[m]	[m]	[mq]	[mq]	[kNm]	[kN]	[N/mm ²]	[N/mm ²]	[N/mm ²]
1	1,00	0,50	0,001005	0,001005	-16,39	0,00	0,744 (30)	4,436 (30)	40,050 (30)
2	1,00	0,50	0,001005	0,001005	-16,97	0,00	0,770 (30)	4,592 (30)	41,459 (30)
3	1,00	0,50	0,001005	0,001005	-17,15	0,00	0,778 (30)	4,643 (30)	41,918 (30)
4	1,00	0,50	0,001005	0,001005	-16,99	0,00	0,771 (30)	4,599 (30)	41,524 (30)

Combinazioni SLEQ

Paramento

Tensione massima di compressione nel calcestruzzo 14,940 [N/mm²]
Tensione massima di trazione dell'acciaio 450,000 [N/mm²]

n°	B	H	Afi	Afs	M	N	σc	σfi	σfs
	[m]	[m]	[mq]	[mq]	[kNm]	[kN]	[N/mm ²]	[N/mm ²]	[N/mm ²]
29	1,00	0,40	0,000565	0,001005	23,47	34,26	1,673 (32)	58,038 (32)	11,000 (32)

Fondazione

Tensione massima di compressione nel calcestruzzo 11,205 [N/mm²]
Tensione massima di trazione dell'acciaio 450,000 [N/mm²]

n°	B	H	Afi	Afs	M	N	σc	σfi	σfs
	[m]	[m]	[mq]	[mq]	[kNm]	[kN]	[N/mm ²]	[N/mm ²]	[N/mm ²]
1	1,00	0,50	0,001005	0,001005	-16,55	0,00	0,751 (33)	4,480 (33)	40,451 (33)
2	1,00	0,50	0,001005	0,001005	-16,78	0,00	0,761 (33)	4,542 (33)	41,009 (33)
3	1,00	0,50	0,001005	0,001005	-16,68	0,00	0,757 (33)	4,516 (33)	40,775 (33)
4	1,00	0,50	0,001005	0,001005	-16,30	0,00	0,740 (33)	4,412 (33)	39,836 (33)

Verifica a fessurazione

Simbologia adottata

n°	indice sezione
Y	ordinata sezione espressa in [m]
B	larghezza sezione espressa in [m]
H	altezza sezione espressa in [m]
Af	area ferri zona tesa espressa in [mq]
Aeff	area efficace espressa in [mq]
M	momento agente espressa in [kNm]
Mpf	momento di formazione/apertura fessure espressa in [kNm]
ε	deformazione espressa in %
Sm	spaziatura tra le fessure espressa in [mm]
w	apertura delle fessure espressa in [mm]

Combinazioni SLEF

Paramento

Apertura limite fessure $w_{lim}=0.30$

n°	B	H	Af	Aeff	M	Mpf	ε	Sm	w
	[m]	[m]	[mq]	[mq]	[kNm]	[kNm]	[%]	[mm]	[mm]
29	1,00	0,40	0,001005	0,103566	31,20	93,31	0,000000	0,00	0,000 (27)

Fondazione

Apertura limite fessure $w_{lim}=0.30$

n°	B	H	Af	Aeff	M	Mpf	ε	Sm	w
	[m]	[m]	[mq]	[mq]	[kNm]	[kNm]	[%]	[mm]	[mm]
1	1,00	0,50	0,001005	0,134570	-15,88	-117,96	0,000000	0,00	0,000 (27)
2	1,00	0,50	0,001005	0,134570	-16,15	-117,96	0,000000	0,00	0,000 (27)

n°	B	H	Af	Aeff	M	Mpf	ε	Sm	w
	[m]	[m]	[mq]	[mq]	[kNm]	[kNm]	[%]	[mm]	[mm]
3	1,00	0,50	0,001005	0,134570	-16,10	-117,96	0,000000	0,00	0,000 (27)
4	1,00	0,50	0,001005	0,134570	-15,76	-117,96	0,000000	0,00	0,000 (27)

Combinazioni SLEQ

Paramento

Apertura limite fessure $w_{lim}=0.20$

n°	B	H	Af	Aeff	M	Mpf	ε	Sm	w
	[m]	[m]	[mq]	[mq]	[kNm]	[kNm]	[%]	[mm]	[mm]
29	1,00	0,40	0,001005	0,103566	21,53	93,31	0,000000	0,00	0,000 (28)

Fondazione

Apertura limite fessure $w_{lim}=0.20$

n°	B	H	Af	Aeff	M	Mpf	ε	Sm	w
	[m]	[m]	[mq]	[mq]	[kNm]	[kNm]	[%]	[mm]	[mm]
1	1,00	0,50	0,001005	0,134570	-10,38	-117,96	0,000000	0,00	0,000 (28)
2	1,00	0,50	0,001005	0,134570	-10,94	-117,96	0,000000	0,00	0,000 (28)
3	1,00	0,50	0,001005	0,134570	-11,20	-117,96	0,000000	0,00	0,000 (28)
4	1,00	0,50	0,001005	0,134570	-11,20	-117,96	0,000000	0,00	0,000 (28)

10.7. Sezione tipo 7 - $1.00 < H < 2.00\text{m}$ (Sez. L)

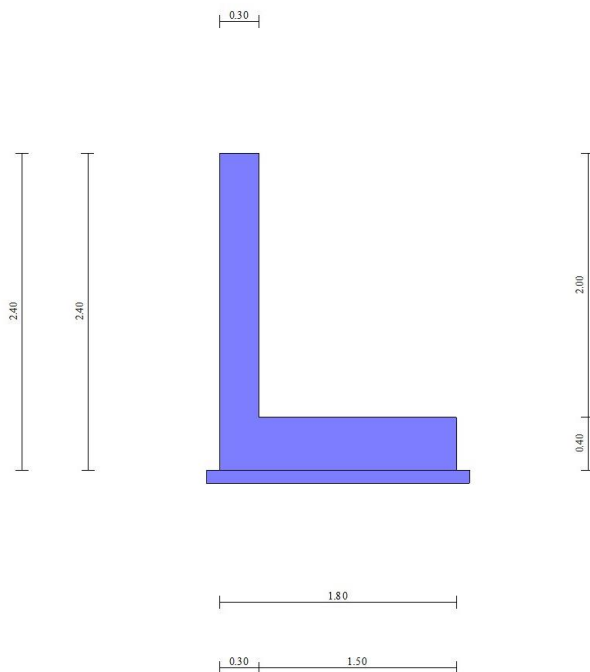


Figura 10.7 – Geometria sezione di calcolo

10.7.1. Carichi

Condizioni di carico

Simbologia adottata

Carichi verticali positivi verso il basso.

Carichi orizzontali positivi verso sinistra.

Momento positivo senso antiorario.

X	Ascissa del punto di applicazione del carico concentrato espressa in [m]
F _x	Componente orizzontale del carico concentrato espressa in [kN]
F _y	Componente verticale del carico concentrato espressa in [kN]
M	Momento espresso in [kNm]
X _i	Ascissa del punto iniziale del carico ripartito espressa in [m]
X _f	Ascissa del punto finale del carico ripartito espressa in [m]
Q _i	Intensità del carico per x=X _i espressa in [kN]
Q _f	Intensità del carico per x=X _f espressa in [kN]

Condizione n° 1 (Variabile 1) - VARIABILE

Coeff. di combinazione $\Psi_0=0.75 - \Psi_1=0.75 - \Psi_2=0.20$

Indice di raggruppamento 1

Carichi sul terreno

n°	Tipo	X [m]	F _x [kN]	F _y [kN]	M [kNm]	X _i [m]	X _f [m]	Q _i [kN]	Q _f [kN]
1	Distribuito					0,00	8,00	20,0000	20,0000

Condizione n° 2 (Urto) - ECCEZIONALE

Carichi sul muro

n°	Tipo	Dest	X; Y [m]	F _x [kN]	F _y [kN]	M [kNm]	X _i [m]	X _f [m]	Q _i [kN]	Q _f [kN]
1	Concentrato	Paramento	0,00; 0,00	10,0000	0,0000	10,0000				

Condizione n° 3 (Variabile 2) - VARIABILE

Coeff. di combinazione $\Psi_0=0.75 - \Psi_1=0.75 - \Psi_2=0.00$

Indice di raggruppamento 2

Carichi sul terreno

n°	Tipo	X [m]	Fx [kN]	Fy [kN]	M [kNm]	Xi [m]	Xf [m]	Qi [kN]	Qf [kN]
1	Distribuito					1,50	8,00	20,0000	20,0000

Condizione n° 4 (Barriera) - PERMANENTE NS

Carichi sul muro

n°	Tipo	Dest	X; Y [m]	Fx [kN]	Fy [kN]	M [kNm]	Xi [m]	Xf [m]	Qi [kN]	Qf [kN]
1	Concentrato	Paramento	-0,30; 0,00	0,0000	6,0000	1,2000				

10.7.2. Verifiche geotecniche

Quadro riassuntivo coeff. di sicurezza calcolati

Simbologia adottata

Cmb	Indice/Tipo combinazione
S	Sisma (H: componente orizzontale, V: componente verticale)
FS _{SCO}	Coeff. di sicurezza allo scorrimento
FS _{RIB}	Coeff. di sicurezza al ribaltamento
FS _{QLIM}	Coeff. di sicurezza a carico limite
FS _{STAB}	Coeff. di sicurezza a stabilità globale
FS _{HYD}	Coeff. di sicurezza a sifonamento
FS _{UPL}	Coeff. di sicurezza a sollevamento

Cmb	Sismica	FS _{SCO}	FS _{RIB}	FS _{QLIM}	FS _{STAB}	FS _{HYD}	FS _{UPL}
1 - STR (A1-M1-R3)		3.070		2.802			
2 - STR (A1-M1-R3)		2.195		2.999			
3 - STR (A1-M1-R3)	H + V	3.688		4.459			
4 - STR (A1-M1-R3)	H + V	3.987		4.952			
5 - STR (A1-M1-R3)	H - V	3.670		4.574			
6 - STR (A1-M1-R3)	H - V	3.967		5.079			
7 - STR (A1-M1-R3)		3.596		2.623			
8 - STR (A1-M1-R3)		3.403		2.689			
9 - STR (A1-M1-R3)		3.263		2.737			
10 - STR (A1-M1-R3)		2.720		2.909			
11 - STR (A1-M1-R3)		2.528		2.956			
12 - STR (A1-M1-R3)		2.388		2.982			
13 - GEO (A2-M2-R2)					1.328		
14 - GEO (A2-M2-R2)					1.345		
15 - GEO (A2-M2-R2)	H + V				1.881		
16 - GEO (A2-M2-R2)	H + V				1.980		
17 - GEO (A2-M2-R2)	H - V				1.870		
18 - GEO (A2-M2-R2)	H - V				1.968		
19 - EQU (A1-M1-R3)			4.430				
20 - EQU (A1-M1-R3)			3.039				
21 - EQU (A1-M1-R3)	H + V		4.779				
22 - EQU (A1-M1-R3)	H + V		5.170				
23 - EQU (A1-M1-R3)	H - V		4.376				
24 - EQU (A1-M1-R3)	H - V		4.698				
25 - ECC		2.767	2.012	3.807	2.016		
36 - HYD						100.000	
37 - UPL							100.000
38 - HYD						100.000	
39 - UPL							100.000

Cedimenti

Simbologia adottata

Ic	Indice combinazione
X, Y	Punto di calcolo del cedimento, espressa in [m]
w	Cedimento, espressa in [m]
dw	Cedimento differenziale, espressa in [m]

Ic	X; Y [m]	w [m]	dw [m]
26	-0,30; -2,40	0,01605	0,00283
26	0,60; -2,40	0,01905	0,00583
26	1,50; -2,40	0,01322	0,00000

10.7.3. Verifiche strutturali

Sollecitazioni

Elementi calcolati a trave

Simbologia adottata

n°	Indice della sezione
X	Posizione della sezione, espresso in [m]
N	Sforzo normale, espresso in [kN]. Positivo se di compressione.
T	Taglio, espresso in [kN]. Positivo se diretto da monte verso valle
M	Momento, espresso in [kNm]. Positivo se tende le fibre contro terra (a monte)

La posizione delle sezioni di verifica fanno riferimento al sistema di riferimento globale la cui origine è nello spigolo in alto a destra del paramento.

Paramento

n°	X	N _{min}	N _{max}	T _{min}	T _{max}	M _{min}	M _{max}
	[m]	[kN]	[kN]	[kN]	[kN]	[kNm]	[kNm]
21	-2,00	20,78	28,50	8,53	24,55	7,79	39,58

Fondazione

n°	X	N _{min}	N _{max}	T _{min}	T _{max}	M _{min}	M _{max}
	[m]	[kN]	[kN]	[kN]	[kN]	[kNm]	[kNm]
1	0,00	0,00	0,00	-14,38	7,62	-36,03	-3,99
2	0,10	0,00	0,00	-19,68	3,31	-34,39	-4,44
3	0,20	0,00	0,00	-25,23	1,16	-32,13	-4,66
4	0,30	0,00	0,00	-29,56	-0,71	-29,38	-4,68
5	0,40	0,00	0,00	-32,68	-2,27	-26,26	-4,53
6	0,50	0,00	0,00	-34,58	-3,54	-22,89	-4,23
7	0,60	0,00	0,00	-35,28	-4,52	-19,39	-3,83

Verifiche strutturali

Verifiche a flessione

Elementi calcolati a trave

Simbologia adottata

n°	indice sezione
B	larghezza sezione espresso in [m]
H	altezza sezione espressa in [m]
A _{fi}	area ferri inferiori espresso in [mq]
A _{fs}	area ferri superiori espressa in [mq]
M	momento agente espressa in [kNm]
N	sforzo normale agente espressa in [kN]
M _{rd}	momento resistente espresso in [kNm]
N _{rd}	sforzo normale resistente espresso in [kN]
FS	fattore di sicurezza (rapporto tra sollecitazione ultima e sollecitazione agente)

Paramento

n°	B	H	A _{fi}	A _{fs}	M	N	M _{rd}	N _{rd}	FS
	[m]	[m]	[mq]	[mq]	[kNm]	[kN]	[kNm]	[kN]	
21	1,00	0,30	0,000770	0,000770	39,58	21,00	81,27	21,00	2.053

Fondazione

n°	B	H	A _{fi}	A _{fs}	M	N	M _{rd}	N _{rd}	FS
	[m]	[m]	[mq]	[mq]	[kNm]	[kN]	[kNm]	[kN]	
1	1,00	0,40	0,000770	0,000770	-36,03	0,00	-110,57	0,00	3.069
2	1,00	0,40	0,000770	0,000770	-34,39	0,00	-110,57	0,00	3.215
3	1,00	0,40	0,000770	0,000770	-32,13	0,00	-110,57	0,00	3.441
4	1,00	0,40	0,000770	0,000770	-29,38	0,00	-110,57	0,00	3.763
5	1,00	0,40	0,000770	0,000770	-26,26	0,00	-110,57	0,00	4.210

Verifiche a taglio

Simbologia adottata

n° (o Is)	indice sezione
Y	ordinata sezione espressa in [m]
B	larghezza sezione espresso in [m]
H	altezza sezione espressa in [m]
A _{sw}	area ferri a taglio espresso in [mq]
cotgθ	inclinazione delle bielle compresse, θ inclinazione dei puntoni di calcestruzzo
V _{Rcd}	resistenza di progetto a 'taglio compressione' espressa in [kN]
V _{Rsd}	resistenza di progetto a 'taglio trazione' espressa in [kN]
V _{Rd}	resistenza di progetto a taglio espresso in [kN]. Per elementi con armature trasversali resistenti al taglio (A _{sw} >0.0) V _{Rd} =min(V _{Rcd} , V _{Rsd}).
T	taglio agente espressa in [kN]
FS	fattore di sicurezza (rapporto tra sollecitazione resistente e sollecitazione agente)

Paramento

n°	B [m]	H [m]	A _{sw} [mq]	cotθ	V _{Rcd} [kN]	V _{Rsd} [kN]	V _{Rd} [kN]	T [kN]	FS
21	1,00	0,30	0,000000	--	0,00	0,00	159,52	24,55	6.496

Fondazione

n°	B [m]	H [m]	A _{sw} [mq]	cotθ	V _{Rcd} [kN]	V _{Rsd} [kN]	V _{Rd} [kN]	T [kN]	FS
4	1,00	0,40	0,000000	--	0,00	0,00	164,96	-29,56	5.581
5	1,00	0,40	0,000000	--	0,00	0,00	164,96	-32,68	5.048
6	1,00	0,40	0,000000	--	0,00	0,00	164,96	-34,58	4.770
7	1,00	0,40	0,000000	--	0,00	0,00	164,96	-35,28	4.676

Verifica delle tensioni

Simbologia adottata

n°	indice sezione
Y	ordinata sezione, espressa in [m]
B	larghezza sezione, espressa in [m]
H	altezza sezione, espressa in [m]
A _{fi}	area ferri inferiori, espressa in [mq]
A _{fs}	area ferri superiori, espressa in [mq]
M	momento agente, espressa in [kNm]
N	sforzo normale agente, espressa in [kN]
σ _c	tensione di compressione nel cls, espressa in [N/mmq]
σ _{fi}	tensione nei ferri inferiori, espressa in [N/mmq]
σ _{fs}	tensione nei ferri superiori, espressa in [N/mmq]

Combinazioni SLER

Paramento

Tensione massima di compressione nel calcestruzzo	19,920	[N/mmq]
Tensione massima di trazione dell'acciaio	360,000	[N/mmq]

n°	B [m]	H [m]	A _{fi} [mq]	A _{fs} [mq]	M [kNm]	N [kN]	σ _c [N/mmq]	σ _{fi} [N/mmq]	σ _{fs} [N/mmq]
21	1,00	0,30	0,000770	0,000770	16,77	21,00	2,300 (26)	84,510 (26)	6,579 (26)

Fondazione

Tensione massima di compressione nel calcestruzzo	14,940	[N/mmq]
Tensione massima di trazione dell'acciaio	360,000	[N/mmq]

n°	B [m]	H [m]	A _{fi} [mq]	A _{fs} [mq]	M [kNm]	N [kN]	σ _c [N/mmq]	σ _{fi} [N/mmq]	σ _{fs} [N/mmq]
1	1,00	0,40	0,000770	0,000770	-9,18	0,00	0,714 (29)	2,652 (29)	37,803 (29)
2	1,00	0,40	0,000770	0,000770	-9,55	0,00	0,743 (29)	2,759 (29)	39,326 (29)
3	1,00	0,40	0,000770	0,000770	-9,57	0,00	0,745 (29)	2,766 (29)	39,423 (29)

Combinazioni SLEF

Paramento

Tensione massima di compressione nel calcestruzzo	33,200	[N/mmq]
Tensione massima di trazione dell'acciaio	450,000	[N/mmq]

n°	B [m]	H [m]	A _{fi} [mq]	A _{fs} [mq]	M [kNm]	N [kN]	σ _c [N/mmq]	σ _{fi} [N/mmq]	σ _{fs} [N/mmq]
21	1,00	0,30	0,000770	0,000770	14,52	21,00	1,988 (27)	71,323 (27)	6,094 (27)

Fondazione

Tensione massima di compressione nel calcestruzzo	24,900	[N/mmq]
Tensione massima di trazione dell'acciaio	450,000	[N/mmq]

n°	B [m]	H [m]	A _{fi} [mq]	A _{fs} [mq]	M [kNm]	N [kN]	σ _c [N/mmq]	σ _{fi} [N/mmq]	σ _{fs} [N/mmq]
1	1,00	0,40	0,000770	0,000770	-7,88	0,00	0,613 (30)	2,277 (30)	32,457 (30)
2	1,00	0,40	0,000770	0,000770	-8,27	0,00	0,644 (30)	2,390 (30)	34,063 (30)
3	1,00	0,40	0,000770	0,000770	-8,35	0,00	0,649 (30)	2,411 (30)	34,364 (30)
4	1,00	0,40	0,000770	0,000770	-8,14	0,00	0,634 (30)	2,353 (30)	33,534 (30)
5	1,00	0,40	0,000770	0,000770	-7,71	0,00	0,600 (30)	2,228 (30)	31,753 (30)

Combinazioni SLEQ

Paramento

Tensione massima di compressione nel calcestruzzo	14,940	[N/mmq]
---	--------	---------

Tensione massima di trazione dell'acciaio 450,000 [N/mm²]

n°	B	H	Afi	Afs	M	N	σc	σfi	σfs
	[m]	[m]	[mq]	[mq]	[kNm]	[kN]	[N/mm ²]	[N/mm ²]	[N/mm ²]
21	1,00	0,30	0,000770	0,000770	10,43	21,14	1,418 (32)	47,239 (32)	5,201 (32)

Fondazione

Tensione massima di compressione nel calcestruzzo 11,205 [N/mm²]

Tensione massima di trazione dell'acciaio 450,000 [N/mm²]

n°	B	H	Afi	Afs	M	N	σc	σfi	σfs
	[m]	[m]	[mq]	[mq]	[kNm]	[kN]	[N/mm ²]	[N/mm ²]	[N/mm ²]
1	1,00	0,40	0,000770	0,000770	-7,69	0,00	0,598 (33)	2,221 (33)	31,658 (33)
2	1,00	0,40	0,000770	0,000770	-7,89	0,00	0,614 (33)	2,279 (33)	32,482 (33)
3	1,00	0,40	0,000770	0,000770	-7,83	0,00	0,609 (33)	2,262 (33)	32,237 (33)
4	1,00	0,40	0,000770	0,000770	-7,55	0,00	0,587 (33)	2,180 (33)	31,071 (33)
5	1,00	0,40	0,000770	0,000770	-7,08	0,00	0,551 (33)	2,044 (33)	29,137 (33)

Verifica a fessurazione

Simbologia adottata

n°	indice sezione
Y	ordinata sezione espressa in [m]
B	larghezza sezione espresso in [m]
H	altezza sezione espressa in [m]
Af	area ferri zona tesa espresso in [mq]
Aeff	area efficace espressa in [mq]
M	momento agente espressa in [kNm]
Mpf	momento di formazione/apertura fessure espressa in [kNm]
ε	deformazione espresso in %
Sm	spaziatura tra le fessure espressa in [mm]
w	apertura delle fessure espressa in [mm]

Combinazioni SLEF

Paramento

Apertura limite fessure $w_{lim}=0.30$

n°	B	H	Af	Aeff	M	Mpf	ε	Sm	w
	[m]	[m]	[mq]	[mq]	[kNm]	[kNm]	[%]	[mm]	[mm]
21	1,00	0,30	0,000770	0,078171	14,52	51,67	0,000000	0,00	0,000 (27)

Fondazione

Apertura limite fessure $w_{lim}=0.30$

n°	B	H	Af	Aeff	M	Mpf	ε	Sm	w
	[m]	[m]	[mq]	[mq]	[kNm]	[kNm]	[%]	[mm]	[mm]
1	1,00	0,40	0,000770	0,108083	-7,57	-74,26	0,000000	0,00	0,000 (27)
2	1,00	0,40	0,000770	0,108083	-7,77	-74,26	0,000000	0,00	0,000 (27)
3	1,00	0,40	0,000770	0,108083	-7,72	-74,26	0,000000	0,00	0,000 (27)
4	1,00	0,40	0,000770	0,108083	-7,44	-74,26	0,000000	0,00	0,000 (27)
5	1,00	0,40	0,000770	0,108083	-6,98	-74,26	0,000000	0,00	0,000 (27)

Combinazioni SLEQ

Paramento

Apertura limite fessure $w_{lim}=0.20$

n°	B	H	Af	Aeff	M	Mpf	ε	Sm	w
	[m]	[m]	[mq]	[mq]	[kNm]	[kNm]	[%]	[mm]	[mm]
21	1,00	0,30	0,000770	0,078171	9,58	51,67	0,000000	0,00	0,000 (28)

Fondazione

Apertura limite fessure $w_{lim}=0.20$

n°	B	H	Af	Aeff	M	Mpf	ε	Sm	w
	[m]	[m]	[mq]	[mq]	[kNm]	[kNm]	[%]	[mm]	[mm]
1	1,00	0,40	0,000770	0,108083	-4,94	-74,26	0,000000	0,00	0,000 (28)
2	1,00	0,40	0,000770	0,108083	-5,33	-74,26	0,000000	0,00	0,000 (28)
3	1,00	0,40	0,000770	0,108083	-5,48	-74,26	0,000000	0,00	0,000 (28)
4	1,00	0,40	0,000770	0,108083	-5,42	-74,26	0,000000	0,00	0,000 (28)
5	1,00	0,40	0,000770	0,108083	-5,18	-74,26	0,000000	0,00	0,000 (28)

10.8. Sezione tipo 8 - $H < 2.00\text{m}$ (sottoscarpa)

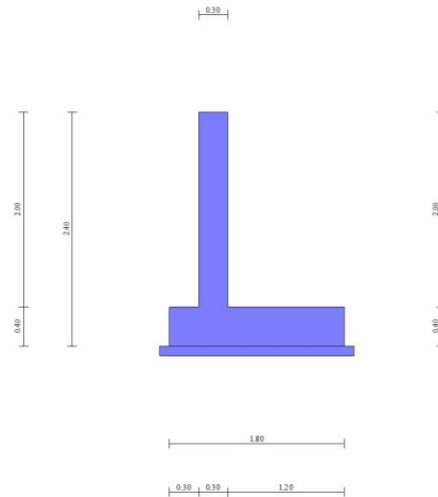


Figura 10.8 – Geometria sezione di calcolo

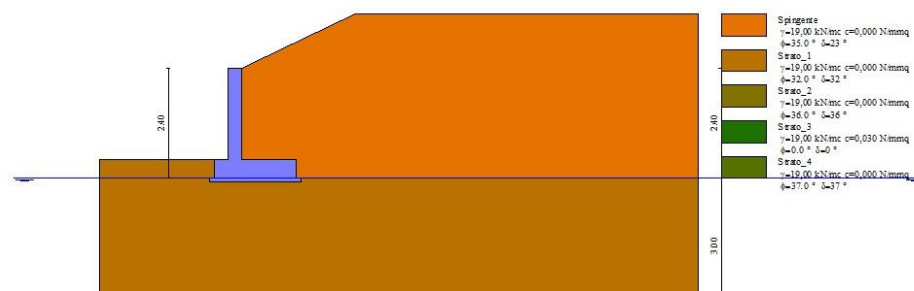


Figura 10.9 – Andamento rilevato a tergo muro

10.8.1. Carichi

Condizioni di carico

Simbologia adottata

Carichi verticali positivi verso il basso.

Carichi orizzontali positivi verso sinistra.

Momento positivo senso antiorario.

X	Ascissa del punto di applicazione del carico concentrato espressa in [m]
F _x	Componente orizzontale del carico concentrato espressa in [kN]
F _y	Componente verticale del carico concentrato espressa in [kN]
M	Momento espresso in [kNm]
X _i	Ascissa del punto iniziale del carico ripartito espressa in [m]
X _f	Ascissa del punto finale del carico ripartito espressa in [m]
Q _i	Intensità del carico per x=X _i espressa in [kN]
Q _f	Intensità del carico per x=X _f espressa in [kN]

Condizione n° 1 (Variabile) - VARIABILE

Coeff. di combinazione $\Psi_0=0.75$ - $\Psi_1=0.75$ - $\Psi_2=0.20$

Carichi sul terreno

n°	Tipo	X [m]	F _x [kN]	F _y [kN]	M [kNm]	X _i [m]	X _f [m]	Q _i [kN]	Q _f [kN]
1	Distribuito					6,30	10,00	20,0000	20,0000
2	Distribuito					3,80	6,30	5,0000	5,0000

Condizione n° 2 (Urto) - ECCEZIONALE

Condizione n° 3 (Condizione 3) - VARIABILE

Coeff. di combinazione $\Psi_0=1.00 - \Psi_1=1.00 - \Psi_2=1.00$

Condizione n° 4 (Condizione 4) - VARIABILE

Coeff. di combinazione $\Psi_0=1.00 - \Psi_1=1.00 - \Psi_2=1.00$

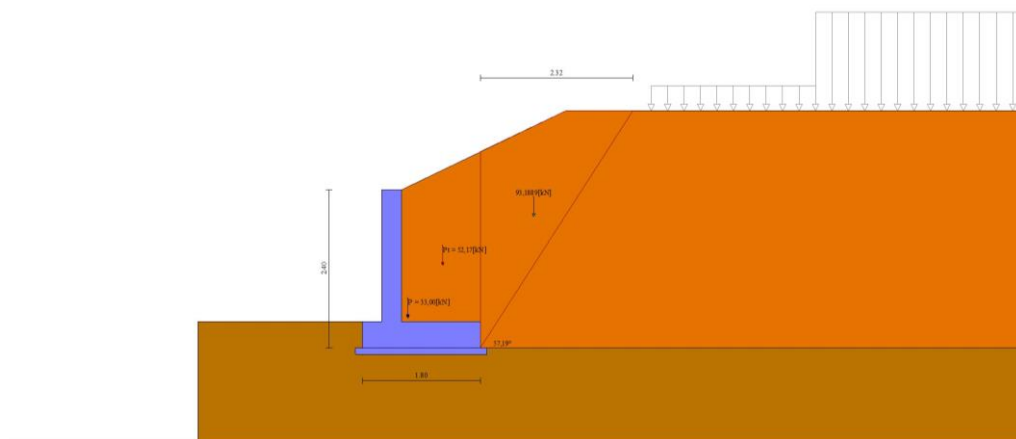


Figura 10.10 – Carichi a tergo muro. Si noti che sono posizionati all'esterno del cuneo di spinta.

10.8.2. Verifiche geotecniche

Quadro riassuntivo coeff. di sicurezza calcolati

Simbologia adottata

Cmb	Indice/Tipo combinazione
S	Sisma (H: componente orizzontale, V: componente verticale)
FS _{SCO}	Coeff. di sicurezza allo scorrimento
FS _{RIB}	Coeff. di sicurezza al ribaltamento
FS _{QLIM}	Coeff. di sicurezza a carico limite
FS _{STAB}	Coeff. di sicurezza a stabilità globale
FS _{HYD}	Coeff. di sicurezza a sifonamento
FS _{UPL}	Coeff. di sicurezza a sollevamento

Cmb	Sismica	FS _{SCO}	FS _{RIB}	FS _{QLIM}	FS _{STAB}	FS _{HYD}	FS _{UPL}
1 - STR (A1-M1-R3)		1.917		2.950			
2 - STR (A1-M1-R3)	H + V	2.071		3.250			
3 - STR (A1-M1-R3)	H - V	2.062		3.332			
4 - STR (A1-M1-R3)		2.412		2.962			
5 - STR (A1-M1-R3)		2.220		2.983			
6 - STR (A1-M1-R3)		2.109		2.982			
7 - GEO (A2-M2-R2)					1.302		
8 - GEO (A2-M2-R2)	H + V				1.548		
9 - GEO (A2-M2-R2)	H - V				1.541		
10 - EQU (A1-M1-R3)			3.324				
11 - EQU (A1-M1-R3)	H + V		3.260				
12 - EQU (A1-M1-R3)	H - V		3.101				
13 - ECC		2.412	4.097	3.851	1.630		
19 - HYD						100.000	
20 - UPL							100.000

Cedimenti

Simbologia adottata

Ic	Indice combinazione
X, Y	Punto di calcolo del cedimento, espressa in [m]
w	Cedimento, espressa in [m]
dw	Cedimento differenziale, espressa in [m]

Ic	X; Y [m]	w [m]	dw [m]
14	-0,60; -2,40	0,01078	0,00092
14	0,30; -2,40	0,01344	0,00358
14	1,20; -2,40	0,00986	0,00000

10.8.3. Verifiche strutturali

Sollecitazioni

Elementi calcolati a trave

Simbologia adottata

n°	Indice della sezione
X	Posizione della sezione, espresso in [m]
N	Sforzo normale, espresso in [kN]. Positivo se di compressione.
T	Taglio, espresso in [kN]. Positivo se diretto da monte verso valle
M	Momento, espresso in [kNm]. Positivo se tende le fibre contro terra (a monte)

La posizione delle sezioni di verifica fanno riferimento al sistema di riferimento globale la cui origine è nello spigolo in alto a destra del paramento.

Paramento

n°	X	N _{min}	N _{max}	T _{min}	T _{max}	M _{min}	M _{max}
	[m]	[kN]	[kN]	[kN]	[kN]	[kNm]	[kNm]
21	-2,00	14,78	19,50	12,84	16,69	8,57	11,14

Fondazione

n°	X	N _{min}	N _{max}	T _{min}	T _{max}	M _{min}	M _{max}
	[m]	[kN]	[kN]	[kN]	[kN]	[kNm]	[kNm]
4	-0,30	0,00	0,00	15,78	20,52	2,40	3,11
5	0,00	0,00	0,00	-21,85	-4,73	-18,06	-5,94

Verifiche strutturali

Verifiche a flessione

Elementi calcolati a trave

Simbologia adottata

n°	indice sezione
B	larghezza sezione espresso in [m]
H	altezza sezione espressa in [m]
Afi	area ferri inferiori espresso in [mq]
Afs	area ferri superiori espressa in [mq]
M	momento agente espressa in [kNm]
N	sforzo normale agente espressa in [kN]
Mrd	momento resistente espresso in [kNm]
Nrd	sforzo normale resistente espresso in [kN]
FS	fattore di sicurezza (rapporto tra sollecitazione ultima e sollecitazione agente)

Paramento

n°	B	H	Afi	Afs	M	N	Mrd	Nrd	FS
	[m]	[m]	[mq]	[mq]	[kNm]	[kN]	[kNm]	[kN]	
21	1,00	0,30	0,000565	0,000565	11,14	15,00	52,07	15,00	4.675

Fondazione

n°	B	H	Afi	Afs	M	N	Mrd	Nrd	FS
	[m]	[m]	[mq]	[mq]	[kNm]	[kN]	[kNm]	[kN]	
4	1,00	0,40	0,000770	0,000770	3,11	0,00	94,58	0,00	30.373
5	1,00	0,40	0,000770	0,000770	-18,06	0,00	-94,58	0,00	5.238

Verifiche a taglio

Simbologia adottata

n° (o Is)	indice sezione
Y	ordinata sezione espressa in [m]
B	larghezza sezione espresso in [m]
H	altezza sezione espressa in [m]
A _{sw}	area ferri a taglio espresso in [mq]
cotgθ	inclinazione delle bielle compresse, θ inclinazione dei puntoni di calcestruzzo
V _{Rcd}	resistenza di progetto a 'taglio compressione' espressa in [kN]
V _{Rsd}	resistenza di progetto a 'taglio trazione' espressa in [kN]
V _{Rd}	resistenza di progetto a taglio espresso in [kN]. Per elementi con armature trasversali resistenti al taglio (A _{sw} >0.0) V _{Rd} =min(V _{Rcd} , V _{Rsd}).
T	taglio agente espressa in [kN]
FS	fattore di sicurezza (rapporto tra sollecitazione resistente e sollecitazione agente)

Paramento

n°	B	H	A _{sw}	cotθ	V _{Rcd}	V _{Rsd}	V _{Rd}	T	FS
	[m]	[m]	[mq]		[kN]	[kN]	[kN]	[kN]	
21	1,00	0,30	0,000000	--	0,00	0,00	143,11	16,69	8.572

Fondazione

n°	B [m]	H [m]	A _{sw} [mq]	cotθ	V _{Rcd} [kN]	V _{Rsd} [kN]	V _{Rd} [kN]	T [kN]	FS
4	1,00	0,40	0,000000	--	0,00	0,00	164,96	-20,52	8.040
5	1,00	0,40	0,000000	--	0,00	0,00	164,96	-21,85	7.550

Verifica delle tensioni

Simbologia adottata

n°	indice sezione
Y	ordinata sezione, espressa in [m]
B	larghezza sezione, espressa in [m]
H	altezza sezione, espressa in [m]
A _{fi}	area ferri inferiori, espressa in [mq]
A _{fs}	area ferri superiori, espressa in [mq]
M	momento agente, espressa in [kNm]
N	sforzo normale agente, espressa in [kN]
σ _c	tensione di compressione nel cls, espressa in [N/mmq]
σ _{fi}	tensione nei ferri inferiori, espressa in [N/mmq]
σ _{fs}	tensione nei ferri superiori, espressa in [N/mmq]

Combinazioni SLER

Paramento

Tensione massima di compressione nel calcestruzzo	19,920	[N/mmq]
Tensione massima di trazione dell'acciaio	360,000	[N/mmq]

n°	B [m]	H [m]	A _{fi} [mq]	A _{fs} [mq]	M [kNm]	N [kN]	σ _c [N/mmq]	σ _{fi} [N/mmq]	σ _{fs} [N/mmq]
21	1,00	0,30	0,000565	0,000565	8,57	15,00	1,319 (14)	53,415 (14)	2,989 (14)

Fondazione

Tensione massima di compressione nel calcestruzzo	14,940	[N/mmq]
Tensione massima di trazione dell'acciaio	360,000	[N/mmq]

n°	B [m]	H [m]	A _{fi} [mq]	A _{fs} [mq]	M [kNm]	N [kN]	σ _c [N/mmq]	σ _{fi} [N/mmq]	σ _{fs} [N/mmq]
4	1,00	0,40	0,000770	0,000770	2,40	0,00	0,186 (14)	9,863 (14)	0,692 (14)
5	1,00	0,40	0,000770	0,000770	-5,94	0,00	0,462 (14)	1,717 (14)	24,472 (14)

Combinazioni SLEF

Paramento

Tensione massima di compressione nel calcestruzzo	33,200	[N/mmq]
Tensione massima di trazione dell'acciaio	450,000	[N/mmq]

n°	B [m]	H [m]	A _{fi} [mq]	A _{fs} [mq]	M [kNm]	N [kN]	σ _c [N/mmq]	σ _{fi} [N/mmq]	σ _{fs} [N/mmq]
21	1,00	0,30	0,000565	0,000565	8,57	15,00	1,319 (15)	53,415 (15)	2,989 (15)

Fondazione

Tensione massima di compressione nel calcestruzzo	24,900	[N/mmq]
Tensione massima di trazione dell'acciaio	450,000	[N/mmq]

n°	B [m]	H [m]	A _{fi} [mq]	A _{fs} [mq]	M [kNm]	N [kN]	σ _c [N/mmq]	σ _{fi} [N/mmq]	σ _{fs} [N/mmq]
4	1,00	0,40	0,000770	0,000770	2,40	0,00	0,186 (15)	9,863 (15)	0,692 (15)
5	1,00	0,40	0,000770	0,000770	-5,94	0,00	0,462 (15)	1,717 (15)	24,472 (15)

Combinazioni SLEQ

Paramento

Tensione massima di compressione nel calcestruzzo	14,940	[N/mmq]
Tensione massima di trazione dell'acciaio	450,000	[N/mmq]

n°	B [m]	H [m]	A _{fi} [mq]	A _{fs} [mq]	M [kNm]	N [kN]	σ _c [N/mmq]	σ _{fi} [N/mmq]	σ _{fs} [N/mmq]
21	1,00	0,30	0,000565	0,000565	9,46	15,14	1,461 (17)	60,295 (17)	3,046 (17)

Fondazione

Tensione massima di compressione nel calcestruzzo	11,205	[N/mmq]
Tensione massima di trazione dell'acciaio	450,000	[N/mmq]

n°	B	H	Afi	Afs	M	N	σ_c	σ_{fi}	σ_{fs}
	[m]	[m]	[mq]	[mq]	[kNm]	[kN]	[N/mm ²]	[N/mm ²]	[N/mm ²]
4	1,00	0,40	0,000770	0,000770	2,63	0,00	0,204 (17)	10,816 (17)	0,759 (17)
5	1,00	0,40	0,000770	0,000770	-8,01	0,00	0,623 (18)	2,313 (18)	32,968 (18)

Verifica a fessurazione

Simbologia adottata

n°	indice sezione
Y	ordinata sezione espressa in [m]
B	larghezza sezione espressa in [m]
H	altezza sezione espressa in [m]
Af	area ferri zona tesa espressa in [mq]
Aeff	area efficace espressa in [mq]
M	momento agente espressa in [kNm]
Mpf	momento di formazione/apertura fessure espressa in [kNm]
ε	deformazione espressa in %
Sm	spaziatura tra le fessure espressa in [mm]
w	apertura delle fessure espressa in [mm]

Combinazioni SLEF

Paramento

Apertura limite fessure $w_{lim}=0.30$

n°	B	H	Af	Aeff	M	Mpf	ε	Sm	w
	[m]	[m]	[mq]	[mq]	[kNm]	[kNm]	[%]	[mm]	[mm]
21	1,00	0,30	0,000565	0,080717	8,57	50,34	0,000000	0,00	0,000 (15)

Fondazione

Apertura limite fessure $w_{lim}=0.30$

n°	B	H	Af	Aeff	M	Mpf	ε	Sm	w
	[m]	[m]	[mq]	[mq]	[kNm]	[kNm]	[%]	[mm]	[mm]
4	1,00	0,40	0,000770	0,108083	2,40	74,26	0,000000	0,00	0,000 (15)
5	1,00	0,40	0,000770	0,108083	-5,94	-74,26	0,000000	0,00	0,000 (15)

Combinazioni SLEQ

Paramento

Apertura limite fessure $w_{lim}=0.20$

n°	B	H	Af	Aeff	M	Mpf	ε	Sm	w
	[m]	[m]	[mq]	[mq]	[kNm]	[kNm]	[%]	[mm]	[mm]
21	1,00	0,30	0,000565	0,080717	8,57	50,34	0,000000	0,00	0,000 (16)

Fondazione

Apertura limite fessure $w_{lim}=0.20$

n°	B	H	Af	Aeff	M	Mpf	ε	Sm	w
	[m]	[m]	[mq]	[mq]	[kNm]	[kNm]	[%]	[mm]	[mm]
4	1,00	0,40	0,000770	0,108083	2,40	74,26	0,000000	0,00	0,000 (16)
5	1,00	0,40	0,000770	0,108083	-5,94	-74,26	0,000000	0,00	0,000 (16)

10.9. Sezione tipo 9 - $H < 1.50m$

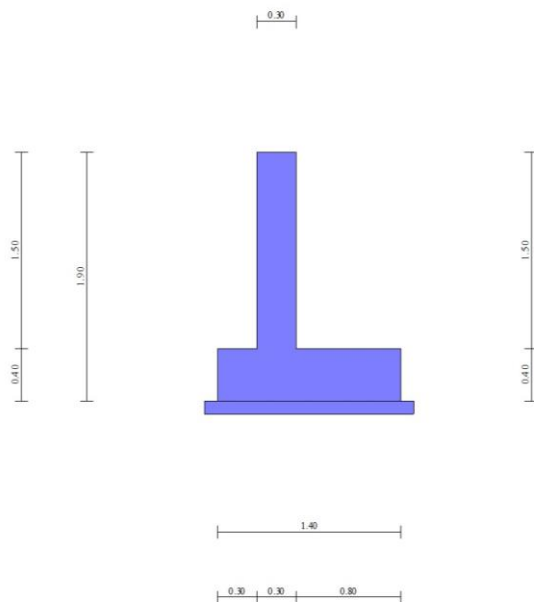


Figura 10.11 – Geometria sezione di calcolo

10.9.1. Carichi

Condizioni di carico

Simbologia adottata

Carichi verticali positivi verso il basso.

Carichi orizzontali positivi verso sinistra.

Momento positivo senso antiorario.

X	Ascissa del punto di applicazione del carico concentrato espressa in [m]
F _x	Componente orizzontale del carico concentrato espressa in [kN]
F _y	Componente verticale del carico concentrato espressa in [kN]
M	Momento espresso in [kNm]
X _i	Ascissa del punto iniziale del carico ripartito espressa in [m]
X _f	Ascissa del punto finale del carico ripartito espressa in [m]
Q _i	Intensità del carico per $x=X_i$ espressa in [kN]
Q _f	Intensità del carico per $x=X_f$ espressa in [kN]

Condizione n° 1 (Variabile 1) - VARIABILE

Coeff. di combinazione $\Psi_0=0.75 - \Psi_1=0.75 - \Psi_2=0.20$

Indice di raggruppamento 1

Carichi sul terreno

n°	Tipo	X [m]	F _x [kN]	F _y [kN]	M [kNm]	X _i [m]	X _f [m]	Q _i [kN]	Q _f [kN]
1	Distribuito					0,00	8,00	20,0000	20,0000

Condizione n° 2 (Variabile 2) - VARIABILE

Coeff. di combinazione $\Psi_0=0.75 - \Psi_1=0.75 - \Psi_2=0.00$

Indice di raggruppamento 2

Carichi sul terreno

n°	Tipo	X [m]	F _x [kN]	F _y [kN]	M [kNm]	X _i [m]	X _f [m]	Q _i [kN]	Q _f [kN]
1	Distribuito					0,80	8,00	20,0000	20,0000

10.9.2. Verifiche geotecniche

Quadro riassuntivo coeff. di sicurezza calcolati

Simbologia adottata

Cmb	Indice/Tipo combinazione
S	Sisma (H: componente orizzontale, V: componente verticale)
FS _{SCO}	Coeff. di sicurezza allo scorrimento
FS _{RIB}	Coeff. di sicurezza al ribaltamento
FS _{QLIM}	Coeff. di sicurezza a carico limite
FS _{STAB}	Coeff. di sicurezza a stabilità globale
FS _{HYD}	Coeff. di sicurezza a sifonamento
FS _{UPL}	Coeff. di sicurezza a sollevamento

Cmb	Sismica	FS _{SCO}	FS _{RIB}	FS _{QLIM}	FS _{STAB}	FS _{HYD}	FS _{UPL}
1 - STR (A1-M1-R3)		2.244		2.956			
2 - STR (A1-M1-R3)		1.586		2.756			
3 - STR (A1-M1-R3)	H + V	3.010		5.384			
4 - STR (A1-M1-R3)	H + V	3.350		6.183			
5 - STR (A1-M1-R3)	H - V	2.993		5.526			
6 - STR (A1-M1-R3)	H - V	3.330		6.347			
7 - STR (A1-M1-R3)		2.639		2.879			
8 - STR (A1-M1-R3)		2.432		2.928			
9 - STR (A1-M1-R3)		2.452		2.924			
10 - STR (A1-M1-R3)		1.981		2.950			
11 - STR (A1-M1-R3)		1.774		2.886			
12 - STR (A1-M1-R3)		1.794		2.895			
13 - GEO (A2-M2-R2)					1.269		
14 - GEO (A2-M2-R2)					1.278		
15 - GEO (A2-M2-R2)	H + V				1.900		
16 - GEO (A2-M2-R2)	H + V				2.037		
17 - GEO (A2-M2-R2)	H - V				1.890		
18 - GEO (A2-M2-R2)	H - V				2.026		
19 - EQU (A1-M1-R3)			4.078				
20 - EQU (A1-M1-R3)			2.781				
21 - EQU (A1-M1-R3)	H + V		5.188				
22 - EQU (A1-M1-R3)	H + V		5.940				
23 - EQU (A1-M1-R3)	H - V		4.734				
24 - EQU (A1-M1-R3)	H - V		5.347				
35 - HYD						100.000	
36 - UPL							100.000
37 - HYD						100.000	
38 - UPL							100.000

Cedimenti

Simbologia adottata

Ic	Indice combinazione
X, Y	Punto di calcolo del cedimento, espressa in [m]
w	Cedimento, espressa in [m]
dw	Cedimento differenziale, espressa in [m]

Ic	X; Y [m]	w [m]	dw [m]
25	-0,60; -1,90	0,00838	0,00000
25	0,10; -1,90	0,01082	0,00244
25	0,80; -1,90	0,00853	0,00015

10.9.3. Verifiche strutturali

Sollecitazioni

Elementi calcolati a trave

Simbologia adottata

n°	Indice della sezione
X	Posizione della sezione, espresso in [m]
N	Sforzo normale, espresso in [kN]. Positivo se di compressione.
T	Taglio, espresso in [kN]. Positivo se diretto da monte verso valle
M	Momento, espresso in [kNm]. Positivo se tende le fibre contro terra (a monte)

La posizione delle sezioni di verifica fanno riferimento al sistema di riferimento globale la cui origine è nello spigolo in alto a destra del paramento.

Paramento

n°	X [m]	N _{min} [kN]	N _{max} [kN]	T _{min} [kN]	T _{max} [kN]	M _{min} [kNm]	M _{max} [kNm]
16	-1,50	11,08	14,63	4,80	16,34	2,40	10,70

Fondazione

n°	X	N _{min}	N _{max}	T _{min}	T _{max}	M _{min}	M _{max}
----	---	------------------	------------------	------------------	------------------	------------------	------------------

	[m]	[kN]	[kN]	[kN]	[kN]	[kNm]	[kNm]
4	-0,30	0,00	0,00	6,94	16,21	1,03	2,51
5	0,00	0,00	0,00	-15,25	0,10	-6,42	0,32

Verifiche strutturali

Verifiche a flessione

Elementi calcolati a trave

Simbologia adottata

n°	indice sezione
B	larghezza sezione espresso in [m]
H	altezza sezione espressa in [m]
Afi	area ferri inferiori espresso in [mq]
Afs	area ferri superiori espressa in [mq]
M	momento agente espressa in [kNm]
N	sforzo normale agente espressa in [kN]
Mrd	momento resistente espresso in [kNm]
Nrd	sforzo normale resistente espresso in [kN]
FS	fattore di sicurezza (rapporto tra sollecitazione ultima e sollecitazione agente)

Paramento

n°	B	H	Afi	Afs	M	N	Mrd	Nrd	FS
	[m]	[m]	[mq]	[mq]	[kNm]	[kN]	[kNm]	[kN]	
16	1,00	0,30	0,000565	0,000565	10,70	11,25	51,63	11,25	4.827

Fondazione

n°	B	H	Afi	Afs	M	N	Mrd	Nrd	FS
	[m]	[m]	[mq]	[mq]	[kNm]	[kN]	[kNm]	[kN]	
4	1,00	0,40	0,000770	0,000770	2,51	0,00	94,58	0,00	37.619
5	1,00	0,40	0,000770	0,000770	-6,42	0,00	-94,58	0,00	14.722

Verifiche a taglio

Simbologia adottata

n° (o Is)	indice sezione
Y	ordinata sezione espressa in [m]
B	larghezza sezione espresso in [m]
H	altezza sezione espressa in [m]
Asw	area ferri a taglio espresso in [mq]
cotθ	inclinazione delle bielle compresse, θ inclinazione dei puntoni di calcestruzzo
V _{Rcd}	resistenza di progetto a 'taglio compressione' espressa in [kN]
V _{Rsd}	resistenza di progetto a 'taglio trazione' espressa in [kN]
V _{Rd}	resistenza di progetto a taglio espresso in [kN]. Per elementi con armature trasversali resistenti al taglio ($A_{sw} > 0.0$) $V_{Rd} = \min(V_{Rcd}, V_{Rsd})$.
T	taglio agente espressa in [kN]
FS	fattore di sicurezza (rapporto tra sollecitazione resistente e sollecitazione agente)

Paramento

n°	B	H	Asw	cotθ	V _{Rcd}	V _{Rsd}	V _{Rd}	T	FS
	[m]	[m]	[mq]		[kN]	[kN]	[kN]	[kN]	
16	1,00	0,30	0,000000	--	0,00	0,00	142,64	16,34	8.731

Fondazione

n°	B	H	Asw	cotθ	V _{Rcd}	V _{Rsd}	V _{Rd}	T	FS
	[m]	[m]	[mq]		[kN]	[kN]	[kN]	[kN]	
4	1,00	0,40	0,000000	--	0,00	0,00	164,96	-16,21	10.178
5	1,00	0,40	0,000000	--	0,00	0,00	164,96	-15,25	10.816

Verifica delle tensioni

Simbologia adottata

n°	indice sezione
Y	ordinata sezione, espressa in [m]
B	larghezza sezione, espresso in [m]
H	altezza sezione, espressa in [m]
Afi	area ferri inferiori, espresso in [mq]
Afs	area ferri superiori, espressa in [mq]
M	momento agente, espressa in [kNm]
N	sforzo normale agente, espressa in [kN]
σ _c	tensione di compressione nel cls, espressa in [N/mmq]
σ _{fi}	tensione nei ferri inferiori, espressa in [N/mmq]
σ _{fs}	tensione nei ferri superiori, espressa in [N/mmq]

Combinazioni SLER

Paramento

Tensione massima di compressione nel calcestruzzo 19,920 [N/mmq]

Tensione massima di trazione dell'acciaio 360,000 [N/mm²]

n°	B	H	Afi	Afs	M	N	σc	σfi	σfs
	[m]	[m]	[mq]	[mq]	[kNm]	[kN]	[N/mm ²]	[N/mm ²]	[N/mm ²]
16	1,00	0,30	0,000565	0,000565	7,45	11,25	1,152 (25)	48,081 (25)	2,278 (25)

Fondazione

Tensione massima di compressione nel calcestruzzo 14,940 [N/mm²]

Tensione massima di trazione dell'acciaio 360,000 [N/mm²]

n°	B	H	Afi	Afs	M	N	σc	σfi	σfs
	[m]	[m]	[mq]	[mq]	[kNm]	[kN]	[N/mm ²]	[N/mm ²]	[N/mm ²]
4	1,00	0,40	0,000770	0,000770	1,80	0,00	0,140 (28)	7,404 (28)	0,519 (28)
5	1,00	0,40	0,000770	0,000770	-2,20	0,00	0,171 (28)	0,634 (28)	9,041 (28)

Combinazioni SLEF

Paramento

Tensione massima di compressione nel calcestruzzo 33,200 [N/mm²]

Tensione massima di trazione dell'acciaio 450,000 [N/mm²]

n°	B	H	Afi	Afs	M	N	σc	σfi	σfs
	[m]	[m]	[mq]	[mq]	[kNm]	[kN]	[N/mm ²]	[N/mm ²]	[N/mm ²]
16	1,00	0,30	0,000565	0,000565	6,19	11,25	0,952 (26)	38,198 (26)	2,233 (26)

Fondazione

Tensione massima di compressione nel calcestruzzo 24,900 [N/mm²]

Tensione massima di trazione dell'acciaio 450,000 [N/mm²]

n°	B	H	Afi	Afs	M	N	σc	σfi	σfs
	[m]	[m]	[mq]	[mq]	[kNm]	[kN]	[N/mm ²]	[N/mm ²]	[N/mm ²]
4	1,00	0,40	0,000770	0,000770	1,61	0,00	0,125 (29)	6,610 (29)	0,464 (29)
5	1,00	0,40	0,000770	0,000770	-1,57	0,00	0,122 (29)	0,453 (29)	6,456 (29)

Combinazioni SLEQ

Paramento

Tensione massima di compressione nel calcestruzzo 14,940 [N/mm²]

Tensione massima di trazione dell'acciaio 450,000 [N/mm²]

n°	B	H	Afi	Afs	M	N	σc	σfi	σfs
	[m]	[m]	[mq]	[mq]	[kNm]	[kN]	[N/mm ²]	[N/mm ²]	[N/mm ²]
16	1,00	0,30	0,000565	0,000565	3,72	11,35	0,557 (31)	18,893 (31)	2,103 (31)

Fondazione

Tensione massima di compressione nel calcestruzzo 11,205 [N/mm²]

Tensione massima di trazione dell'acciaio 450,000 [N/mm²]

n°	B	H	Afi	Afs	M	N	σc	σfi	σfs
	[m]	[m]	[mq]	[mq]	[kNm]	[kN]	[N/mm ²]	[N/mm ²]	[N/mm ²]
4	1,00	0,40	0,000770	0,000770	1,30	0,00	0,102 (31)	5,373 (31)	0,377 (31)
5	1,00	0,40	0,000770	0,000770	-0,83	0,00	0,064 (32)	1,298 (30)	3,406 (32)

Verifica a fessurazione

Simbologia adottata

n°	indice sezione
Y	ordinata sezione espressa in [m]
B	larghezza sezione espresso in [m]
H	altezza sezione espressa in [m]
Af	area ferri zona tesa espresso in [mq]
Aeff	area efficace espressa in [mq]
M	momento agente espressa in [kNm]
Mpf	momento di formazione/apertura fessure espressa in [kNm]
ε	deformazione espresso in %
Sm	spaziatura tra le fessure espressa in [mm]
w	apertura delle fessure espressa in [mm]

Combinazioni SLEF

Paramento

Apertura limite fessure $w_{lim}=0.30$

n°	B	H	Af	Aeff	M	Mpf	ε	Sm	w
	[m]	[m]	[mq]	[mq]	[kNm]	[kNm]	[%]	[mm]	[mm]
16	1,00	0,30	0,000565	0,080841	6,19	50,15	0,000000	0,00	0,000 (26)

Fondazione

Apertura limite fessure $w_{lim}=0.30$

n°	B	H	Af	Aeff	M	Mpf	ε	Sm	w
	[m]	[m]	[mq]	[mq]	[kNm]	[kNm]	[%]	[mm]	[mm]
4	1,00	0,40	0,000770	0,108083	1,57	74,26	0,000000	0,00	0,000 (26)
5	1,00	0,40	0,000770	0,108083	-1,44	-74,26	0,000000	0,00	0,000 (26)

Combinazioni SLEQ

Paramento

Apertura limite fessure $w_{lim}=0.20$

n°	B	H	Af	Aeff	M	Mpf	ε	Sm	w
	[m]	[m]	[mq]	[mq]	[kNm]	[kNm]	[%]	[mm]	[mm]
16	1,00	0,30	0,000565	0,080841	3,41	50,15	0,000000	0,00	0,000 (27)

Fondazione

Apertura limite fessure $w_{lim}=0.20$

n°	B	H	Af	Aeff	M	Mpf	ε	Sm	w
	[m]	[m]	[mq]	[mq]	[kNm]	[kNm]	[%]	[mm]	[mm]
4	1,00	0,40	0,000770	0,108083	1,17	74,26	0,000000	0,00	0,000 (27)
5	1,00	0,40	0,000770	0,108083	-0,15	-74,26	0,000000	0,00	0,000 (27)

10.10. Verifiche strutturali condizione di urto

A seguire si riportano le verifiche locali del paramento in condizione di urto. Le armature conseguenti sono quindi le **minime** che possono essere previste per le varie sezioni analizzate (non sono necessariamente pari alle armature effettivamente predisposte).

10.10.1. Altezza paramento $H = 1.00m$

Azioni

Carico da urto

F =	100,00	kN	forza da urto
H _c =	1,00	m	altezza di applicazione del carico da pavimentazione
b =	2,00	m	larghezza di applicazione del carico (si considera il carico da urto distribuito su 3 montanti)

Caratteristiche terreno spingente

γ =	19,00	kN/m ³	peso specifico terreno spingente
φ =	35	°	angolo d'attrito terreno spingente
γ =	1,00		M1 coeff. parziale di sicurezza
φ _{calc} =	35	°	angolo d'attrito di calcolo terreno spingente
ka =	0,27		coefficiente di spinta attiva

Geometria muro

H =	1,00	m	altezza paramento del muro
t _{sup} =	0,30	m	spessore testa muro
t _{inf} =	0,30	m	spessore base muro
B _{sup} =	2,00	m	larghezza di diffusione urto a testa muro

$B_{inf} = 3,00$ m larghezza di diffusione urto a spiccato fondazione
(si considera la diffusione a 45° **solo su un lato**)

Spinta delle terre

$S_{p,base} = 7,72$ kN spinta delle terre totale su elevazione
(carico agente su B_{inf})

$h_{sp,base} = 0,33$ m altezza applicazione spinta da estradosso fondazione

Spinta del sovraccarico variabile

$q = 20,00$ kN/mq sovraccarico variabile in combinazione di urto

$\psi_2 = 0,20$ coeff. di combinazione quasi permanente

$S_q = 3,25$ kN spinta del sovraccarico totale su elevazione
(carico agente su B_{inf})

$H_q = 0,50$ m altezza applicazione spinta da estradosso fondazione

Testa muro (solo carico da urto)

AZIONI GLOBALI

$M_{Ed,G} = 100,00$ kNm

$V_{Ed,G} = 100,00$ kN

AZIONI A METRO LINEARE

$M_{Ed} = 50,00$ kNm/m

$V_{Ed} = 50,00$ kN/m

Base muro (carico da urto + spinta delle terre + spinta sovraccarico)

AZIONI GLOBALI

$M_{Ed,G} = 204,20$ kNm

$V_{Ed,G} = 110,98$ kN

AZIONI A METRO LINEARE

$M_{Ed} = 68,07$ kNm/m

$V_{Ed} = 36,99$ kN/m

Testa muro

Caratteristiche meccaniche dei materiali

Calcestruzzo C32/40 $R_{ck} = 40$ N/mm² $f_{ck} = 32$ N/mm²

$\gamma_c = 1,00$ $\alpha_{cc} = 0,85$ $f_{cd} = 27,20$ N/mm²

$E_c = 33346$ N/mm² $f_{ctm} = 3,02$ N/mm²

Acciaio B450C $E_s = 200000$ N/mm² $f_{yk} = 450$ N/mm²

$\gamma_s = 1,00$ $\varepsilon'_{se} = 2,25$ $f_{yd} = 450,0$ N/mm²

Caratteristiche geometriche della sezione

$B = 1000$ mm base

$H = 300$ mm altezza

$c = 65$ mm coprifer.

N_{Ed} positivo di compressione

M_{Ed} positivo se tende le fibre inferiori della sezione

y distanza dell'armatura dal lembo superiore

n.	\varnothing (mm)	A_s (mm ²)	y (mm)
5	12	565	65
		-	235
5	14	770	235
		-	
Σ		1335	mm ²

Verifiche agli Stati Limite Ultimi

Flessione

Combinazione	posizione	N_{Ed}	M_{Ed}	V_{Ed}	M_{Rd}	$\underline{M_{Rd}}$
--------------	-----------	----------	----------	----------	----------	----------------------

		[kN]	[kNm]	[kN]	[kNm]	M_{Ed}
URTO	testa muro		50,00	50,00	85,47	1,71

Taglio

$\phi_{staffe} =$ mm $\alpha =$ ° inclinazione staffa
 $n_b =$ n° braccia $s =$ mm passo

Combinazione	posizione	$V_{Rd,0}$ [kN]	$V_{Rd,s}$ [kN]	$V_{Rd,c}$ [kN]	V_{Rd} [kN]	$\frac{V_{Rd}}{V_{Ed}}$
URTO	testa muro	177,97			177,97	3,56

Base muro

Caratteristiche meccaniche dei materiali

Calcestruzzo	C32/40	$R_{ck} =$	40	N/mm ²	$f_{ck} =$	32	N/mm ²	
	$\gamma_c =$	1,00	$\alpha_{cc} =$	0,85	$f_{cd} =$	27,20	N/mm ²	
			$E_c =$	33346	N/mm ²	$f_{ctm} =$	3,02	N/mm ²
Acciaio	B450C	$E_s =$	200000	N/mm ²	$f_{yk} =$	450	N/mm ²	
	$\gamma_s =$	1,00	$\varepsilon'_{se} =$	2,25	$f_{yd} =$	450,0	N/mm ²	

Caratteristiche geometriche della sezione

B = 1000 mm base
 H = 300 mm altezza
 c = 65 mm coprifer.

n.	ϕ (mm)	A_s (mm ²)	y (mm)
5	12	565	65
		-	235
5	14	770	235
		-	
Σ		1335	mm ²

N_{Ed} positivo di compressione

M_{Ed} positivo se tende le fibre inferiori della sezione

y distanza dell'armatura dal lembo superiore

Verifiche agli Stati Limite Ultimi

Flessione

Combinazione	posizione	N_{Ed} [kN]	M_{Ed} [kNm]	V_{Ed} [kN]	M_{Rd} [kNm]	$\frac{M_{Rd}}{M_{Ed}}$
URTO	testa muro		68,07	36,99	85,47	1,26

Taglio

$\phi_{staffe} =$ mm $\alpha =$ ° inclinazione staffa
 $n_b =$ n° braccia $s =$ mm passo

Combinazione	posizione	$V_{Rd,0}$ [kN]	$V_{Rd,s}$ [kN]	$V_{Rd,c}$ [kN]	V_{Rd} [kN]	$\frac{V_{Rd}}{V_{Ed}}$
URTO	testa muro	177,97			177,97	4,81

10.10.2. Altezza paramento $H = 2.00m$

Azioni

Carico da urto

$F = 100,00$ kN forza da urto
 $H_c = 1,00$ m altezza di applicazione del carico da pavimentazione

$b = 2,00$ m larghezza di applicazione del carico
(si considera il carico da urto distribuito su 3 montanti)

Caratteristiche terreno spingente

$\gamma = 19,00$ kN/m³ peso specifico terreno spingente
 $\phi = 35$ ° angolo d'attrito terreno spingente
 $\gamma = 1,00$ M1 coeff. parziale di sicurezza
 $\phi_{calc} = 35$ ° angolo d'attrito di calcolo terreno spingente
 $k_a = 0,27$ coefficiente di spinta attiva

Geometria muro

$H = 2,00$ m altezza paramento del muro
 $t_{sup} = 0,30$ m spessore testa muro
 $t_{inf} = 0,30$ m spessore base muro
 $B_{sup} = 2,00$ m larghezza di diffusione urto a testa muro
 $B_{inf} = 4,00$ m larghezza di diffusione urto a spiccato fondazione
 (si considera la diffusione a 45° **solo su un lato**)

Spinta delle terre

$S_{p,base} = 41,19$ kN spinta delle terre totale su elevazione
 (carico agente su B_{inf})
 $h_{sp,base} = 0,67$ m altezza applicazione spinta da estradosso fondazione

Spinta del sovraccarico variabile

$q = 20,00$ kN/mq sovraccarico variabile in combinazione di urto
 $\psi_2 = 0,20$ coeff. di combinazione quasi permanente
 $S_q = 8,67$ kN spinta del sovraccarico totale su elevazione
 (carico agente su B_{inf})
 $H_q = 1,00$ m altezza applicazione spinta da estradosso fondazione

Testa muro (solo carico da urto)

AZIONI GLOBALI

$M_{Ed,G} = 100,00$ kNm
 $V_{Ed,G} = 100,00$ kN

AZIONI A METRO LINEARE

$M_{Ed} = 50,00$ kNm/m
 $V_{Ed} = 50,00$ kN/m

Base muro (carico da urto + spinta delle terre + spinta sovraccarico)

AZIONI GLOBALI

$M_{Ed,G} = 336,13$ kNm
 $V_{Ed,G} = 149,86$ kN

AZIONI A METRO LINEARE

$M_{Ed} = 84,03$ kNm/m
 $V_{Ed} = 37,47$ kN/m

Testa muro

Caratteristiche meccaniche dei materiali

Calcestruzzo C32/40	$R_{ck} = 40$	N/mm ²	$f_{ck} = 32$	N/mm ²
$\gamma_c = 1,00$	$\alpha_{cc} = 0,85$		$f_{cd} = 27,20$	N/mm ²
	$E_c = 33346$	N/mm ²	$f_{ctm} = 3,02$	N/mm ²

Acciaio B450C $E_s = 200000$ N/mm² $f_{yk} = 450$ N/mm²
 $\gamma_s = 1,00$ $\epsilon'_{se} = 2,25$ $f_{yd} = 450,0$ N/mm²

Caratteristiche geometriche della sezione

B = 1000 mm base
H = 300 mm altezza
c = 65 mm coprifer.

N_{Ed} positivo di compressione

M_{Ed} positivo se tende le fibre inferiori della sezione

y distanza dell'armatura dal lembo superiore

n.	ø(mm)	A_s (mm ²)	y (mm)
5	12	565	65
		-	235
5	14	770	235
		-	
Σ		1335	mm ²

Verifiche agli Stati Limite Ultimi

Flessione

Combinazione	posizione	N_{Ed} [kN]	M_{Ed} [kNm]	V_{Ed} [kN]	M_{Rd} [kNm]	$\frac{M_{Rd}}{M_{Ed}}$
URTO	testa muro		50,00	50,00	85,47	1,71

Taglio

$\phi_{staffe} =$ mm $\alpha =$ ° inclinazione staffa
 $n_b =$ n° braccia $s =$ mm passo

Combinazione	posizione	$V_{Rd,0}$ [kN]	$V_{Rd,s}$ [kN]	$V_{Rd,c}$ [kN]	V_{Rd} [kN]	$\frac{V_{Rd}}{V_{Ed}}$
URTO	testa muro	177,97			177,97	3,56

Base muro

Caratteristiche meccaniche dei materiali

Calcestruzzo C32/40 $R_{ck} = 40$ N/mm² $f_{ck} = 32$ N/mm²
 $\gamma_c = 1,00$ $\alpha_{cc} = 0,85$ $f_{cd} = 27,20$ N/mm²
 $E_c = 33346$ N/mm² $f_{ctm} = 3,02$ N/mm²

Acciaio B450C $E_s = 200000$ N/mm² $f_{yk} = 450$ N/mm²
 $\gamma_s = 1,00$ $\epsilon'_{se} = 2,25$ $f_{yd} = 450,0$ N/mm²

Caratteristiche geometriche della sezione

B = 1000 mm base
H = 300 mm altezza
c = 65 mm coprifer.

N_{Ed} positivo di compressione

M_{Ed} positivo se tende le fibre inferiori della sezione

y distanza dell'armatura dal lembo superiore

n.	ø(mm)	A_s (mm ²)	y (mm)
5	12	565	65
		-	235
5	14	770	235
		-	
Σ		1335	mm ²

Verifiche agli Stati Limite Ultimi

Flessione

Combinazione	posizione	N_{Ed} [kN]	M_{Ed} [kNm]	V_{Ed} [kN]	M_{Rd} [kNm]	$\frac{M_{Rd}}{M_{Ed}}$

URTO	testa muro		84,03	37,47	85,47	1,02
------	------------	--	-------	-------	-------	------

Taglio

$\phi_{\text{staffe}} =$ mm $\alpha =$ ° inclinazione staffa
 $n_b =$ n° braccia $s =$ mm passo

Combinazione	posizione	$V_{Rd,0}$ [kN]	$V_{Rd,s}$ [kN]	$V_{Rd,c}$ [kN]	V_{Rd} [kN]	$\frac{V_{Rd}}{V_{Ed}}$
URTO	testa muro	177,97			177,97	4,75

10.10.3. Altezza paramento $H = 2.80m$

Azioni

Carico da urto

$F = 100,00$ kN forza da urto
 $H_c = 1,00$ m altezza di applicazione del carico da pavimentazione
 $b = 2,00$ m larghezza di applicazione del carico
 (si considera il carico da urto distribuito su 3 montanti)

Caratteristiche terreno spingente

$\gamma = 19,00$ kN/m³ peso specifico terreno spingente
 $\phi = 35$ ° angolo d'attrito terreno spingente
 $\gamma = 1,00$ M1 coeff. parziale di sicurezza
 $\phi_{\text{calc}} = 35$ ° angolo d'attrito di calcolo terreno spingente
 $k_a = 0,27$ coefficiente di spinta attiva

Geometria muro

$H = 2,80$ m altezza paramento del muro
 $t_{\text{sup}} = 0,40$ m spessore testa muro
 $t_{\text{inf}} = 0,40$ m spessore base muro
 $B_{\text{sup}} = 2,00$ m larghezza di diffusione urto a testa muro
 $B_{\text{inf}} = 4,80$ m larghezza di diffusione urto a spiccato fondazione
 (si considera la diffusione a 45° **solo su un lato**)

Spinta delle terre

$S_{p,\text{base}} = 96,88$ kN spinta delle terre totale su elevazione
 (carico agente su B_{inf})
 $h_{\text{sp,base}} = 0,93$ m altezza applicazione spinta da estradosso fondazione

Spinta del sovraccarico variabile

$q = 20,00$ kN/mq sovraccarico variabile in combinazione di urto
 $\psi_2 = 0,20$ coeff. di combinazione quasi permanente
 $S_q = 14,57$ kN spinta del sovraccarico totale su elevazione
 (carico agente su B_{inf})
 $H_q = 1,40$ m altezza applicazione spinta da estradosso fondazione

Testa muro (solo carico da urto)

AZIONI GLOBALI

AZIONI A METRO LINEARE

$M_{Ed,G} = 100,00 \text{ kNm}$ $M_{Ed} = 50,00 \text{ kNm/m}$
 $V_{Ed,G} = 100,00 \text{ kN}$ $V_{Ed} = 50,00 \text{ kN/m}$

Base muro (carico da urto + spinta delle terre + spinta sovraccarico)

AZIONI GLOBALI

$M_{Ed,G} = 490,82 \text{ kNm}$
 $V_{Ed,G} = 211,45 \text{ kN}$

AZIONI A METRO LINEARE

$M_{Ed} = 102,25 \text{ kNm/m}$
 $V_{Ed} = 44,05 \text{ kN/m}$

Testa muro

Caratteristiche meccaniche dei materiali

Calcestruzzo	C32/40	$R_{ck} = 40$	N/mm ²	$f_{ck} = 32$	N/mm ²
$\gamma_c = 1,00$		$\alpha_{cc} = 0,85$		$f_{cd} = 27,20$	N/mm ²
		$E_c = 33346$	N/mm ²	$f_{ctm} = 3,02$	N/mm ²
Acciaio	B450C	$E_s = 200000$	N/mm ²	$f_{yk} = 450$	N/mm ²
$\gamma_s = 1,00$		$\varepsilon'_{se} = 2,25$		$f_{yd} = 450,0$	N/mm ²

Caratteristiche geometriche della sezione

$B = 1000$ mm base
 $H = 400$ mm altezza
 $c = 65$ mm coprifer.

N_{Ed} positivo di compressione

M_{Ed} positivo se tende le fibre inferiori della sezione
 y distanza dell'armatura dal lembo superiore

n.	ø(mm)	A_s (mm ²)	y (mm)
5	12	565	65
		-	335
5	14	770	335
		-	
Σ		1335	mm ²

Verifiche agli Stati Limite Ultimi

Flessione

Combinazione	posizione	N_{Ed} [kN]	M_{Ed} [kNm]	V_{Ed} [kN]	M_{Rd} [kNm]	$\frac{M_{Rd}}{M_{Ed}}$
URTO	testa muro		50,00	50,00	114,27	2,29

Taglio

$\phi_{staffe} =$ mm $\alpha =$ ° inclinazione staffa
 $n_b =$ n° braccia $s =$ mm passo

Combinazione	posizione	$V_{Rd,0}$ [kN]	$V_{Rd,s}$ [kN]	$V_{Rd,c}$ [kN]	V_{Rd} [kN]	$\frac{V_{Rd}}{V_{Ed}}$
URTO	testa muro	207,85			207,85	4,16

Base muro

Caratteristiche meccaniche dei materiali

Calcestruzzo	C32/40	$R_{ck} = 40$	N/mm ²	$f_{ck} = 32$	N/mm ²
$\gamma_c = 1,00$		$\alpha_{cc} = 0,85$		$f_{cd} = 27,20$	N/mm ²

		$E_c =$	33346	N/mm ²	$f_{ctm} =$	3,02	N/mm ²
Acciaio	B450C	$E_s =$	200000	N/mm ²	$f_{yk} =$	450	N/mm ²
$\gamma_s =$	1,00	$\varepsilon'_{se} =$	2,25		$f_{yd} =$	450,0	N/mm ²

Caratteristiche geometriche della sezione

B =	1000	mm base
H =	400	mm altezza
c =	65	mm coprifer.

n.	ø(mm)	A _s (mm ²)	y (mm)
5	12	565	65
		-	335
5	14	770	335
		-	
Σ		1335	mm ²

N_{Ed} positivo di compressione

M_{Ed} positivo se tende le fibre inferiori della sezione

y distanza dell'armatura dal lembo superiore

Verifiche agli Stati Limite Ultimi

Flessione

Combinazione	posizione	N _{Ed} [kN]	M _{Ed} [kNm]	V _{Ed} [kN]	M _{Rd} [kNm]	$\frac{M_{Rd}}{M_{Ed}}$
URTO	testa muro		102,25	44,05	114,27	1,12

Taglio

$\phi_{staffe} =$	mm	$\alpha =$	° inclinazione staffa
$n_b =$	n° braccia	$s =$	mm passo

Combinazione	posizione	V _{Rd,0} [kN]	V _{Rd,s} [kN]	V _{Rd,c} [kN]	V _{Rd} [kN]	$\frac{V_{Rd}}{V_{Ed}}$
URTO	testa muro	207,85			207,85	4,72

10.10.4. Altezza paramento H = 4.00m

Azioni

Carico da urto

F =	100,00	kN	forza da urto
H _c =	1,00	m	altezza di applicazione del carico da pavimentazione
b =	2,00	m	larghezza di applicazione del carico (si considera il carico da urto distribuito su 3 montanti)

Caratteristiche terreno spingente

$\gamma =$	19,00	kN/m ³	peso specifico terreno spingente
$\phi =$	35	°	angolo d'attrito terreno spingente
$\gamma =$	1,00		M1 coeff. parziale di sicurezza
$\phi_{calc} =$	35	°	angolo d'attrito di calcolo terreno spingente
k ₀ =	0,43		coefficiente di spinta a riposo

Geometria muro

H =	4,00	m	altezza paramento del muro
t _{sup} =	0,50	m	spessore testa muro
t _{inf} =	0,50	m	spessore base muro
B _{sup} =	2,00	m	larghezza di diffusione urto a testa muro

$B_{inf} = 6,00$ m larghezza di diffusione urto a spiccato fondazione
(si considera la diffusione a 45° **solo su un lato**)

Spinta delle terre

$S_{p,base} = 388,90$ kN spinta delle terre totale su elevazione
(carico agente su B_{inf})

$h_{sp,base} = 1,33$ m altezza applicazione spinta da estradosso fondazione

Spinta del sovraccarico variabile

$q = 20,00$ kN/mq sovraccarico variabile in combinazione di urto

$\psi_2 = 0,20$ coeff. di combinazione quasi permanente

$S_q = 40,94$ kN spinta del sovraccarico totale su elevazione
(carico agente su B_{inf})

$H_q = 2,00$ m altezza applicazione spinta da estradosso fondazione

Testa muro (solo carico da urto)

AZIONI GLOBALI

$M_{Ed,G} = 100,00$ kNm

$V_{Ed,G} = 100,00$ kN

AZIONI A METRO LINEARE

$M_{Ed} = 50,00$ kNm/m

$V_{Ed} = 50,00$ kN/m

Base muro (carico da urto + spinta delle terre + spinta sovraccarico)

AZIONI GLOBALI

$M_{Ed,G} = 1100,40$ kNm

$V_{Ed,G} = 529,83$ kN

AZIONI A METRO LINEARE

$M_{Ed} = 183,40$ kNm/m

$V_{Ed} = 88,31$ kN/m

Testa muro

Caratteristiche meccaniche dei materiali

Calcestruzzo	C32/40	$R_{ck} = 40$	N/mm ²	$f_{ck} = 32$	N/mm ²
$\gamma_c = 1,00$		$\alpha_{cc} = 0,85$		$f_{cd} = 27,20$	N/mm ²
		$E_c = 33346$	N/mm ²	$f_{ctm} = 3,02$	N/mm ²
Acciaio	B450C	$E_s = 200000$	N/mm ²	$f_{yk} = 450$	N/mm ²
$\gamma_s = 1,00$		$\varepsilon'_{se} = 2,25$		$f_{yd} = 450,0$	N/mm ²

Caratteristiche geometriche della sezione

$B = 1000$ mm base
 $H = 500$ mm altezza
 $c = 65$ mm coprifer.

N_{Ed} positivo di compressione

M_{Ed} positivo se tende le fibre inferiori della sezione

y distanza dell'armatura dal lembo superiore

n.	ø(mm)	A_s (mm ²)	y (mm)
5	14	770	65
		-	435
7,5	16	1508	435
		-	
Σ		2278	mm ²

Verifiche agli Stati Limite Ultimi

Flessione

Combinazione	posizione	N _{Ed} [kN]	M _{Ed} [kNm]	V _{Ed} [kN]	M _{Rd} [kNm]	$\frac{M_{Rd}}{M_{Ed}}$
URTO	testa muro		50,00	50,00	280,62	5,61

Taglio

$\phi_{staffe} =$ mm $\alpha =$ ° inclinazione staffa
 $n_b =$ n° braccia $s =$ mm passo

Combinazione	posizione	V _{Rd,0} [kN]	V _{Rd,s} [kN]	V _{Rd,c} [kN]	V _{Rd} [kN]	$\frac{V_{Rd}}{V_{Ed}}$
URTO	testa muro	293,04			293,04	5,86

Base muro

Caratteristiche meccaniche dei materiali

Calcestruzzo	C32/40	R _{ck} =	40	N/mm ²	f _{ck} =	32	N/mm ²	
	γ _c =	1,00	α _{cc} =	0,85	f _{cd} =	27,20	N/mm ²	
			E _c =	33346	N/mm ²	f _{ctm} =	3,02	N/mm ²
Acciaio	B450C	E _s =	200000	N/mm ²	f _{yk} =	450	N/mm ²	
	γ _s =	1,00	ε' _{se}	2,25	f _{yd} =	450,0	N/mm ²	

Caratteristiche geometriche della sezione

B = 1000 mm base
H = 500 mm altezza
c = 65 mm coprifer.

n.	ø(mm)	A _s (mm ²)	y (mm)
5	14	770	65
		-	435
7,5	16	1508	435
		-	
Σ		2278	mm ²

N_{Ed} positivo di compressione

M_{Ed} positivo se tende le fibre inferiori della sezione
y distanza dell'armatura dal lembo superiore

Verifiche agli Stati Limite Ultimi

Flessione

Combinazione	posizione	N _{Ed} [kN]	M _{Ed} [kNm]	V _{Ed} [kN]	M _{Rd} [kNm]	$\frac{M_{Rd}}{M_{Ed}}$
URTO	testa muro		183,40	88,31	280,62	1,53

Taglio

$\phi_{staffe} =$ mm $\alpha =$ ° inclinazione staffa
 $n_b =$ n° braccia $s =$ mm passo

Combinazione	posizione	V _{Rd,0} [kN]	V _{Rd,s} [kN]	V _{Rd,c} [kN]	V _{Rd} [kN]	$\frac{V_{Rd}}{V_{Ed}}$
URTO	testa muro	293,04			293,04	3,32

11. CORDOLO PORTA BARRIERA DI COLLEGAMENTO MU03

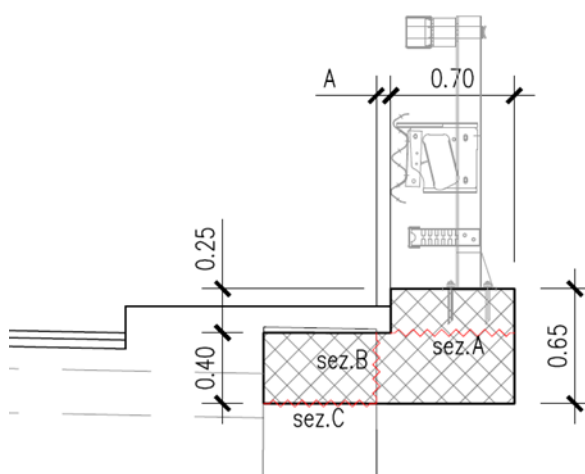
Nel paragrafo che segue si riporta l'analisi del cordolo porta barriera che verrà realizzato al fine di collegare un muro attualmente esistente sullo svincolo che ospiterà la rotatoria di via Milano e il muro in progetto MU03.

Il cordolo richiederà la parziale demolizione del muro esistente, al quale verrà poi inghisato in testa mediante barre $\phi 16$ disposte con passo 20cm.

Si riporta l'analisi dei carichi, seguita dalla verifica delle sezioni del cordolo e dal calcolo inerente agli inghisaggi.

11.1. Analisi dei carichi

Configurazione di calcolo



Geometria cordolo

$H_{sup,cord}$	=	0.25	m	altezza sbordo cordolo
$H_{tot,cord}$	=	0.65	m	altezza totale cordolo
$H_{inf,cord}$	=	0.40	m	altezza parte inferiore cordolo
H_{marc}	=	0.15	m	altezza marciapiede
t_{cord}	=	0.70	m	spessore testa cordolo
$t_{m,esist}$	=	0.60	m	spessore muro esistente
A_{max}	=	0.21	m	dimensione massima variabile A
A_{SLU}	=	0.21	m	dimensione variabile A considerata a SLU
A_U	=	0.00	m	dimensione variabile A considerata con URTO (A media massima rilevata su una lunghezza di 2.00m)
B_{sup}	=	2.00	m	larghezza di diffusione urto a testa cordolo
$B_{inf,A}$	=	2.25	m	larghezza di diffusione urto sezioni di verifica A
$B_{inf,B}$	=	2.80	m	larghezza di diffusione urto sezioni di verifica B
$B_{inf,C}$	=	3.30	m	larghezza di diffusione urto sezioni di verifica C (si considera la diffusione a 45° solo su un lato)

Carico da urto

F	=	100.00	kN	forza da urto
H_c	=	1.00	m	altezza di applicazione del carico da pavimentazione
H_b	=	0.90	m	altezza applicazione carico da base barriera
b	=	2.00	m	larghezza di applicazione del carico (si considera il carico da urto distribuito su 3 montanti)

Peso permanenti

$g_{bar} = 1.00$ kN/m peso barriera
 $\gamma_{cls} = 25.00$ kN/mc peso calcestruzzo
 $\gamma_{marc} = 22.00$ kN/mc peso marciaiede

Peso del sovraccarico variabile

$q = 20.00$ kN/mq sovraccarico variabile (a favore di sicurezza)
 $\psi_2 = 0.20$ coeff. di combinazione quasi permanente
 $q_u = 4.00$ kN/mq sovraccarico variabile in combinazione di urto

$q_{SLU} = 4.20$ kN/m carico lineare per combinazione SLU su A
 $q_u = 0.00$ kN/m carico lineare per combinazione URTO su A

SOLLECITAZIONI CON URTO**Sezione A****AZIONI GLOBALI URTO**

$M_{Ed,G} = 115.00$ kNm
 $V_{Ed,G} = 100.00$ kN

AZIONI A METRO LINEARE URTO

$M_{Ed} = 51.11$ kNm/m
 $V_{Ed} = 44.44$ kN/m

Sezione B**AZIONI GLOBALI URTO**

$M_{Ed,G} = 135.00$ kNm
 $T_{Ed,G} = 100.00$ kN

AZIONI A METRO LINEARE URTO

$M_{Ed} = 48.21$ kNm/m
 $T_{Ed} = 35.71$ kN/m

AZIONI A METRO LINEARE VARIABILI

$M_{Ed} = 0.00$ kNm/m
 $V_{Ed} = 0.00$ kN/m

AZIONI A METRO LINEARE PERMANENTI

$M_{Ed} = 4.33$ kNm/m
 $V_{Ed} = 12.38$ kN/m

Sezione C**AZIONI GLOBALI URTO**

$M_{Ed,G} = 155.00$ kNm
 $V_{Ed,G} = 100.00$ kN

AZIONI A METRO LINEARE URTO

$M_{Ed} = 46.97$ kNm/m
 $V_{Ed} = 30.30$ kN/m

AZIONI A METRO LINEARE VARIABILI

$M_{Ed} = 0.00$ kNm/m
 $N_{Ed} = 2.40$ kN/m

AZIONI A METRO LINEARE PERMANENTI

$M_{Ed} = 8.04$ kNm/m
 $N_{Ed} = 20.36$ kN/m

Coefficienti di sicurezza

$\gamma_G = 1.00$

$$\gamma_U = 1.00$$

$$\gamma_Q = 1.00$$

Sezione	N_{Ed}	T_{Ed}	V_{Ed}	M_{Ed}
	kN/m	kN/m	kN/m	kNm/m
A	0.0	0.0	44.4	51.1
B	0.0	35.7	12.4	52.5
C	22.8	0.0	30.3	55.0

SOLLECITAZIONI SLU

Sezione B

AZIONI A METRO LINEARE VARIABILI

$$M_{Ed} = 0.44 \quad \text{kNm/m}$$

$$V_{Ed} = 4.20 \quad \text{kN/m}$$

AZIONI A METRO LINEARE PERMANENTI

$$M_{Ed} = 7.22 \quad \text{kNm/m}$$

$$V_{Ed} = 15.17 \quad \text{kN/m}$$

Sezione C

AZIONI A METRO LINEARE VARIABILI

$$M_{Ed} = 1.70 \quad \text{kNm/m}$$

$$N_{Ed} = 16.20 \quad \text{kN/m}$$

AZIONI A METRO LINEARE PERMANENTI

$$M_{Ed} = 11.77 \quad \text{kNm/m}$$

$$N_{Ed} = 23.15 \quad \text{kN/m}$$

Coefficienti di sicurezza

SLU SLE

$$\gamma_G = 1.35 \quad 1.00$$

$$\gamma_Q = 1.35 \quad 1.00$$

SLU

Sezione	N_{Ed}	V_{Ed}	M_{Ed}
	kN/m	kN/m	kNm/m
B	0.0	26.1	10.3
C	53.1	0.0	18.2

SLE

Sezione	N_{Ed}	V_{Ed}	M_{Ed}
	kN/m	kN/m	kNm/m
B	0.0	19.4	7.7
C	39.3	0.0	13.5

11.2. Verifica strutturale

Si riportano le verifiche strutturali delle sezioni A e B definite al paragrafo precedente mediante le sollecitazioni sopra riportate: le analisi sono riportate per metro lineare di sezione.

11.2.1. Verifica sezione A – combinazione eccezionale

Caratteristiche meccaniche dei materiali

Calcestruzzo	C32/40	$R_{ck} =$	40	N/mm ²	$f_{ck} =$	32	N/mm ²	
	$\gamma_c =$	1.00	$\alpha_{cc} =$	0.85	$f_{cd} =$	27.20	N/mm ²	
			$E_c =$	33346	N/mm ²	$f_{ctm} =$	3.02	N/mm ²
Acciaio	B450C	$E_s =$	200000	N/mm ²	$f_{yk} =$	450	N/mm ²	
	$\gamma_s =$	1.00	$\varepsilon'_{se} =$	2.25	$f_{vd} =$	450.0	N/mm ²	

Caratteristiche geometriche della sezione

B =	1000	mm base
H =	700	mm altezza
c =	61	mm coprifer.

n.	\varnothing (mm)	A_s (mm ²)	y (mm)
5	14	770	61
5	14	770	639
Σ		1539	mm ²

N_{Ed} positivo di compressione

M_{Ed} positivo se tende le fibre inferiori della sezione
y distanza dell'armatura dal lembo superiore

Verifiche agli Stati Limite Ultimi

Flessione

Combinazione	posizione	N_{Ed} [kN]	M_{Ed} [kNm]	V_{Ed} [kN]	M_{Rd} [kNm]	$\frac{M_{Rd}}{M_{Ed}}$
URTO	A		51.11	44.44	210.11	4.11

Taglio

$\phi_{staffe} =$	mm	$\alpha =$	° inclinazione staffa
$n_b =$	n° braccia	$s =$	mm passo

Combinazione	posizione	$V_{Rd,0}$ [kN]	$V_{Rd,s}$ [kN]	$V_{Rd,c}$ [kN]	V_{Rd} [kN]	$\frac{V_{Rd}}{V_{Ed}}$
URTO	A	281.23			281.23	6.33

11.2.2. Verifica sezione B – combinazione eccezionale

Caratteristiche meccaniche dei materiali

Calcestruzzo	C32/40	$R_{ck} =$	40	N/mm ²	$f_{ck} =$	32	N/mm ²
$\gamma_c =$	1.00	$\alpha_{cc} =$	0.85		$f_{cd} =$	27.20	N/mm ²
		$E_c =$	33346	N/mm ²	$f_{ctm} =$	3.02	N/mm ²
Acciaio	B450C	$E_s =$	200000	N/mm ²	$f_{yk} =$	450	N/mm ²
$\gamma_s =$	1.00	ε'_{se}	2.25		$f_{yd} =$	450.0	N/mm ²

Caratteristiche geometriche della sezione

B = 1000 mm base
H = 400 mm altezza
c = 61 mm coprifer.

n.	ø(mm)	A _s (mm ²)	y (mm)
5	14	770	61
5	14	770	339

N_{Ed} positivo di compressione

M_{Ed} positivo se tende le fibre inferiori della sezione

y distanza dell'armatura dal lembo superiore

Σ 1539 mm²

Verifiche agli Stati Limite Ultimi

Flessione

Combinazione	posizione	N _{Ed} [kN]	M _{Ed} [kNm]	V _{Ed} [kN]	M _{Rd} [kNm]	$\frac{M_{Rd}}{M_{Ed}}$
URTO	B	-35.71	52.55	12.38	109.62	2.09

Taglio

φ_{staffe} = mm α = ° inclinazione staffa
n_b = n° braccia s = mm passo

Combinazione	posizione	V _{Rd,0} [kN]	V _{Rd,s} [kN]	V _{Rd,c} [kN]	V _{Rd} [kN]	$\frac{V_{Rd}}{V_{Ed}}$
URTO	B	204.42			204.42	16.52

11.2.3. Verifica sezione B

Caratteristiche meccaniche dei materiali

Calcestruzzo C32/40
γ_c = 1.50

R_{ck} = 40 N/mm²
α_{cc} = 0.85
E_c = 33346 N/mm²

f_{ck} = 32 N/mm²
f_{cd} = 18.13 N/mm²
f_{ctm} = 3.02 N/mm²

Acciaio B450C
γ_s = 1.15

E_s = 200000 N/mm²
ε'_{se} = 1.96

f_{yk} = 450 N/mm²
f_{yd} = 391.3 N/mm²

Caratteristiche geometriche della sezione

B = 1000 mm base
H = 400 mm altezza
c = 61 mm coprifer.

n.	ø(mm)	A _s (mm ²)	y (mm)
5	14	770	61
5	14	770	339

N_{Ed} positivo di compressione

M_{Ed} positivo se tende le fibre inferiori della sezione

y distanza dell'armatura dal lembo superiore

Σ 1539 mm²

Verifiche agli Stati Limite Ultimi

Flessione

Combinazione	posizione	N _{Ed} [kN]	M _{Ed} [kNm]	V _{Ed} [kN]	M _{Rd} [kNm]	$\frac{M_{Rd}}{M_{Ed}}$
SLU	B		10.35	26.15	100.46	9.71

Taglio

φ_{staffe} = mm α = ° inclinazione staffa
n_b = n° braccia s = mm passo

Combinazione	posizione	V _{Rd,0}	V _{Rd,s}	V _{Rd,c}	V _{Rd}	$\frac{V_{Rd}}{V_{Ed}}$
--------------	-----------	-------------------	-------------------	-------------------	-----------------	-------------------------

		[kN]	[kN]	[kN]	[kN]	V _{Ed}
SLU	B	157.80			157.80	6.04

Verifiche agli Stati Limite Esercizio - Tensioni in esercizio

Comb. caratteristica

 $\sigma_c = 19.2$ N/mm² $\sigma_s = 360.0$ N/mm²

Combinazione	posizione	N _{Ed} [kN]	M _{Ed} [kNm]	M _{Rd} [kNm]	$\frac{M_{Rd}}{M_{Ed}}$
SLE	B		7.66	85.44	11.15

Comb. Quasi perm.

 $\sigma_c = 14.4$ N/mm² $\sigma_s = 360.0$ N/mm²

Combinazione	posizione	N _{Ed} [kN]	M _{Ed} [kNm]	M _{Rd} [kNm]	$\frac{M_{Rd}}{M_{Ed}}$
SLE	B		7.66	85.44	11.15

Verifiche agli Stati Limite Esercizio - Fessurazione

Condizioni ambientali aggressive

armatura poco sensibile

 $\alpha_e = 6.00$ $\phi_{eq} = 14.00$
 $k_1 = 0.8$ $k_2 = 0.5$ $k_3 = 3.4$ $k_4 = 0.425$

Comb. Frequente

 $k_t = 0.6$ $w_{lim} = 0.3$ mm

Combinazione	posizione	N _{Ed} [kN]	M _{Ed} [kNm]	σ_s [MPa]	x [mm]	A _s [mm ²]
SLE	B		7.66	32	76	770
Combinazione	A _{c,eff} [mm ²]	ρ_{eff}	ϵ_{sm}	Δs_{max} [mm]	w _d [mm]	Verifica
SLE	108083	0.01	0.01%	517.81	0.05	OK

Comb. Quasi perm.

 $k_t = 0.4$ $w_{lim} = 0.2$ mm

Combinazione	posizione	N _{Ed} [kN]	M _{Ed} [kNm]	σ_s [MPa]	x [mm]	A _s [mm ²]
SLE	B		7.66	32	76	770
Combinazione	A _{c,eff} [mm ²]	ρ_{eff}	ϵ_{sm}	Δs_{max} [mm]	w _d [mm]	Verifica
SLE	108083	0.01	0.01%	517.81	0.05	OK

11.3. Verifica degli inghisaggi

Si riporta l'analisi degli inghisaggi alla struttura esistente per metro lineare: le sollecitazioni di verifica fanno riferimento alle più gravose calcolate al paragrafo precedente per la Sezione C.

L'analisi viene condotta attraverso il software di progettazione fornito dal produttore dell'ancorante: si rimanda alla Direzione Lavori la verifica della conformità della realizzazione con le ipotesi assunte in relazione.

Si noti che la piastra inserita nei calcoli costituisce unicamente un aspetto grafico e che non influisce ai fini delle analisi.

1 Dati da inserire

Tipo e dimensione dell'ancorante: **HIT-HY 200-A + Rebar 16mm**

Set Dinamico o qualunque soluzione idonea per il riempimento degli spazi anulari

Profondità di posa effettiva: $h_{ef, opti} = 284 \text{ mm}$ ($h_{ef, limit} = 320 \text{ mm}$)

Materiale: **B500B**

Certificazione No.: **ETA 11/0493**

Prova: **metodo di calcolo Valutazione ingegneristica SOFA BOND dopo la campagna di test ETAG BOND**

Fissaggio distanziato: $e_b = 0 \text{ mm}$ (Senza distanziamento); $t = 12 \text{ mm}$

Piastra d'ancoraggio: $l_x \times l_y \times t = 1000 \text{ mm} \times 598 \text{ mm} \times 12 \text{ mm}$; (Spessore della piastra raccomandato: non calcolato)

Profilo: **nessun profilo**

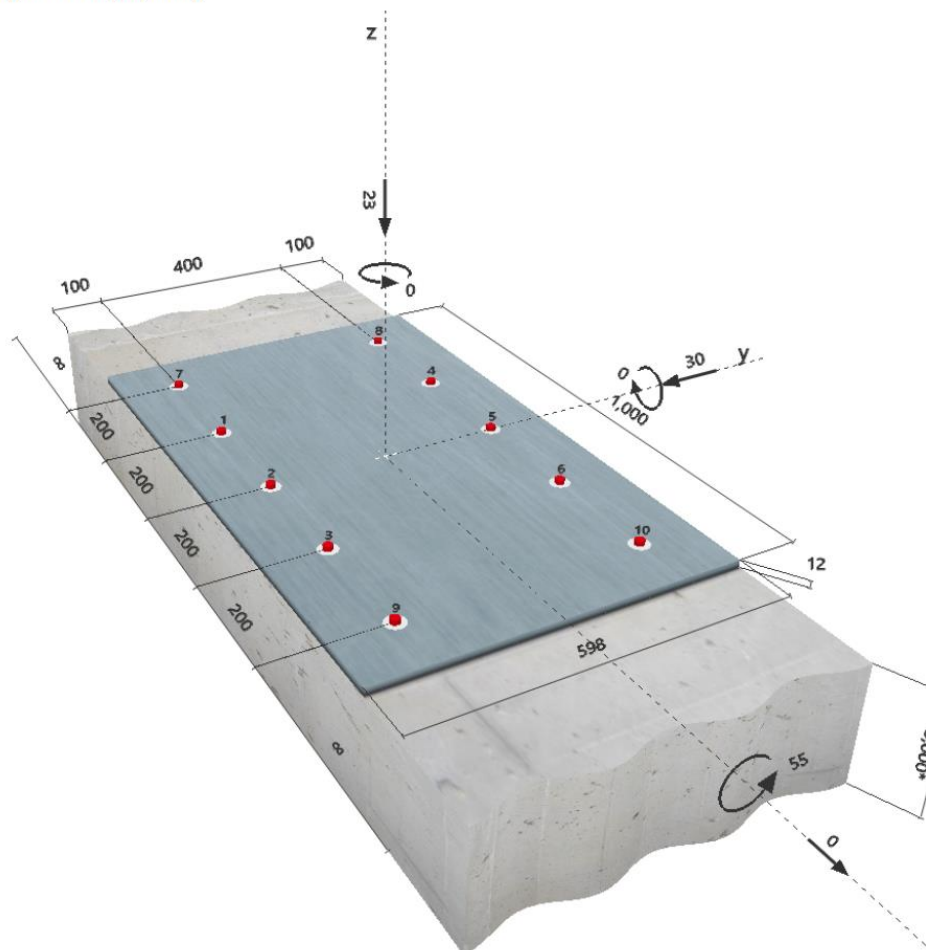
Materiale base: **non fessurato calcestruzzo, C25/30, $f_c = 30.00 \text{ N/mm}^2$; $h = 3000 \text{ mm}$, Temp. Breve/Lungo: $0/0 \text{ } ^\circ\text{C}$**

Installazione: **Foro eseguito con perforatore, Condizioni di installazione: asciutto**

Armatura: **nessuna armatura o interasse tra le armature $\geq 150 \text{ mm}$ (qualunque \varnothing) o $\geq 100 \text{ mm}$ ($\varnothing \leq 10 \text{ mm}$)
senza armatura di bordo longitudinale**



Geometria [mm] & Carichi [kN, kNm]



2 Condizione di carico/Carichi risultanti sull'ancorante

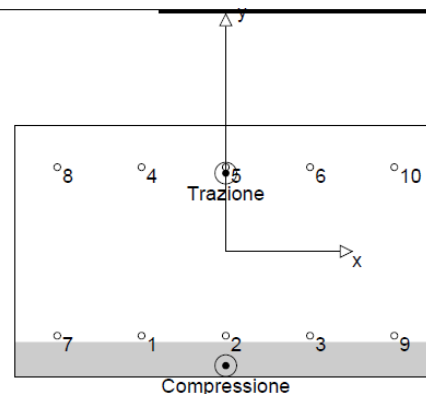
Condizione di carico: Carichi di progetto

Carichi sull'ancorante [kN]

Trazione: (+ Trazione, - Compressione)

Ancorante	Trazione	Taglio	Taglio in dir. x	Taglio in dir. y
1	0.756	3.000	0.000	-3.000
2	0.756	3.000	0.000	-3.000
3	0.756	3.000	0.000	-3.000
4	20.589	3.000	0.000	-3.000
5	20.589	3.000	0.000	-3.000
6	20.589	3.000	0.000	-3.000
7	0.756	3.000	0.000	-3.000
8	20.589	3.000	0.000	-3.000
9	0.756	3.000	0.000	-3.000
10	20.589	3.000	0.000	-3.000

Compressione max. nel calcestruzzo: 0.10 [‰]
 Max. sforzo di compressione nel calcestruzzo: 3.10 [N/mm²]
 risultante delle forze di trazione nel (x/y)=(0/186): 106.726 [kN]
 risultante delle forze di compressione (x/y)=(0/-271): 129.726 [kN]



3 Carico di trazione (EOTA TR 029, Sezione 5.2.2)

	Carico [kN]	Resistenza [kN]	Utilizzo β_N [%]	Stato
Rottura dell'acciaio*	20.589	79.286	26	OK
Rottura combinata conica del calcestruzzo e per sfilamento**	106.726	254.699	42	OK
Rottura conica del calcestruzzo**	106.726	129.287	83	OK
Fessurazione**	106.726	317.947	34	OK

*ancorante più sollecitato **gruppo di ancoranti (ancoranti sollecitati)

3.1 Rottura dell'acciaio

$N_{Rk,s}$ [kN]	$\gamma_{M,s}$	$N_{Rd,s}$ [kN]	N_{Sd} [kN]
111.000	1.400	79.286	20.589

3.2 Rottura combinata conica del calcestruzzo e per sfilamento

$A_{p,N}$ [mm ²]	$A_{p,N}^0$ [mm ²]	$\tau_{Rk,ucr,25}$ [N/mm ²]	$s_{cr,Np}$ [mm]	$c_{cr,Np}$ [mm]	c_{min} [mm]
722863	163840	12.00	405	202	100
ψ_c	$\tau_{Rk,ucr}$ [N/mm ²]	k	$\psi_{g,Np}^0$	$\psi_{g,Np}$	
1.000	12.00	3.200	2.029	1.143	
$e_{c1,N}$ [mm]	$\psi_{ec1,Np}$	$e_{c2,N}$ [mm]	$\psi_{ec2,Np}$	$\psi_{s,Np}$	$\psi_{re,Np}$
0	1.000	186	0.521	0.848	1.000
$N_{Rk,p}^0$ [kN]	$N_{Rk,p}$ [kN]	$\gamma_{M,p}$	$N_{Rd,p}$ [kN]	N_{Sd} [kN]	
171.305	382.049	1.500	254.699	106.726	

3.3 Rottura conica del calcestruzzo

$A_{c,N}$ [mm ²]	$A_{c,N}^0$ [mm ²]	$c_{cr,N}$ [mm]	$s_{cr,N}$ [mm]		
991200	725904	426	852		
$e_{c1,N}$ [mm]	$\psi_{ec1,N}$	$e_{c2,N}$ [mm]	$\psi_{ec2,N}$	$\psi_{s,N}$	$\psi_{re,N}$
0	1.000	186	0.696	0.770	1.000
$N_{Rk,c}^0$ [kN]	$\gamma_{M,c}$	$N_{Rd,c}$ [kN]	N_{Sd} [kN]		k_1
264.764	1.500	129.287	106.726		10.100

3.4 Fessurazione

$A_{c,N}$ [mm ²]	$A_{c,N}^0$ [mm ²]	$c_{cr,sp}$ [mm]	$s_{cr,sp}$ [mm]	$\psi_{h,sp}$	
820800	322624	284	568	1.454	
$e_{c1,N}$ [mm]	$\psi_{ec1,N}$	$e_{c2,N}$ [mm]	$\psi_{ec2,N}$	$\psi_{s,N}$	$\psi_{re,N}$
0	1.000	186	0.604	0.806	1.000
$N_{Rk,c}^0$ [kN]	$\gamma_{M,sp}$	$N_{Rd,sp}$ [kN]	N_{Sd} [kN]		k_1
264.764	1.500	317.947	106.726		10.100

4 Carico di taglio (EOTA TR 029, Sezione 5.2.3)

	Carico [kN]	Resistenza [kN]	Utilizzo β_V [%]	Stato
Rottura dell'acciaio (senza braccio di leva)*	3.000	36.667	9	OK
Rottura dell'acciaio (con braccio di leva)*	N/A	N/A	N/A	N/A
Rottura per pryout**	30.000	371.372	9	OK
Rottura del bordo del calcestruzzo in direzione y-***	30.000	75.845	40	OK

*ancorante più sollecitato **gruppo di ancoranti (ancoranti specifici)

4.1 Rottura dell'acciaio (senza braccio di leva)

$V_{Rk,s}$ [kN]	$\gamma_{M,s}$	$V_{Rd,s}$ [kN]	V_{Sd} [kN]
55.000	1.500	36.667	3.000

4.2 Rottura per pryout (cono del calcestruzzo)

$A_{c,N}$ [mm ²]	$A_{c,N}^0$ [mm ²]	$c_{cr,N}$ [mm]	$s_{cr,N}$ [mm]	k-factor	
991200	725904	426	852	2.000	
$e_{c1,V}$ [mm]	$\psi_{ec1,N}$	$e_{c2,V}$ [mm]	$\psi_{ec2,N}$	$\psi_{s,N}$	$\psi_{re,N}$
0	1.000	0	1.000	0.770	1.000
$N_{Rk,c}^0$ [kN]	$\gamma_{M,c,p}$	$V_{Rd,c1}$ [kN]	V_{Sd} [kN]		
264.764	1.500	371.372	30.000		

4.3 Rottura del bordo del calcestruzzo in direzione y-

l_f [mm]	d_{nom} [mm]	k_1	α	β	
284	16.0	2.400	0.169	0.069	
c_1 [mm]	$A_{c,V}$ [mm ²]	$A_{c,V}^0$ [mm ²]			
100	165000	45000			
$\psi_{s,V}$	$\psi_{h,V}$	$\psi_{a,V}$	$e_{c,V}$ [mm]	$\psi_{ec,V}$	$\psi_{re,V}$
1.000	1.000	1.000	0	1.000	1.000
$V_{Rk,c}^0$ [kN]	$\gamma_{M,c}$	$V_{Rd,c}$ [kN]	V_{Sd} [kN]		
31.027	1.500	75.845	30.000		

5 Carichi combinati di trazione e di taglio (EOTA TR 029, Sezione 5.2.4)

β_N	β_V	α	Utilizzo $\beta_{N,V}$ [%]	Stato
0.826	0.396	1.500	100	OK

$$\beta_N^2 + \beta_V^2 \leq 1$$

6 Spostamenti (ancorante più sollecitato)

Carichi a breve termine:

N_{Sk}	=	0.560 [kN]	δ_N	=	0.002 [mm]
V_{Sk}	=	4.444 [kN]	δ_V	=	0.178 [mm]
			δ_{NV}	=	0.178 [mm]

Carichi a lungo termine:

N_{Sk}	=	0.560 [kN]	δ_N	=	0.003 [mm]
V_{Sk}	=	4.444 [kN]	δ_V	=	0.267 [mm]
			δ_{NV}	=	0.267 [mm]

L'ancoraggio risulta verificato!

8 Dati relativi all'installazione

Piastra d'ancoraggio, acciaio: -

Profilo: nessun profilo; 0 x 0 x 0 mm

Diametro del foro nella piastra: $d_f = 16$ mm

Spessore della piastra (input): 12 mm

Spessore della piastra raccomandato: non calcolato

Pulizia: E' necessaria una pulizia accurata del foro (Premium cleaning)

Tipo e dimensione dell'ancorante: HIT-HY 200-A + Rebar 16mm

Coppia di serraggio: 0.000 kNm

Diametro del foro nel materiale base: 20 mm

Profondità del foro nel materiale base: 284 mm

Spessore minimo del materiale base: 324 mm

8.1 Accessori richiesti

Perforazione

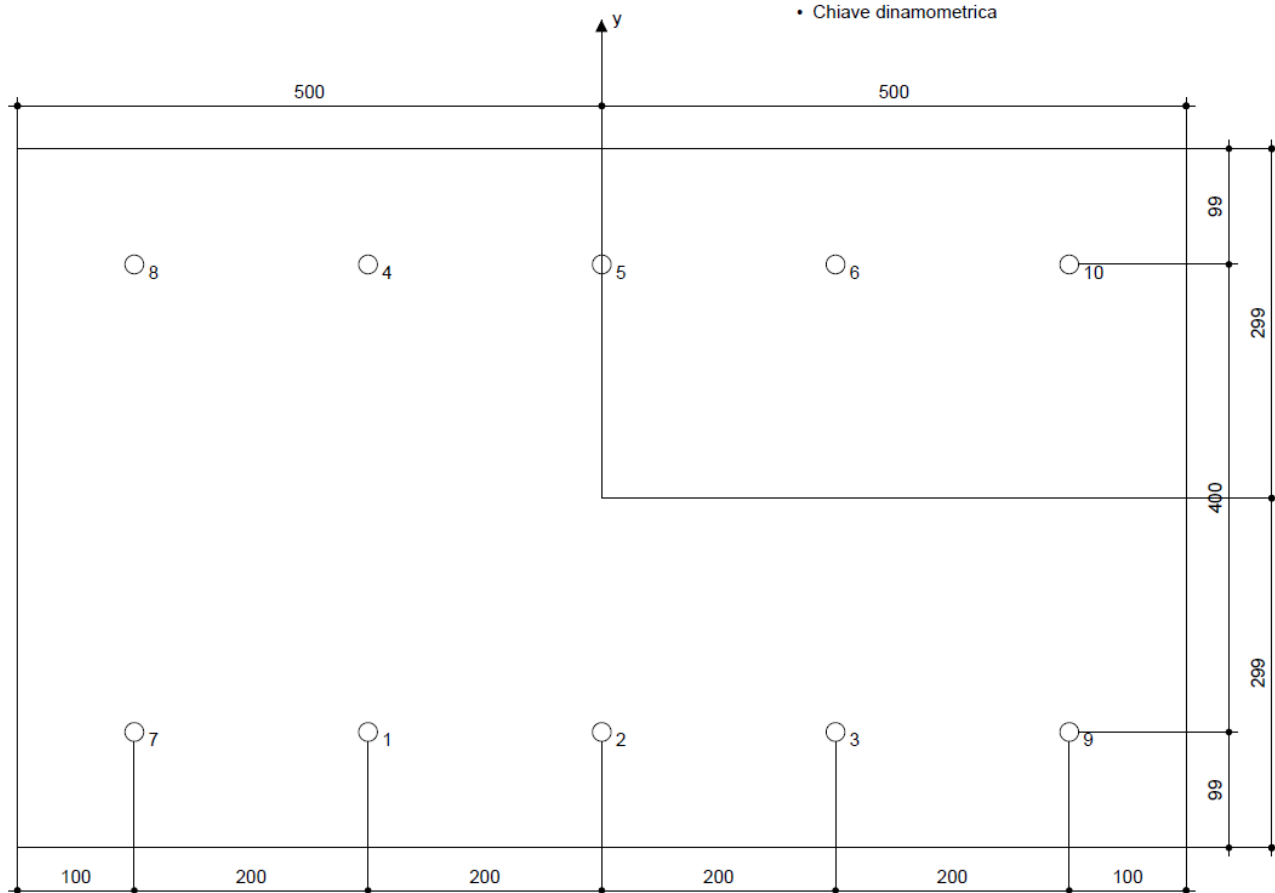
- Idoneo per rotopercussione
- Dimensione appropriata della punta del trapano

Pulizia

- Aria compressa con i relativi accessori necessari per soffiare a partire dal fondo del foro.
- Diametro appropriato dello scovolino

Posa

- Il dispenser include il portacartucce e il miscelatore
- Per installazioni profonde è necessario utilizzare l'ugello per iniezione
- Set Dinamico
- Chiave dinamometrica



Coordinate dell'ancorante [mm]

Ancorante	x	y	c _{-x}	c _{+x}	c _{-y}	c _{+y}
1	-200	-200	-	-	100	500
2	0	-200	-	-	100	500
3	200	-200	-	-	100	500
4	-200	200	-	-	500	100
5	0	200	-	-	500	100

Ancorante	x	y	c _{-x}	c _{+x}	c _{-y}	c _{+y}
6	200	200	-	-	500	100
7	-400	-200	-	-	100	500
8	-400	200	-	-	500	100
9	400	-200	-	-	100	500
10	400	200	-	-	500	100

12. SCALA IN CEMENTO ARMATO

A seguire si riporta il dimensionamento della scala posta in adiacenza al muro numero 1.

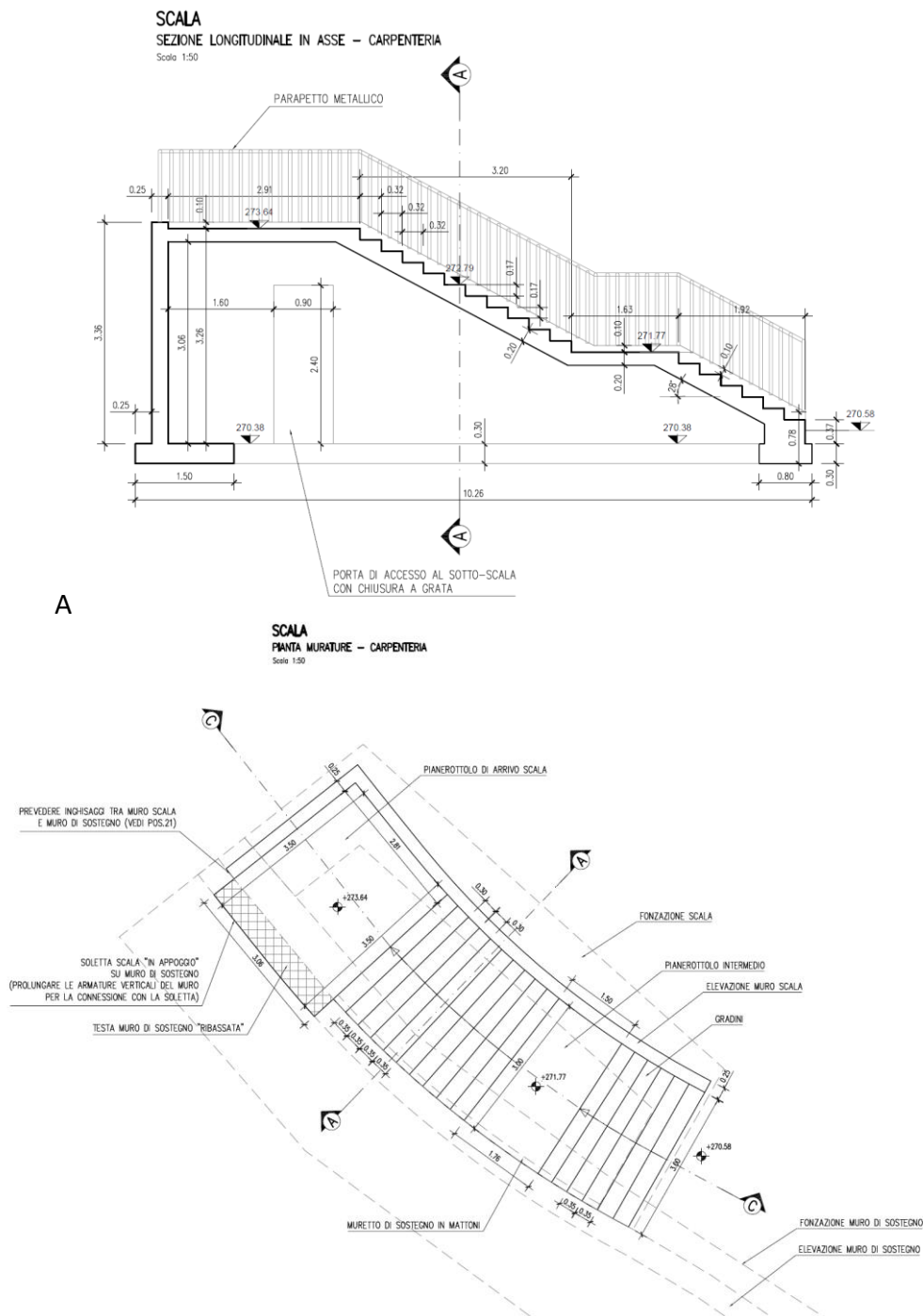


Figura 12.1 – Sezione longitudinale e pianta scala

Ipotesi di calcolo:

- Gradino calcolato ipotizzando uno schema statico di appoggio-appoggio;
- Verifiche in combinazione FREQUENTE e QUASI PERMANENTE eseguite con le sollecitazioni calcolate in combinazione RARA;
- Verifica a capacità portante della fondazione è implicitamente eseguita imponendo una pressione limite massima pari a 50 kN/mq (cautelativo);

12.1. Carichi e sollecitazioni

Geometria scala

L =	3,20 m	luce di calcolo gradino in appoggio
Sp,sol =	0,20 m	spessore soletta
P =	0,32 m	pedata gradino (medio)
A =	0,17 m	alzata gradino
i =	28,00 °	inclinazione rampe
Hmax =	3,00 m	altezza massima muro di supporto scala
Sp,muro =	0,25 m	spessore muro di supporto scala

Carichi scala

γ_{cls} =	25,00 kN/mc	peso specifico cls
PP,s =	5,66 kN/mq	peso proprio soletta (proiezione orizzontale)
PP,g =	2,13 kN/mq	peso proprio gradini (proiezione orizzontale)
PP,m =	18,75 kN/m	peso proprio muro di supporto scala
Var =	5,00 kN/mq	sovraccarico variabile (proiezione orizzontale)

Sollecitazioni gradino

γ_{G1} =	1,30	coeff. parziale carichi G1
γ_{G2} =	1,50	coeff. parziale carichi G2
γ_Q =	1,50	coeff. parziale carichi Q
Qslu =	18,05 kN/mq	carico totale SLU
Mslu =	23,10 kNm/m	momento flettente SLU
Vslu =	28,88 kN/m	taglio SLU
Qrara =	12,79 kN/mq	carico totale comb. RARA
Mrara =	16,37 kNm/m	momento flettente comb. RARA

Sollecitazioni fondazione

F,slu =	53,25 kN/m	carico SLU a estradosso fondazione
Bf =	1,50 m	base fondazione continua
Hf =	0,30 m	altezza fondazione continua
Pf =	11,25 kN/m	peso fondazione continua
Ptot,slu =	67,88 kN/m	carico totale SLU a base fondazione

$p_{max} = 45,25 \text{ kN/mq}$ pressione SLU sul piano di posa della fondazione

Sollecitazioni su "mensole" fondazione

$L = 0,90 \text{ m}$ luce di calcolo "sbalzo" di fondazione
 $q = 45,25 \text{ kN/mq}$ pressione SLU sul piano di posa della fondazione
 $M_{slu} = 18,33 \text{ kNm/m}$ momento flettente SLU
 $V_{slu} = 40,73 \text{ kN/m}$ taglio SLU
 $M_{rara} = 14,10 \text{ kNm/m}$ momento flettente RARA ($M_{rara} = M_{slu}/1.30$)

12.2. Verifiche strutturali gradino

Caratteristiche meccaniche dei materiali

Calcestruzzo	C32/40	$R_{ck} = 40$	N/mm ²	$f_{ck} = 32$	N/mm ²
$\gamma_c =$	1,5	$\alpha_{cc} = 0,85$		$f_{cd} = 18,13$	N/mm ²
		$E_c = 33346$	N/mm ²	$f_{ctm} = 3,02$	N/mm ²
Acciaio	B450C	$E_s = 200000$	N/mm ²	$f_{yk} = 450$	N/mm ²
$\gamma_s =$	1,15	$\epsilon'_{se} = 1,96$		$f_{yd} = 391,3$	N/mm ²

Caratteristiche geometriche della sezione

$B = 1000$ mm base
 $H = 200$ mm altezza
 $c = 45$ mm coprifer.asse barra

n.	ϕ (mm)	A_s (mm ²)	y (mm)
5	12	565	45
		-	
		-	
5	12	565	155

N_{Ed} positivo di compressione

M_{Ed} positivo se tende le fibre inferiori della sezione

y distanza dell'armatura dal lembo superiore

$\Sigma 1131 \text{ mm}^2$

Verifiche agli Stati Limite Ultimi

Flessione Momento resistente ultimo $N_{Rd,lim} = 80\% A_c f_{cd} + A_{s,tot} f_{yd} = 3343,89 \text{ kN}$

Combinazione	posizione	N_{Ed} [kN]	M_{Ed} [kNm]	V_{Ed} [kN]	M_{Rd} [kNm]	$\frac{M_{Rd}}{M_{Ed}}$
SLU	max		23,10	28,88	37,61	1,63

Taglio

$\phi_{staffe} =$ mm $\alpha = 90$ ° inclinazione staffa
 $n_b =$ n° braccia $s = 100$ mm passo

Combinazione	posizione	$V_{Rd,0}$ [kN]	$V_{Rd,s}$ [kN]	$V_{Rd,c}$ [kN]	V_{Rd} [kN]	$\frac{V_{Rd}}{V_{Ed}}$
SLU	max	86,80			86,80	3,01

Verifiche agli Stati Limite Esercizio - Tensioni in esercizio

Comb. caratteristica $\sigma_c = 19,2$ N/mm² $\sigma_s = 360,0$ N/mm²

Combinazione	posizione	N_{Ed}	M_{Ed}	M_{Rd}	$\frac{M_{Rd}}{M_{Ed}}$
--------------	-----------	----------	----------	----------	-------------------------

		[kN]	[kNm]	[kNm]	M_{Ed}
RARA	campata		16,37	28,40	1,73

Comb. Quasi perm.

 $\sigma_c = 14,4$ N/mm² $\sigma_s = 360,0$ N/mm²

Combinazione	posizione	N_{Ed} [kN]	M_{Ed} [kNm]	M_{Rd} [kNm]	$\frac{M_{Rd}}{M_{Ed}}$
RARA	campata		16,37	28,40	1,73

Verifiche agli Stati Limite Esercizio - Fessurazione

Condizioni
ambientali aggressive

armatura poco sensibile

 $\alpha_e = 6,00$ $\phi_{eq,M+} = 12,00$ $\phi_{eq,M-} = 12,00$
 $k_1 = 0,8$ $k_2 = 0,5$ $k_3 = 3,4$ $k_4 = 0,425$

Comb. Frequente

 $k_t = 0,6$ $w_{lim} = 0,3$ mm

Combinazione	posizione	N_{Ed} [kN]	M_{Ed} [kNm]	σ_s [MPa]	x [mm]	A_s [mm ²]
RARA	campata		16,37	206	44	565

Combinazione	$A_{c,eff}$ [mm ²]	ρ_{eff}	ϵ_{sm}	Δs_{max} [mm]	w_d [mm]	Verifica
RARA	52099	0,01	0,06%	320,55	0,20	OK

Comb. Quasi perm.

 $k_t = 0,4$ $w_{lim} = 0,2$ mm

Combinazione	posizione	N_{Ed} [kN]	M_{Ed} [kNm]	σ_s [MPa]	x [mm]	A_s [mm ²]
RARA	campata		16,37	206	44	565

Combinazione	$A_{c,eff}$ [mm ²]	ρ_{eff}	ϵ_{sm}	Δs_{max} [mm]	w_d [mm]	Verifica
RARA	52099	0,01	0,06%	320,55	0,198	OK

12.3. Verifiche strutturali plinto

Caratteristiche meccaniche dei materiali

Calcestruzzo C25/30 $R_{ck} = 30$ N/mm² $f_{ck} = 25$ N/mm²
 $\gamma_c = 1,5$ $\alpha_{cc} = 0,85$ $f_{cd} = 14,17$ N/mm²
 $E_c = 31476$ N/mm² $f_{ctm} = 2,56$ N/mm²

Acciaio B450C $E_s = 200000$ N/mm² $f_{yk} = 450$ N/mm²
 $\gamma_s = 1,15$ $\epsilon'_{se} = 1,96$ $f_{yd} = 391,3$ N/mm²

Caratteristiche geometriche della sezione

B = 1000 mm base
H = 300 mm altezza
c = 45 mm coprifer.asse barra

n.	ϕ (mm)	A_s (mm ²)	y (mm)
5	12	565	45
		-	

N_{Ed} positivo di compressione

M_{Ed} positivo se tende le fibre inferiori della sezione

y distanza dell'armatura dal lembo superiore

		-	
		-	
		-	
5	12	565	255
		Σ	1131 mm ²

Verifiche agli Stati Limite Ultimi

Flessione		Momento resistente ultimo	$N_{Rd,lim} =$		$80\% A_c f_{cd} + A_{s,tot} f_{yd}$		3842,55 kN
Combinazione	posizione	N_{Ed} [kN]	M_{Ed} [kNm]	V_{Ed} [kN]	M_{Rd} [kNm]	$\frac{M_{Rd}}{M_{Ed}}$	
SLU	max		18,33	40,73	59,02	3,22	

Taglio

$\phi_{staffe} =$ mm $\alpha = 90$ ° inclinazione staffa
 $n_b =$ n° braccia $s = 100$ mm passo

Combinazione	posizione	$V_{Rd,0}$ [kN]	$V_{Rd,s}$ [kN]	$V_{Rd,c}$ [kN]	V_{Rd} [kN]	$\frac{V_{Rd}}{V_{Ed}}$
SLU	max	115,55			115,55	2,84

Verifiche agli Stati Limite Esercizio - Tensioni in esercizio

Comb. caratteristica $\sigma_c = 15,0$ N/mm² $\sigma_s = 360,0$ N/mm²

Combinazione	posizione	N_{Ed} [kN]	M_{Ed} [kNm]	M_{Rd} [kNm]	$\frac{M_{Rd}}{M_{Ed}}$
RARA	campata		14,10	47,26	3,35

Comb. Quasi perm. $\sigma_c = 11,3$ N/mm² $\sigma_s = 360,0$ N/mm²

Combinazione	posizione	N_{Ed} [kN]	M_{Ed} [kNm]	M_{Rd} [kNm]	$\frac{M_{Rd}}{M_{Ed}}$
RARA	campata		14,10	47,26	3,35

Verifiche agli Stati Limite Esercizio - Fessurazione

Condizioni ambientali ordinarie armatura poco sensibile
 $\alpha_e = 6,35$ $\phi_{eq,M+} = 12,00$ $\phi_{eq,M-} = 12,00$
 $k_1 = 0,8$ $k_2 = 0,5$ $k_3 = 3,4$ $k_4 = 0,425$

Comb. Frequente $k_t = 0,6$ $w_{lim} = 0,4$ mm

Combinazione	posizione	N_{Ed} [kN]	M_{Ed} [kNm]	σ_s [MPa]	x [mm]	A_s [mm ²]
RARA	campata		14,10	106	56	565

Combinazione	$A_{c,eff}$ [mm ²]	ρ_{eff}	ϵ_{sm}	Δs_{max} [mm]	w_d [mm]	Verifica
RARA	81212	0,01	0,03%	425,57	0,14	OK

Comb. Quasi perm. $k_t = 0,4$ $w_{lim} = 0,3$ mm

Combinazione	posizione	N_{Ed}	M_{Ed}	σ_s	x	A_s
--------------	-----------	----------	----------	------------	---	-------

		[kN]	[kNm]	[MPa]	[mm]	[mm ²]
RARA	campata		14,10	106	56	565

Combinazione	$A_{c,eff}$ [mm ²]	ρ_{eff}	ϵ_{sm}	Δ_{smax} [mm]	w_d [mm]	Verifica
RARA	81212	0,01	0,03%	425,57	0,136	OK

13. SCALA METALLICA

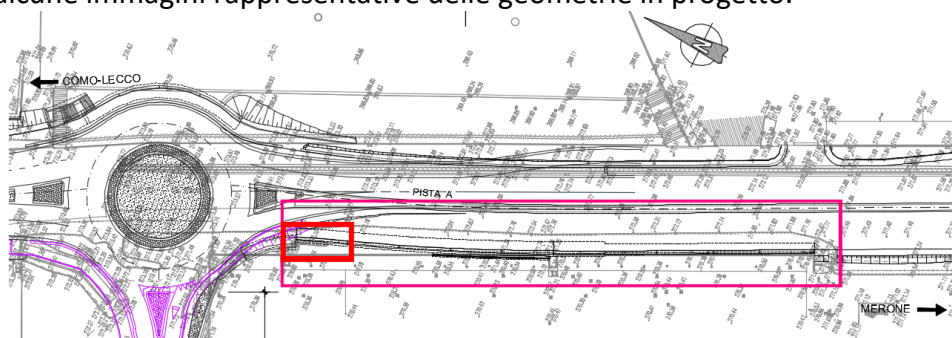
In progetto è prevista la realizzazione di una nuova scala metallica di servizio ubicata lateralmente al muro MU03, che collega il piano stradale al corridoio per manutenzione.

La struttura, che copre un dislivello di circa 3.50m, presenta una larghezza interna pari a 1.00m ed è composta da due rampe, separate da un pianerottolo lungo 1.00m. I cosciali laterali, giuntati nella zona centrale, sono costituiti da UPN180, e fungono da appoggio per i gradini e il pianerottolo in grigliato.

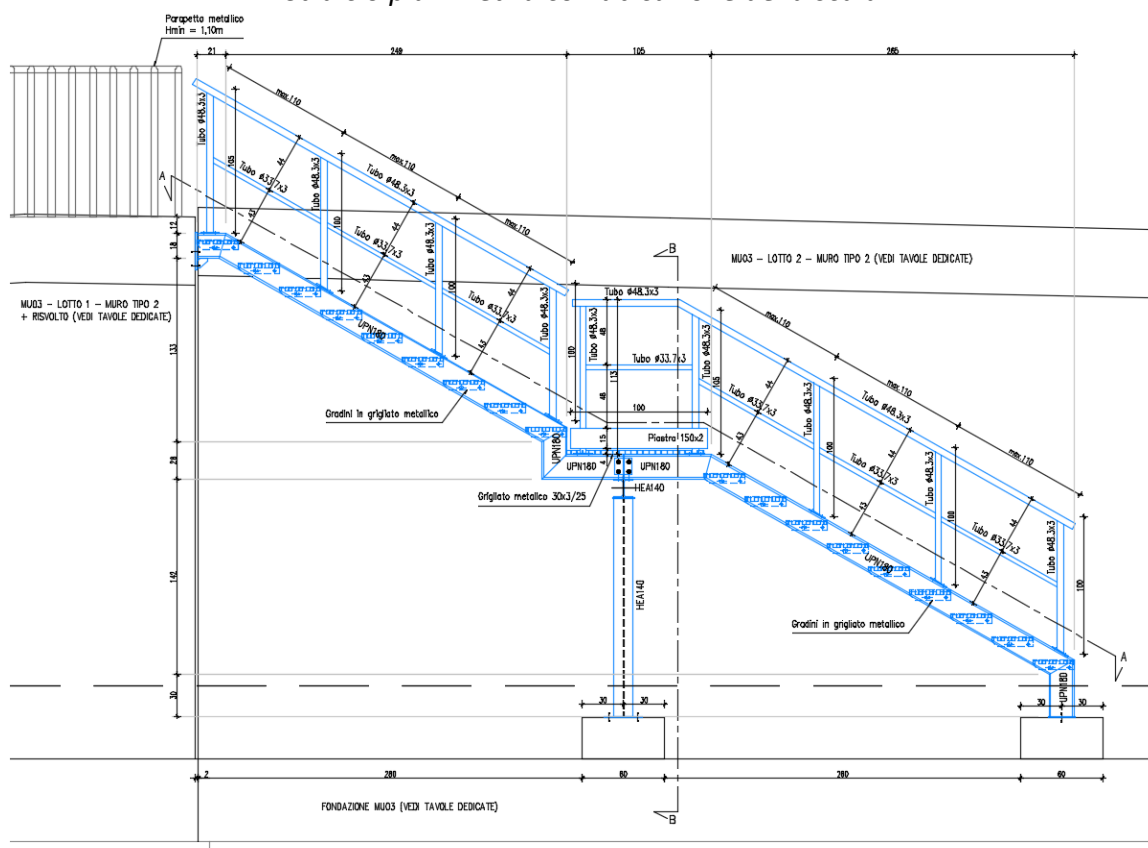
I parapetti sono principalmente realizzati attraverso montanti tubolari $\phi 48.3 \times 3$ mm, disposti ad interasse massimo di 110cm, collegati superiormente e nella zona centrale da profili tubolari longitudinali.

La scala si collega al paramento verticale del muro in c.a., e alla sua fondazione, mediante piastre e tasselli chimici; un telaio realizzato con putrelle HEA140 fornisce infine l'appoggio centrale alla struttura.

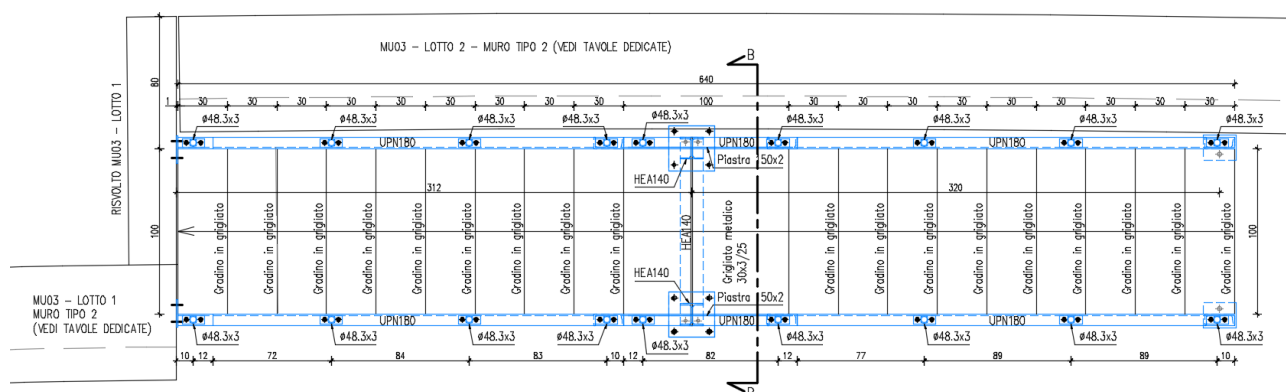
Si riportano alcune immagini rappresentative delle geometrie in progetto.



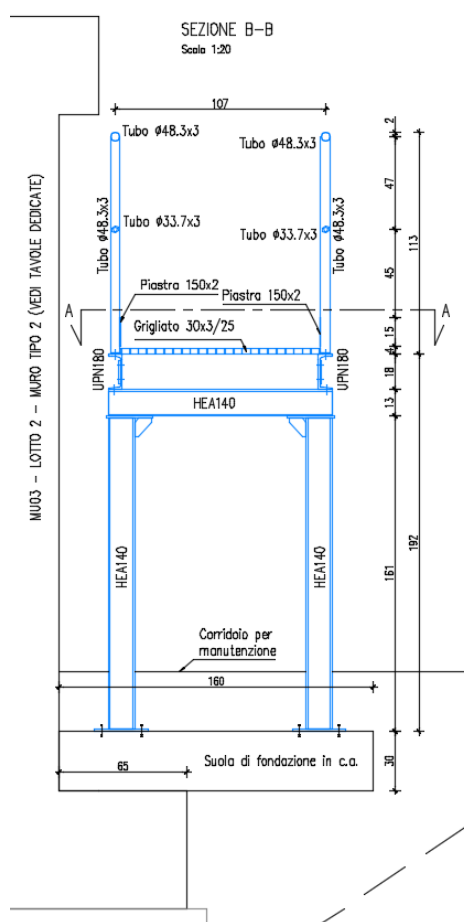
Stralcio planimetria con ubicazione della scala



Prospetto longitudinale carpenteria metallica



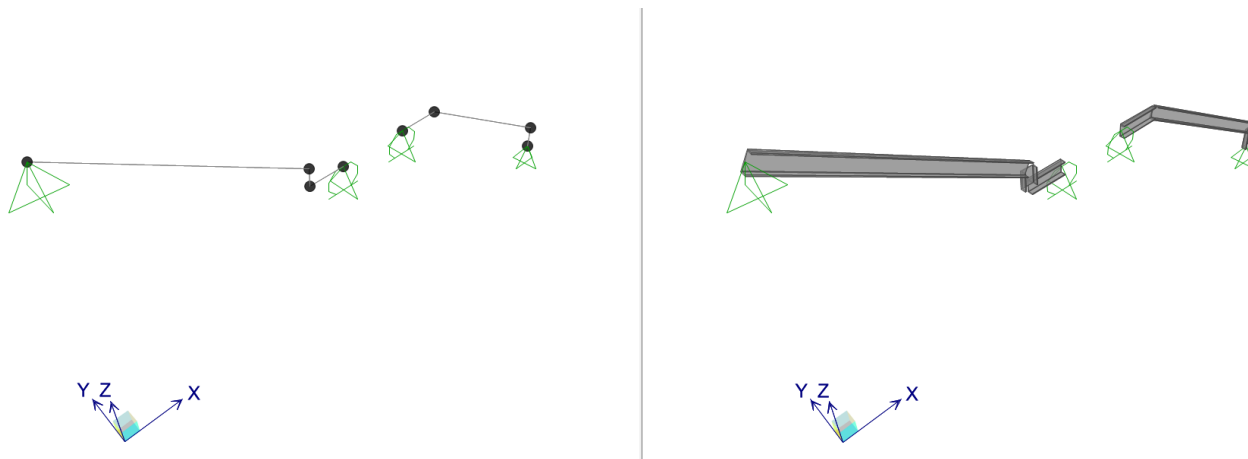
Sezione A-A della carpenteria metallica



Sezione B-B trasversale carpenteria metallica

Al fine di portare a termine le calcolazioni necessarie a dimensionamenti e verifiche degli elementi strutturali, si è optato per linea di analisi che ha previsto:

- la verifica manuale, mediante fogli Excel adeguatamente compilati ed autovalidati, dei profili costituenti i parapetti e della suola di fondazione in c.a.;
- la realizzazione di un modello piano ad Elementi Finiti, attraverso il software SAP2000, rappresentativo dei cosciali UPN;
- l'analisi del fissaggio della scala metallica (inghisaggi con resina), mediante il software di verifica fornito dal produttore dei dispositivi



Modello FEM 3D dei cosciali - unifilare ed estruso

13.1. Analisi dei carichi e coefficienti di carico

CARICHI

Nelle diverse analisi si è tenuto conto dei pesi propri degli elementi, calcolati mediante la valutazione delle sezioni strutturali e dei pesi specifici dei materiali.

γ calcestruzzo = 25,00 kN/mc

γ acciaio = 78,50 kN/mc

Per quanto riguarda le azioni variabili agenti sulle scale, nonostante costituiscano una struttura accessoria di servizio, sono stati considerati i carichi di seguito.

$q_k = 2,00 \text{ kN/mq}$

Azione gravitazionale

$H_k = 1,00 \text{ kN/m}$

Azione orizzontale sui parapetti

COEFFICIENTI DI CARICO

$\gamma_{G1} = 1.35$ Coefficiente parziale azioni permanenti

$\gamma_{G2} = 1.50$ Coefficiente parziale azioni permanenti portati

$\gamma_Q = 1.50$ Coefficiente parziale azioni variabili

13.2. I parapetti

I CORRIMANO

Si riporta la verifica dei corrimano composti da profili tubolari tondi $\phi 48.3 \times 3 \text{ mm}$.

Si considera agente sul profilo la spinta orizzontale pari al carico variabile di $1,00 \text{ kN/m}$, adeguatamente coefficientata con $\gamma_Q = 1.5$, e valutata per l'interasse massimo di disposizione dei montanti.

Si esegue la verifica a flessione e compressione assiale dell'asta, controllando inoltre che l'instabilità non sia una potenziale causa di collasso.

Le massime sollecitazioni agenti sulla trave valgono:

$N_{Ed} =$	0.00	kN	azione assiale di progetto (>0 se di trazione)
$M_{y,Ed} =$	0.23	kNm	momento flettente attorno all'asse y-y di progetto
$M_{z,Ed} =$	0.00	kNm	momento flettente attorno all'asse z-z di progetto
$V_{y,Ed} =$	1.65	kN	azione tagliante di progetto lungo l'asse y
$V_{z,Ed} =$		kN	azione tagliante di progetto lungo l'asse z

Le sollecitazioni risultanti sono quindi:

$$\begin{aligned} N_{Ed} &= 0.00 \text{ kN} \\ M_{Ed} &= 0.23 \text{ kNm} \\ V_{Ed} &= 1.65 \text{ kN} \\ \Delta M_{Ed} &= 0.00 \text{ kNm} \quad \text{momento flettente aggiuntivo per sezioni di classe 4} \\ e_N &= 0 \text{ mm} \quad \text{eccentricità del baricentro della sezione efficace} \end{aligned}$$

La sezione oggetto delle verifiche è costituito da un tubo tondo 48.3x2.9 dalle seguenti caratteristiche:

Caratteristiche geometriche della sezione

$$\begin{aligned} A &= 414 \text{ mm}^2 & A_v &= 263 \text{ mm}^2 & A_{eff} &= 414 \text{ mm}^2 \\ d &= 48.3 \text{ mm} & t &= 2.9 \text{ mm} & \text{classe} &= 1 \\ W_{pl} &= 5985 \text{ mm}^3 & W_{el} &= 4431 \text{ mm}^3 & W_{eff} &= 4431 \text{ mm}^3 \\ L_0 &= 1100 \text{ mm} & I &= 107002 \text{ mm}^4 & i &= 16 \text{ mm} \end{aligned}$$

Caratteristiche del materiale

$$\begin{aligned} f_y &= 235 \text{ MPa} & E &= 210000 \text{ MPa} & G &= 80769 \text{ MPa} \\ \gamma_{M0} &= 1.05 & \gamma_{M1} &= 1.10 \end{aligned}$$

Resistenze caratteristiche e di progetto:

$$\begin{aligned} N_{Rk} &= A \cdot f_y = 97.20 \text{ kN} \\ N_{Rd} &= A \cdot f_y / \gamma_{M0} = 92.57 \text{ kN} \\ M_{Rk} &= W \cdot f_y = 1.41 \text{ kNm} \\ M_{Rd} &= W \cdot f_y / \gamma_{M0} = 1.34 \text{ kNm} \\ V_{pl,Rd} &= A_v \cdot (f_y / \sqrt{3}) / \gamma_{M0} = 34.03 \text{ kN} > V_{Ed} \end{aligned}$$

Verifica di resistenza per flessione e compressione

$$0.50 V_{pl,Rd} = 17.01 \text{ kN} > V_{Ed}$$

l'effetto dell'azione tagliente può essere trascurato nella valutazione del momento resistente della sezione

$$N_{Ed} / N_{Rd} + (M_{Ed} + \Delta M_{Ed}) / M_{Rd} = 0.17 < 1$$

Verifica di instabilità per flessione e compressione

$$N_{Ed} / (\chi N_{Rk} / \gamma_{M1}) + k_{yy} (M_{Ed} + \Delta M_{Ed}) / (M_{Rk} / \gamma_{M1}) = 0.18 < 1$$

dove:

$$\begin{aligned} W &= [\text{mm}^3] & 5985 \\ \chi &= 1 / [\phi + (\phi^2 - \lambda^2)^{0.5}] = & 0.71 \\ \phi &= 0.50 \cdot [1 + \alpha \cdot (\lambda - 0.2) + \lambda^2] = & 0.89 \\ \alpha &= & 0.49 \\ \text{curva} &= & c \\ \lambda &= \lambda / \lambda_1 [\beta]^{0.5} = & 0.73 \\ \lambda_1 &= L_{0,i} / i_1 = & 68.39 \\ \lambda_{1i} &= 93.9 \varepsilon & 93.90 \\ \varepsilon &= (235 / f_y)^{0.5} = & 1.00 \\ k_{yy} &= & 1.00 \\ & \text{coeff. di variazione M} \\ \psi_i &= \text{flettente} & 1.00 \end{aligned}$$

I MONTANTI

Si riporta la verifica dei montanti composti da profili tubolari tondi $\phi 48.3 \times 3 \text{ mm}$., considerando su di essi agente, oltre al peso proprio, la reazione dei corrimano di testa, comprensiva di peso e spinta orizzontale.

$$l_{\max} = 1.10 \text{ m} \quad \text{Interasse massimo di disposizione dei montanti}$$

$L = 1.10\text{m}$

Luce di calcolo del montante

Si esegue la verifica a flessione e compressione assiale dell'asta, controllando inoltre che l'instabilità non sia una potenziale causa di collasso.

Le massime sollecitazioni agenti sulla trave valgono:

$N_{Ed} =$	-0.14	kN	azione assiale di progetto (>0 se di trazione)
$M_{y,Ed} =$	1.82	kNm	momento flettente attorno all'asse y-y di progetto
$M_{z,Ed} =$	0.00	kNm	momento flettente attorno all'asse z-z di progetto
$V_{y,Ed} =$	1.65	kN	azione tagliante di progetto lungo l'asse y
$V_{z,Ed} =$		kN	azione tagliante di progetto lungo l'asse z

Le sollecitazioni risultanti sono quindi:

$N_{Ed} =$	-0.14	kN	
$M_{Ed} =$	1.82	kNm	
$V_{Ed} =$	1.65	kN	
$\Delta M_{Ed} =$	0.00	kNm	momento flettente aggiuntivo per sezioni di classe 4
$e_N =$	0	mm	eccentricità del baricentro della sezione efficace

La sezione oggetto delle verifiche è costituito da un tubo tondo 48.3x2.9 dalle seguenti caratteristiche:

Caratteristiche geometriche della sezione

$A =$	414	mm ²	$A_v =$	263	mm ²	$A_{eff} =$	414	mm ²
$d =$	48.3	mm	$t =$	2.9	mm	classe =	1	
$W_{pl} =$	5985	mm ³	$W_{el} =$	4431	mm ³	$W_{eff} =$	4431	mm ³
$L_0 =$	2200	mm	$I =$	107002	mm ⁴	$i =$	16	mm

Caratteristiche del materiale

$f_y =$	355	MPa	$E =$	210000	MPa	$G =$	80769	MPa
$\gamma_{M0} =$	1.05		$\gamma_{M1} =$	1.10				

Resistenze caratteristiche e di progetto:

$N_{Rk} = A \cdot f_y =$	146.84	kN		
$N_{Rd} = A \cdot f_y / \gamma_{M0} =$	139.84	kN		
$M_{Rk} = W \cdot f_y =$	2.12	kNm		
$M_{Rd} = W \cdot f_y / \gamma_{M0} =$	2.02	kNm		
$V_{pl,Rd} = A_v \cdot (f_y / \sqrt{3}) / \gamma_{M0} =$	51.40	kN	>	V_{Ed}

Verifica di resistenza per flessione e compressione

$$0,50 V_{pl,Rd} = 25.70 \text{ kN} > V_{Ed}$$

l'effetto dell'azione tagliante può essere trascurato nella valutazione del momento resistente della sezione

$$N_{Ed} / N_{Rd} + (M_{Ed} + \Delta M_{Ed}) / M_{Rd} = 0.90 < 1$$

Verifica di instabilità per flessione e compressione

$$N_{Ed} / (\chi N_{Rk} / \gamma_{M1}) + k_{yy} (M_{Ed} + \Delta M_{Ed}) / (M_{Rk} / \gamma_{M1}) = 0.95 < 1$$

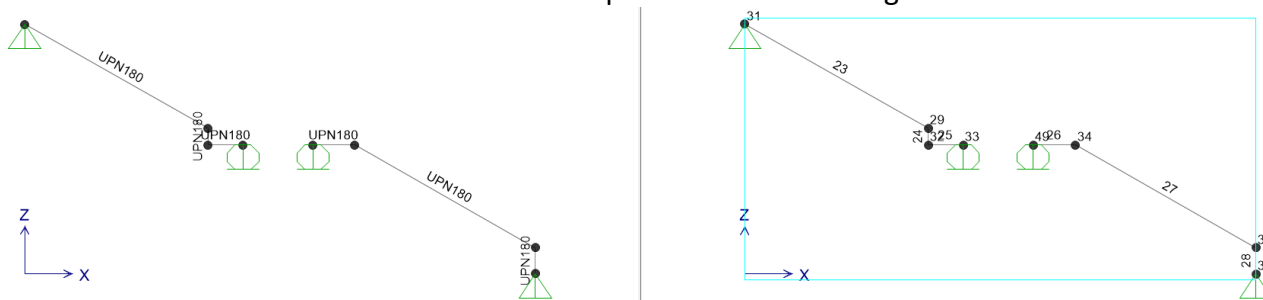
dove:

$W =$	[mm ³]	5985
$\chi =$	$1 / [\phi + (\phi^2 - \lambda^2)^{0.5}] =$	0.24
$\phi =$	$0,50 \cdot [1 + \alpha \cdot (\lambda - 0,2) + \lambda^2] =$	2.49
$\alpha =$		0.49

curva =	c
$\lambda = \lambda/\lambda_1 [\beta]^{0,5} =$	1.79
$\lambda_i = L_{0,i}/i_i =$	136.78
$\lambda_{1i} = 93,9 \varepsilon$	76.40
$\varepsilon = (235/f_y)^{0,5} =$	0.81
$k_{yy} =$	1.00
coeff. di variazione	
$\psi_i = M$ flettente	1.00

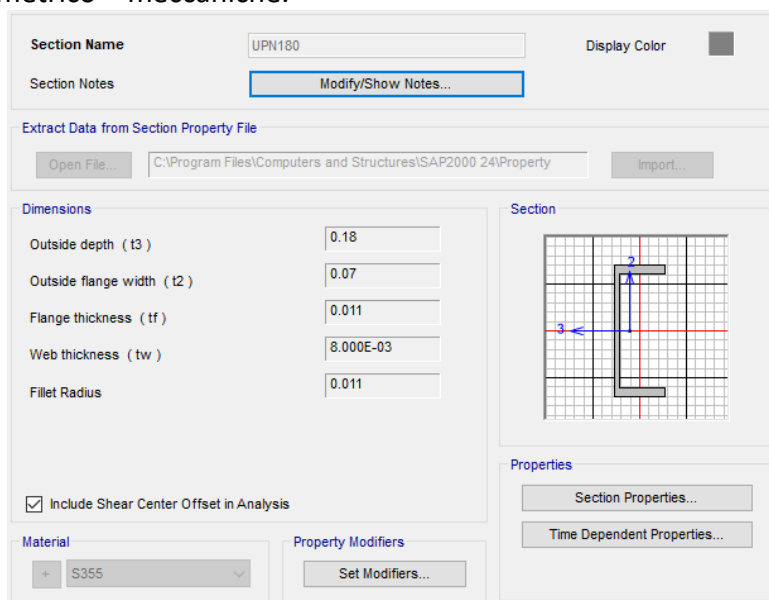
13.3. I cosciali UPN180

Come anticipato i dimensionamenti relativi ai cosciali laterali in UPN180 sono stati condotti attraverso la creazione di modelli FEM: se ne riportano alcune immagini.



IL COSCIALE: Modello FEM unifilare 3D con indicazione di vincoli e sezioni e nomenclatura di FRAME e JOINT

Ai fini della modellazione, gli elementi sono stati ricreati tramite FRAME di adeguate caratteristiche geometrico – meccaniche.



Definizione della sezione del cosciale

Come si può notare dalle immagini tutti i vincoli sono di semplice appoggio in estremità alle travi: gradini, pianerottolo, parapetti e sovraccarico sono computati nel modello come pesi calcolati esternamente. Si è tenuto conto del vincolo irrigidente offerto dalle finiture trasversali della scala, in sede di verifica dei profili.

CARICHI

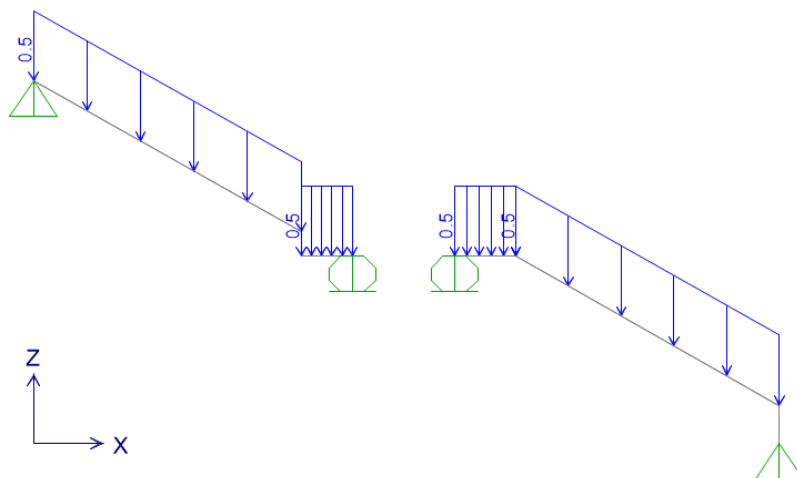
Si riportano le azioni applicate al modello, con l'indicazione del nome ad esse assegnato.
Il peso proprio dei profili è tenuto in conto automaticamente dal software di modellazione.
Per il peso dei gradini e del grigliato è stato computato un carico cautelativamente pari a 50kg/mq.
Tutti i carichi permanenti sono stati adeguatamente amplificati di una percentuale variabile, pari al 10/20%, per tenere conto del peso di bulloneria e piastrame vario.

CALCOLO AZIONI

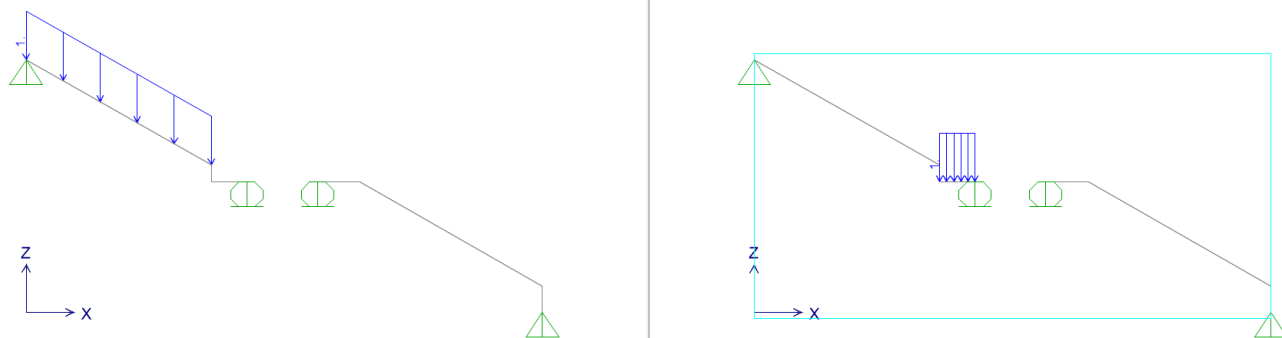
$g_{1,scalini} =$	0.60 kN/mq	<i>Peso dei gradini a mq, amplificato per tener conto di piastre e bulloneria</i>
$g_{1,grigliato} =$	0.60 kN/mq	<i>Peso del grigliato amplificato per tener conto di piastre e bulloneria</i>
$g_{1,parapetto} =$	0.12 kN/m	<i>Peso del corrimano a metro amplificato per tener conto dei riempimenti</i>
$q =$	2.00 kN/mq	<i>Carico variabile distribuito</i>

CARICHI SU MODELLO

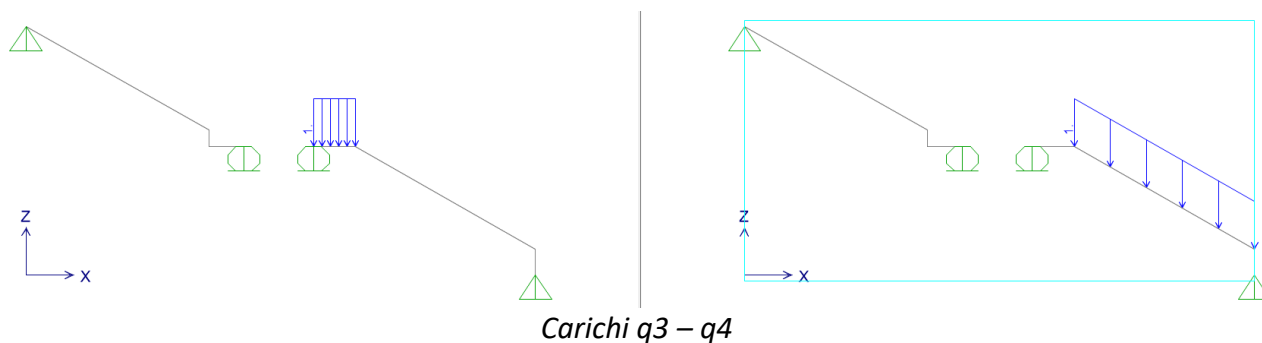
$L =$	1.00 m	larghezza scala utile	
DA CALCOLO APPLICATI			
Coefficiente =	0.5		
$g_{1,g} =$	0.42	0.50	kN/m
$g_{1,s} =$	0.42	0.50	kN/m
$q =$	1.00	1.00	kN/m



Carico g_1



Carichi $q_1 - q_2$



COMBINAZIONI DI CARICO

Si riporta la definizione delle combinazioni di carico inserite nel modello strutturale. Oltre a quelle riportate sono state considerate comode combinazioni involuppo.

TABLE: Combination Definitions					
ComboName	ComboType	AutoDesign	CaseType	CaseName	ScaleFactor
Text	Text	Yes/No	Text	Text	Unitless
SLU1	Linear Add	No	Linear Static	DEAD	1.35
SLU1			Linear Static	g1	1.5
SLU1			Linear Static	q1	1.5
SLU2	Linear Add	No	Linear Static	DEAD	1.35
SLU2			Linear Static	g1	1.5
SLU2			Linear Static	q2	1.5
SLU3	Linear Add	No	Linear Static	DEAD	1.35
SLU3			Linear Static	g1	1.5
SLU3			Linear Static	q3	1.5
SLU4	Linear Add	No	Linear Static	DEAD	1.35
SLU4			Linear Static	g1	1.5
SLU4			Linear Static	q4	1.5
SLU5	Linear Add	No	Linear Static	DEAD	1.35
SLU5			Linear Static	g1	1.5
SLU5			Linear Static	q1	1.5
SLU5			Linear Static	q2	1.5
SLU5			Linear Static	q3	1.5
SLU5			Linear Static	q4	1.5
SLU6	Linear Add	No	Linear Static	DEAD	1.35
SLU6			Linear Static	g1	1.5
SLE1	Linear Add	No	Linear Static	DEAD	1
SLE1			Linear Static	g1	1
SLE1			Linear Static	q1	1
SLE2	Linear Add	No	Linear Static	DEAD	1
SLE2			Linear Static	g1	1
SLE2			Linear Static	q2	1
SLE3	Linear Add	No	Linear Static	DEAD	1
SLE3			Linear Static	g1	1
SLE3			Linear Static	q3	1
SLE4	Linear Add	No	Linear Static	DEAD	1
SLE4			Linear Static	g1	1
SLE4			Linear Static	q4	1
SLE5	Linear Add	No	Linear Static	DEAD	1
SLE5			Linear Static	g1	1
SLE5			Linear Static	q1	1
SLE5			Linear Static	q2	1
SLE5			Linear Static	q3	1
SLE5	Linear Add	No	Linear Static	q4	1
SLE6			Linear Static	DEAD	1

SLE6

Linear Static

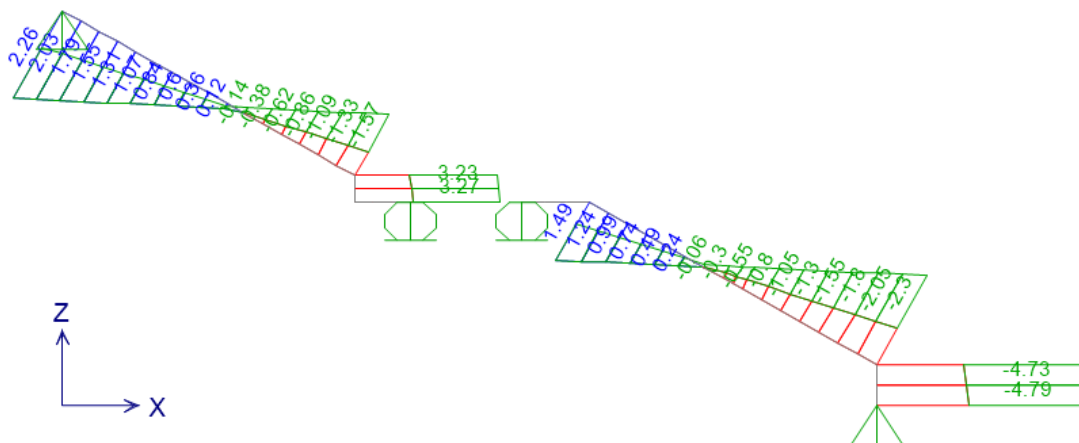
g1

1

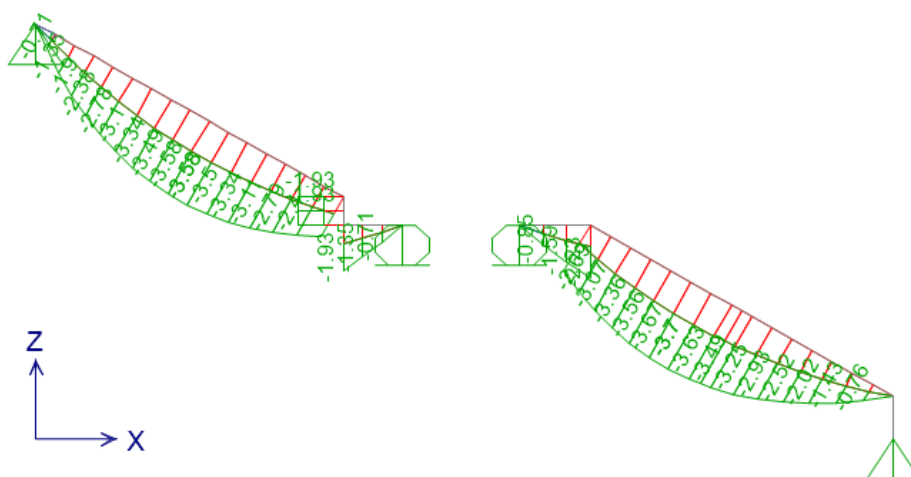
SOLLECITAZIONI RISULTANTI

Si riportano le immagini con le sollecitazioni risultanti dagli involuipi a SLU e a SLE.

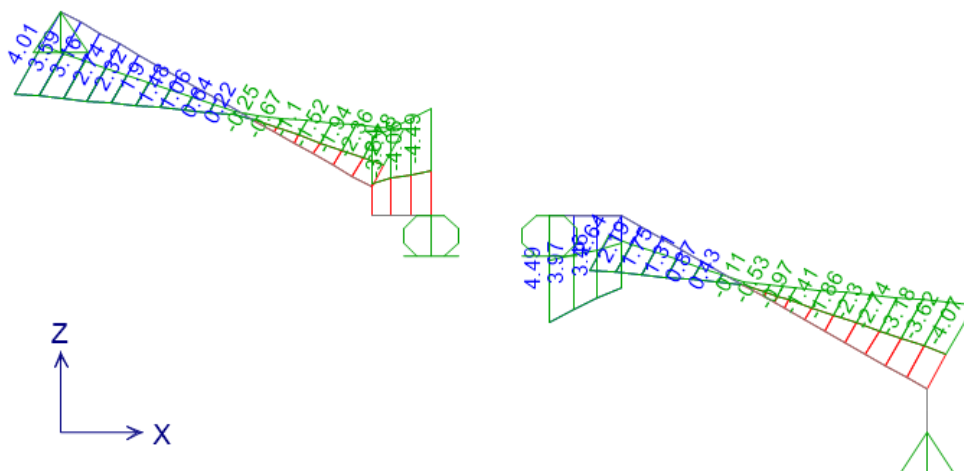
SOLLECITAZIONI A SLU



Azione assiale N - ENV_SLU

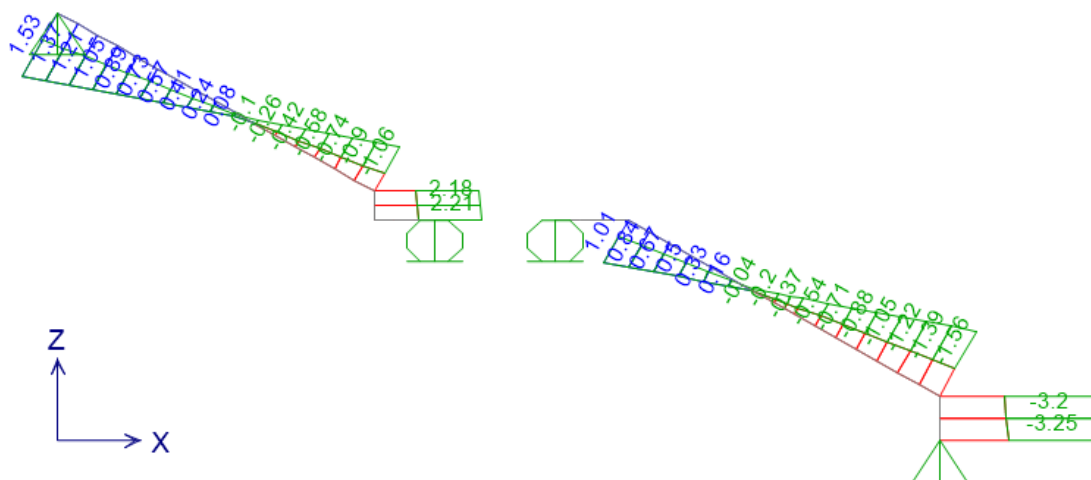


Azione flettente M33 - ENV_SLU

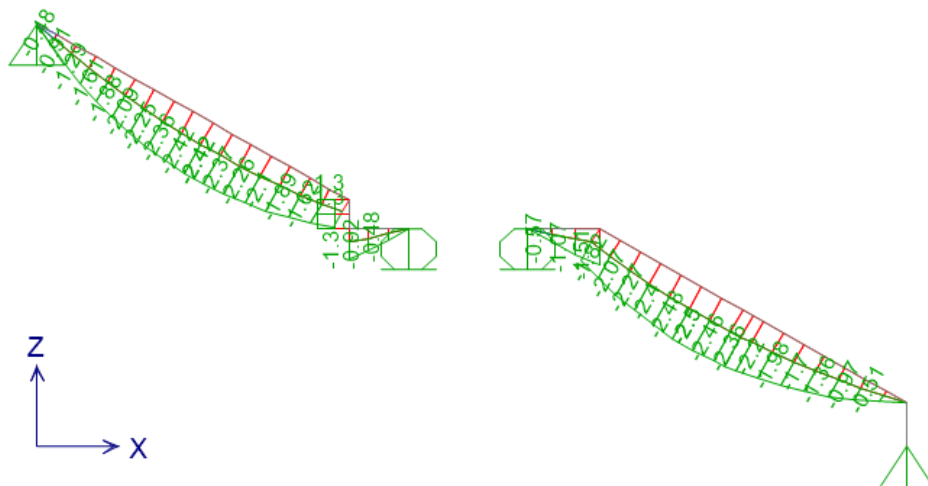


Azione tagliante V22 - ENV_SLU

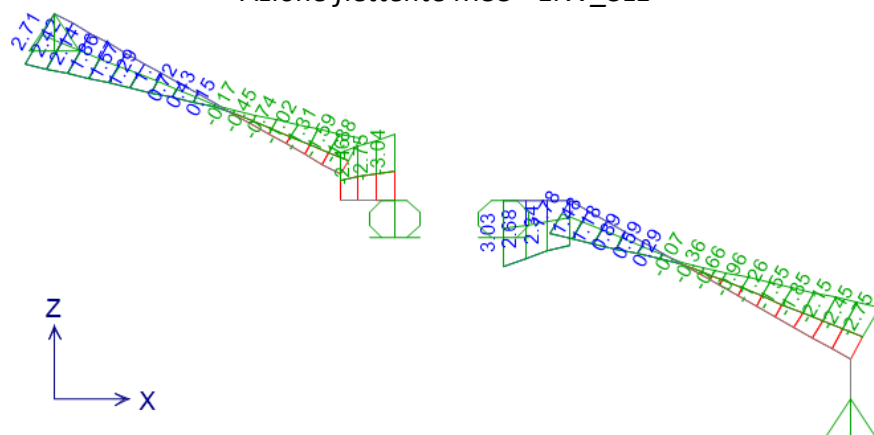
SOLLECITAZIONI A SLE



Azione assiale N - ENV_SLE



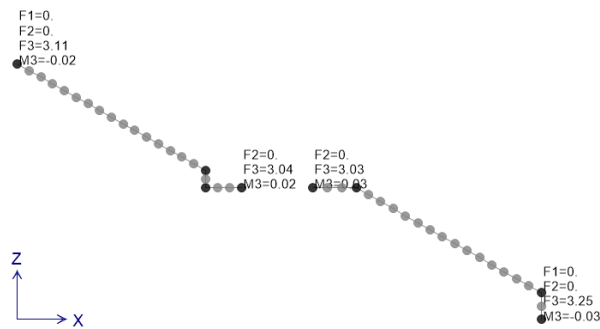
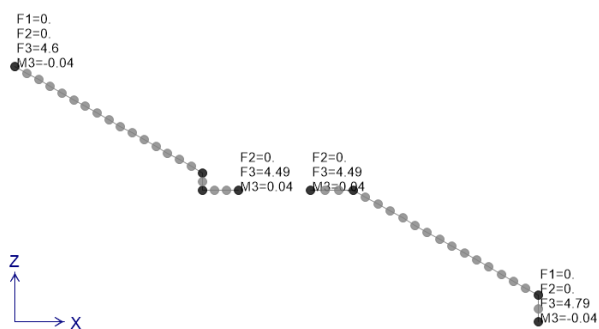
Azione flettente M33 - ENV_SLE



Azione tagliante V22 - ENV_SLE

REAZIONI

Si riportano le massime reazioni a involucro SLU e SLE.



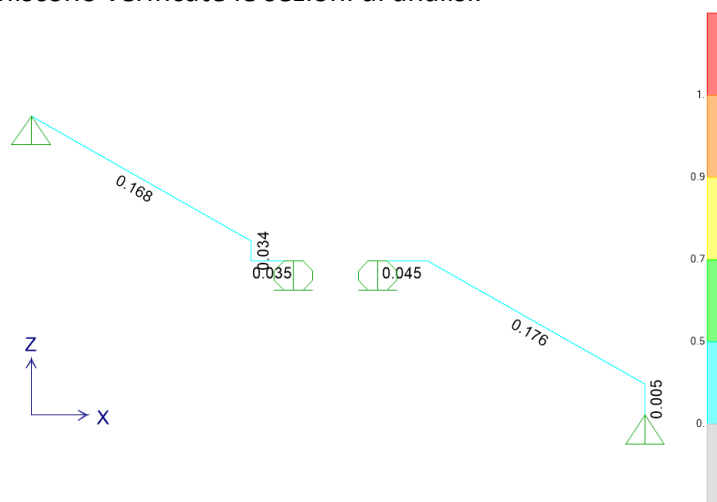
VERIFICHE

Le verifiche a SLU e a SLE (deflessione) sono state portate a termine direttamente dal software di modellazione, una volta impostati gli adeguati parametri di analisi.

Item	Value
1 Design Code	Italian NTC 2018
2 Method Used for Buckling in P-M-M	Method Both
3 Multi-Response Case Design	Envelopes - All
4 Framing Type	Non Dissipative
5 Behavior Factor, q_0	1.
6 System Overstrength Factor, Ω	1.
7 Consider P-Delta Done?	No
8 Consider Torsion?	No
9 Γ_{M0}	1.05
10 Γ_{M1}	1.05
11 Γ_{M2}	1.25
12 Ignore Seismic Code?	Yes
13 Ignore Special Seismic Load?	Yes
14 Is Doubler Plate Plug-Welded?	No
15 Consider Deflection?	Yes
16 DL Limit, L/	250.
17 Super DL+LL Limit, L/	250.
18 Live Load Limit, L/	250.
19 Total Limit, L/	200.
20 Total-Camber Limit, L/	200.
21 Pattern Live Load Factor	0.
22 Demand/Capacity Ratio Limit	1.

Parametri di verifica

Si riporta una schermata con i coefficienti di sicurezza ottenuti per gli elementi in oggetto: fattori inferiori all'unità definiscono verificate le sezioni di analisi.

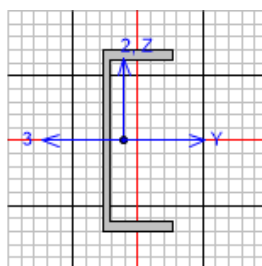


Coefficienti di verifica

Come si può notare anche dalla colorazione delle aste le sezioni risultano verificate.

VERIFICA A SLU NELLA SEZIONE MAGGIORMENTE SOLLECITATA

Come anticipato, è stato considerato, in sede di verifica, il contributo irrigidente, in direzione trasversale, offerto dalla struttura dei gradini e del grigliato.



Units

Italian NTC 2018 STEEL SECTION CHECK (Flexural Details for Combo and Station)
Units : KN, m, C

Frame : 27	X Mid: 6.01	Combo: SLU5	Design Type: Brace
Length: 2.964	Y Mid: 0.	Shape: UPN180	Frame Type: Non Dissipative
Loc : 2.964	Z Mid: 1.1	Class: Class 1	Rolled : Yes

Interaction=Method Both	MultiResponse=Envelopes - All	P-Delta Done? No
Consider Torsion? No		

GammaM0=1.05	GammaM1=1.05	GammaM2=1.25		
An/Ag=1.	RLLF=1.	PLLF=0.	D/C Lim=1.	Prin. Axis Angle = 0. deg

Aeff=0.003	Av,2=0.001	Av,3=0.002	eNy=0.	eNz=0.
A=0.003	Iy=1.353E-05	iy=0.07	We1,y=1.503E-04	Weff,y=1.503E-04
It=8.908E-08	Iz=1.137E-06	iz=0.02	We1,z=2.238E-05	Weff,z=2.238E-05
Iw=6.402E-09	Iyz=0.	h=0.18	Wpl,y=1.836E-04	
E=210000000.	fy=355000.	fu=510000.	Wpl,z=4.804E-05	

STRESS CHECK FORCES & MOMENTS

Location	Ned	My,Ed	Mz,Ed	V2,Ed	V3,Ed	TEd
2.964	-2.301	-6.049E-14	-0.033	4.067	0.	0.146

PMM DEMAND/CAPACITY RATIO (Governing Equation NTC Eq C4.2.38)

$$\begin{aligned}
 \text{D/C Ratio: } & 0.176 = 0.012 + 0.162 + 0.002 < 1. \quad \text{OK} \\
 & = \frac{N_{Ed}}{(\chi_{i,z} N_{Rk}/\gamma_{M1})} + k_{zy} \frac{(M_{y,Ed} + N_{Ed} e_{Ny})}{(\chi_{i,LT} M_{y,Rk}/\gamma_{M1})} \\
 & \quad + k_{zz} \frac{(M_{z,Ed} + N_{Ed} e_{Nz})}{(M_{z,Rk}/\gamma_{M1})} \quad (\text{NTC Eq C4.2.38})
 \end{aligned}$$

BASIC FACTORS

Buckling Mode	K Factor	L Factor	Lcr/i
Y-Y	1.	1.	42.615
Y-Y Braced	1.	1.	42.615
Z-Z	1.	1.	147.005
Z-Z Braced	1.	1.	147.005
LTB	1.	1.	147.005

AXIAL FORCE DESIGN

	NEd Force	Nc,Rd Capacity	Nt,Rd Capacity
Axial	-2.301	945.314	945.314

		Npl,Rd	Nu,Rd	Ncr,T	Ncr,TF	An/Ag	
		945.314	1026.691	1236.462	1091.742	1.	
	Curve	Alpha	Ncr	LambdaBar	Phi	Chi	Nb,Rd
Y-Y	c	0.49	3191.	0.558	0.743	0.81	765.847
Y-Y Braced	c	0.49	3191.	0.558	0.743	0.81	765.847
Z-Z	c	0.49	268.157	1.924	2.773	0.21	198.168
Z-Z Braced	c	0.49	268.157	1.924	2.773	0.21	198.168
Torsional TF	c	0.49	1091.742	0.954	1.139	0.567	536.328

MOMENT DESIGN

	MEd Moment	MEd,span Moment	Mm,Ed Moment	Meq,Ed Moment
Y-Y	0.	-3.696	-2.745	3.569
Z-Z	-0.033	-0.033	-0.033	-0.033

	Mc,Rd Capacity	Mv,Rd Capacity	Mn,Rd Capacity	Mb,Rd Capacity
Y-Y	62.074	62.074	62.074	22.785
Z-Z	16.242	16.242	16.242	

Compactness	Section Class 1	Flange Class 1	Web Class 1	Epsilon 0.814	Alpha 0.503	Psi -0.995
-------------	--------------------	-------------------	----------------	------------------	----------------	---------------

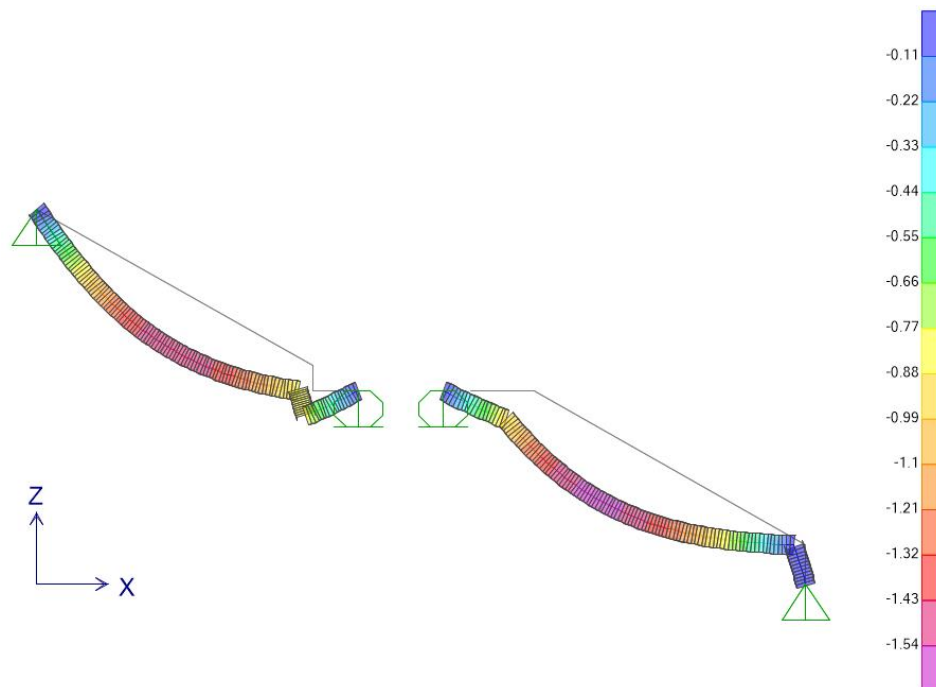
LTB	Curve d	AlphaLT 0.76	LambdaBarLT 1.223	PhiLT 1.637	ChiLT 0.367	Iw 6.402E-09	Mcr 43.571
-----	------------	-----------------	----------------------	----------------	----------------	-----------------	---------------

Factors	kw 1.	Psi 1.132	C2 0.459	C3 0.525
	za 0.09	zs 0.	zg 0.09	zz 0.
				zj 0.

Factors	Cmy 0.981	Cmz 1.	CmLT 0.981	kyy 0.982	kyz 0.606	kzy 0.998	kzz 1.009
---------	--------------	-----------	---------------	--------------	--------------	--------------	--------------

SPOSTAMENTI MASSIMI RISCONTRATI NEL MODELLO

Le verifiche a freccia sono puntualmente eseguite dal software; si riporta comunque un'immagine con gli spostamenti massimi rilevati nel modello.



Deformazione massima COSCIALE

Come si può vedere, le traslazioni riscontrate in combinazione caratteristica sono dell'ordine massimo del millimetro, pari approssimativamente a $l/2500$: si ritiene che il valore sia più che accettabile per una struttura di tale entità.

13.4. La fondazione

Si riporta la verifica della suola di fondazione alla base della scala: si premettono i carichi, seguiti dalle analisi necessarie.

ANALISI DEI CARICHI

REAZIONI PER COLONNA HEA140 IN FONDAZIONE

Fondazione centrale

$R_{SLU, SAP2000} =$	9.00 kN	Reazione totale centrale a SLU
$R_{SLE, SAP2000} =$	6.00 kN	Reazione totale centrale a SLE
$p_{HEA140} =$	24.7 kg/m	
$L_{HEA140} =$	2.3 m	
$P_{HEA140} =$	0.57 kN	
$R_{SLU} =$	9.77 kN	
$R_{SLE} =$	6.57 kN	

Fondazione laterale

$R_{SLU, SAP2000} =$	4.80 kN
$R_{SLE, SAP2000} =$	3.20 kN
$R_{SLU} =$	4.80 kN
$R_{SLE} =$	3.20 kN

CALCOLO DELLE SOLLECITAZIONI PER MENSOLA DI FONDAZIONE

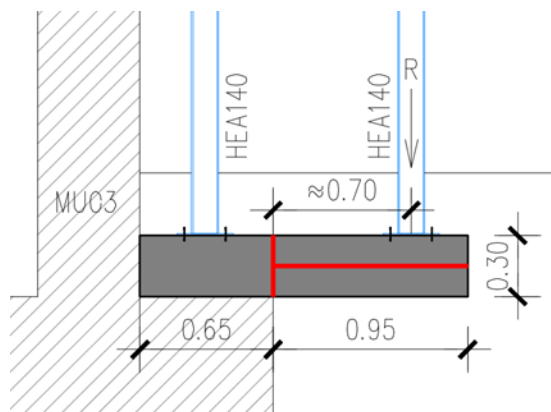
Si considera la suola di fondazione alla base degli HEA140.

Caratteristiche geometriche sezione

H =	0.3 m
B =	0.6 m

Lo schema di calcolo considerato per la verifica della sezione prevede cautelativamente una mensola con incastro nella prima sezione di appoggio sulla fondazione del muro MU03

$L_{sbalzo} = 1.0 \text{ m}$ Lunghezza sbalzo suola



$R_{SLU} =$	9.00 kN	Reazione massima colonna scala a SLU
$R_{SLE} =$	6.00 kN	Reazione massima colonna scala a SLE

$L_R =$	0.70 m	Lunghezza braccio di applicazione R
$h_r =$	0.35 m	Altezza ricoprimento su suola
$\gamma_r =$	22.00 kN/mc	Peso specifico ricoprimento corridoio manutenzione (a favore di sicurezza)
$p_{dr} =$	7.70 kN/mq	Peso distribuito ricoprimento
$p_r =$	4.62 kN/m	Peso ricoprimento su suola
$\gamma_{cls} =$	25.00 kN/mc	Peso specifico calcestruzzo
$p_s =$	4.50 kN/m	Peso suola a metro

Coefficienti di sicurezza

$\gamma_{G1} =$	1.35	Coefficiente parziale azioni permanenti
$\gamma_{G2} =$	1.50	Coefficiente parziale azioni permanenti portati
$\gamma_Q =$	1.50	Coefficiente parziale azioni variabili

Sollecitazioni in incastro

	SLU	SLE	
$M_{Ed} =$	12.46	8.76	kNm
$V_{Ed} =$	21.31	15.12	kN

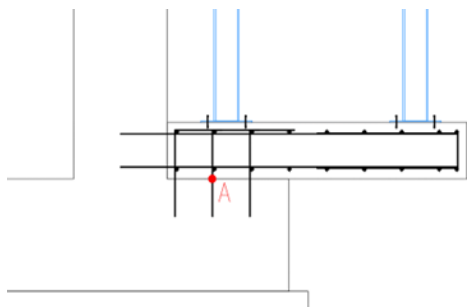
Lo schema di calcolo considerato per il dimensionamento degli inghisaggi prevede la ripartizione delle sollecitazioni come segue:

il taglio è affidato alle barre fissate all'elevazione del muro

il momento è affidato alle barre fissate alla fondazione del muro

A favore di sicurezza vengono trascurati tutti i contributi di carico benefici offerti dalle azioni superiori allo sbalzo di valle della fondazione del muro

Si calcola il momento nel punto A al fine di calcolare gli inghisaggi in fondazione



	SLU
$M_{Ed} =$	20.98 kNm

VERIFICA DELLA SEZIONE

Caratteristiche meccaniche dei materiali

Calcestruzzo	C25/30	$R_{ck} =$	30	N/mm ²	$f_{ck} =$	25	N/mm ²
$\gamma_c =$	1.50	$\alpha_{cc} =$	0.85		$f_{cd} =$	14.17	N/mm ²
		$E_c =$	31476	N/mm ²	$f_{ctm} =$	2.56	N/mm ²
Acciaio	B450C	$E_s =$	200000	N/mm ²	$f_{yk} =$	450	N/mm ²
$\gamma_s =$	1.15	$\varepsilon'_{se} =$	1.96		$f_{yd} =$	391.3	N/mm ²

Caratteristiche geometriche della sezione

B =	600	mm base
H =	300	mm altezza
c =	58	mm coprifer.

n.	ø(mm)	A _s (mm ²)	y (mm)
4	12	452	58
4	12	452	242
Σ		905	mm ²

N_{Ed} positivo di compressione

M_{Ed} positivo se tende le fibre inferiori della sezione

y distanza dell'armatura dal lembo superiore

Verifiche agli Stati Limite Ultimi

Flessione

Combinazione	posizione	N _{Ed} [kN]	M _{Ed} [kNm]	V _{Ed} [kN]	M _{Rd} [kNm]	$\frac{M_{Rd}}{M_{Ed}}$
SLU	inc		12.46	21.31	42.84	3.44

Taglio

Combinazione	posizione	V _{Rd,0} [kN]	V _{Rd,s} [kN]	V _{Rd,c} [kN]	V _{Rd} [kN]	$\frac{V_{Rd}}{V_{Ed}}$
SLU	inc	67.03			67.03	3.14

Verifiche agli Stati Limite Esercizio - Tensioni in esercizio

Comb. caratteristica

$\sigma_c =$ 15.0 N/mm² $\sigma_s =$ 360.0 N/mm²

Combinazione	posizione	N _{Ed} [kN]	M _{Ed} [kNm]	M _{Rd} [kNm]	$\frac{M_{Rd}}{M_{Ed}}$
SLE	inc		8.76	35.49	4.05

Comb. Quasi perm.

$\sigma_c =$ 11.3 N/mm² $\sigma_s =$ 360.0 N/mm²

Combinazione	posizione	N _{Ed} [kN]	M _{Ed} [kNm]	M _{Rd} [kNm]	$\frac{M_{Rd}}{M_{Ed}}$
SLE	inc		8.76	35.49	4.05

Verifiche agli Stati Limite Esercizio - Fessurazione

Condizioni ambientali ordinarie

armatura poco sensibile

$\alpha_e =$ 6.35	$\phi_{eq} =$ 12.00	$k_3 =$ 3.4	$k_4 =$ 0.425
$k_1 =$ 0.8	$k_2 =$ 0.5		

Comb. Frequente

$k_t =$ 0.6 $w_{lim} =$ 0.4 mm

Combinazione	posizione	N _{Ed} [kN]	M _{Ed} [kNm]	σ_s [MPa]	x [mm]	A _s [mm ²]
SLE	inc		8.76	88	63	452

Combinazione	$A_{c,eff}$ [mm ²]	ρ_{eff}	ε_{sm}	Δ_{smax} [mm]	w_d [mm]	Verifica
SLE	47439	0.01	0.03%	390.72	0.10	OK

Comb. Quasi perm.

$k_t = 0.4$

$w_{lim} = 0.3$ mm

Combinazione	posizione	N_{Ed} [kN]	M_{Ed} [kNm]	σ_s [MPa]	x [mm]	A_s [mm ²]
SLE	inc		8.76	88	63	452
Combinazione	$A_{c,eff}$ [mm ²]	ρ_{eff}	ε_{sm}	Δ_{smax} [mm]	w_d [mm]	Verifica
SLE	47439	0.01	0.03%	390.72	0.10	OK

VERIFICA DELL'INGHISAGGIO IN FONDAZIONE

Si riporta l'analisi degli inghisaggi della struttura alla fondazione: le sollecitazioni di verifica fanno riferimento a quelle calcolate al paragrafo precedente per la Sezione A.

L'analisi viene condotta attraverso il software di progettazione fornito dal produttore dell'ancorante: si rimanda alla Direzione Lavori la verifica della conformità della realizzazione con le ipotesi assunte in relazione.

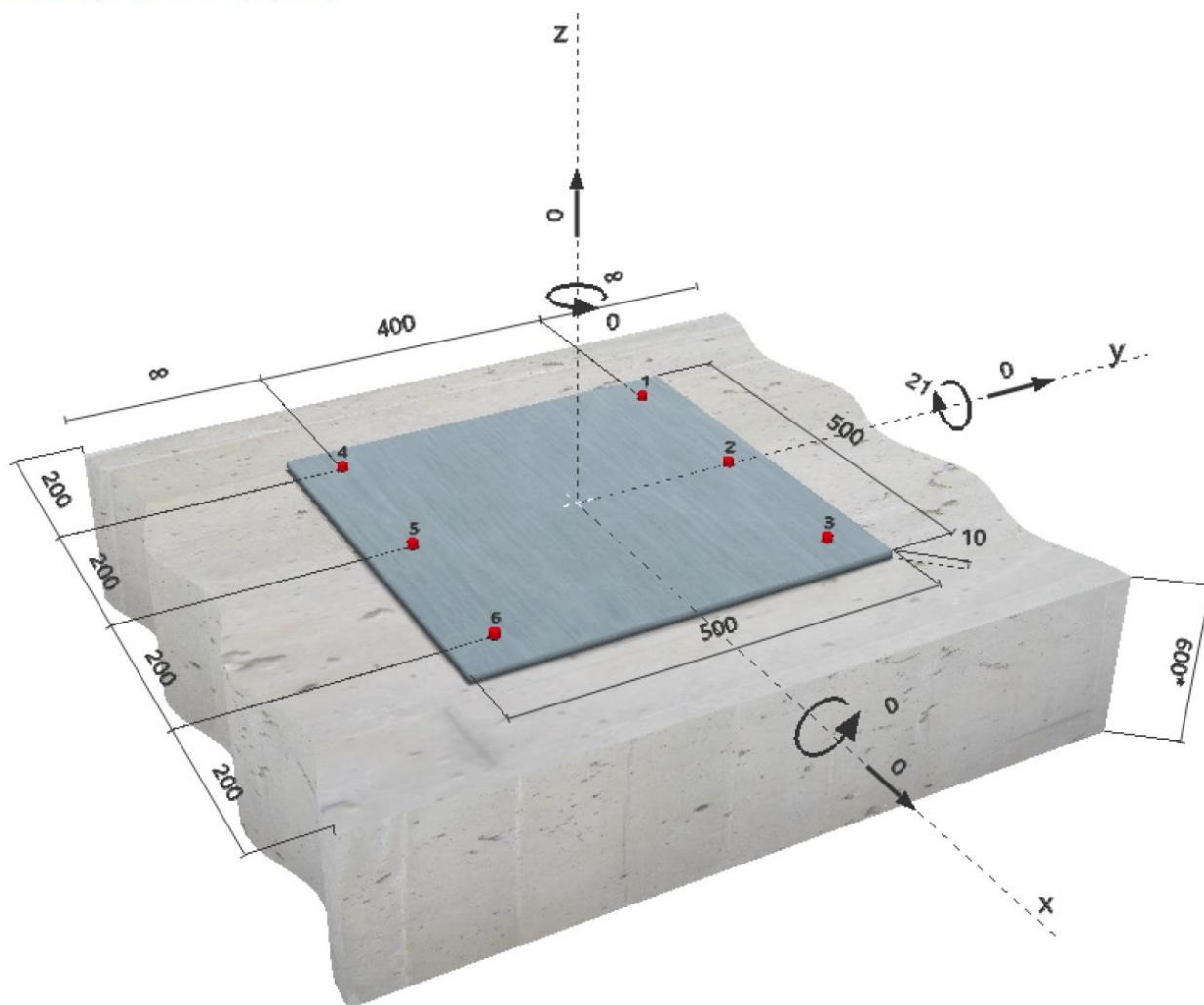
Si noti che la piastra inserita nei calcoli costituisce unicamente un aspetto grafico e che non influisce ai fini delle analisi.

1 Dati da inserire

Tipo e dimensione dell'ancorante:	HIT-HY 200-A + Rebar 12mm
Profondità di posa effettiva:	$h_{ef,opti} = 121$ mm ($h_{ef,limit} = 240$ mm)
Materiale:	B500B
Certificazione No.:	ETA 11/0493
Prova:	metodo di calcolo ETAG BOND (EOTA TR 029)
Fissaggio distanziato:	$e_b = 0$ mm (Senza distanziamento); $t = 10$ mm
Piastra d'ancoraggio:	$l_x \times l_y \times t = 500$ mm x 500 mm x 10 mm; (Spessore della piastra raccomandato: non calcolato)
Profilo:	nessun profilo
Materiale base:	fessurato calcestruzzo, C25/30, $f_{cc} = 30.00$ N/mm ² ; $h = 600$ mm, Temp. Breve/Lungo: 0/0 °C
Installazione:	Foro eseguito con perforatore, Condizioni di installazione: asciutto
Armatura:	nessuna armatura o interasse tra le armature ≥ 150 mm (qualunque \varnothing) o ≥ 100 mm ($\varnothing \leq 10$ mm) senza armatura di bordo longitudinale



Geometria [mm] & Carichi [kN, kNm]



2 Condizione di carico/Carichi risultanti sull'ancorante

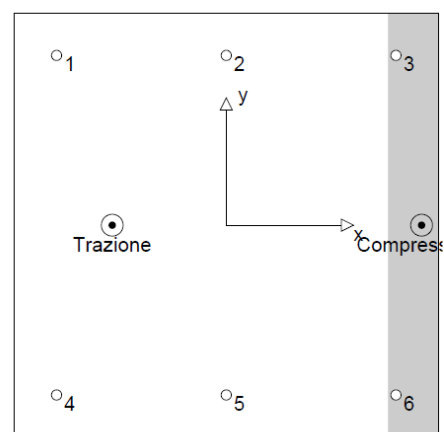
Condizione di carico: Carichi di progetto

Carichi sull'ancorante [kN]

Trazione: (+ Trazione, - Compressione)

Ancorante	Trazione	Taglio	Taglio in dir. x	Taglio in dir. y
1	19.349	0.000	0.000	0.000
2	9.446	0.000	0.000	0.000
3	0.000	0.000	0.000	0.000
4	19.349	0.000	0.000	0.000
5	9.446	0.000	0.000	0.000
6	0.000	0.000	0.000	0.000

Compressione max. nel calcestruzzo: 0.13 [‰]
 Max. sforzo di compressione nel calcestruzzo: 3.89 [N/mm²]
 risultante delle forze di trazione nel (x/y)=(-134/0): 57.590 [kN]
 risultante delle forze di compressione (x/y)=(230/0): 57.590 [kN]



3 Carico di trazione (EOTA TR 029, Sezione 5.2.2)

	Carico [kN]	Resistenza [kN]	Utilizzo β_N [%]	Stato
Rottura dell'acciaio*	19.349	44.286	44	OK
Rottura combinata conica del calcestruzzo e per sfilamento**	57.590	57.758	100	OK
Rottura conica del calcestruzzo**	57.590	91.254	64	OK
Fessurazione**	N/A	N/A	N/A	N/A

*ancorante più sollecitato **gruppo di ancoranti (ancoranti sollecitati)

3.1 Rottura dell'acciaio

$N_{Rk,s}$ [kN]	$\gamma_{M,s}$	$N_{Rd,s}$ [kN]	N_{Sd} [kN]
62.000	1.400	44.286	19.349

3.2 Rottura combinata conica del calcestruzzo e per sfilamento

$A_{p,N}$ [mm ²]	$A_{p,N}^0$ [mm ²]	$\tau_{Rk,ucr,25}$ [N/mm ²]	$s_{cr,Np}$ [mm]	$c_{cr,Np}$ [mm]	c_{min} [mm]
305751	92160	12.00	304	152	200
ψ_c	$\tau_{Rk,cr}$ [N/mm ²]	k	$\psi_{g,Np}^0$	$\psi_{g,Np}$	
1.000	7.00	2.300	1.528	1.003	
$e_{c1,N}$ [mm]	$\psi_{ec1,Np}$	$e_{c2,N}$ [mm]	$\psi_{ec2,Np}$	$\psi_{s,Np}$	$\psi_{re,Np}$
34	0.815	0	1.000	1.000	1.000
$N_{Rk,p}^0$ [kN]	$N_{Rk,p}$ [kN]	$\gamma_{M,p}$	$N_{Rd,p}$ [kN]	N_{Sd} [kN]	
31.931	86.637	1.500	57.758	57.590	

3.3 Rottura conica del calcestruzzo

$A_{c,N}$ [mm ²]	$A_{c,N}^0$ [mm ²]	$c_{cr,N}$ [mm]	$s_{cr,N}$ [mm]			
408738	131769	182	363			
$e_{c1,N}$ [mm]	$\psi_{ec1,N}$	$e_{c2,N}$ [mm]	$\psi_{ec2,N}$	$\psi_{s,N}$	$\psi_{re,N}$	k_1
34	0.841	0	1.000	1.000	1.000	7.200
$N_{Rk,c}^0$ [kN]	$\gamma_{M,c}$	$N_{Rd,c}$ [kN]	N_{Sd} [kN]			
52.489	1.500	91.254	57.590			

4 Carico di taglio (EOTA TR 029, Sezione 5.2.3)

	Carico [kN]	Resistenza [kN]	Utilizzo β_v [%]	Stato
Rottura dell'acciaio (senza braccio di leva)*	N/A	N/A	N/A	N/A
Rottura dell'acciaio (con braccio di leva)*	N/A	N/A	N/A	N/A
Rottura per pryout*	N/A	N/A	N/A	N/A
Rottura del bordo del calcestruzzo in direzione **	N/A	N/A	N/A	N/A

*ancorante più sollecitato **gruppo di ancoranti (ancoranti specifici)

5 Spostamenti (ancorante più sollecitato)

Carichi a breve termine:

N_{Sk}	=	14.332 [kN]	δ_N	=	0.346 [mm]
V_{Sk}	=	0.000 [kN]	δ_V	=	0.000 [mm]
			δ_{NV}	=	0.346 [mm]

Carichi a lungo termine:

N_{Sk}	=	14.332 [kN]	δ_N	=	0.503 [mm]
V_{Sk}	=	0.000 [kN]	δ_V	=	0.000 [mm]
			δ_{NV}	=	0.503 [mm]

L'ancoraggio risulta verificato!

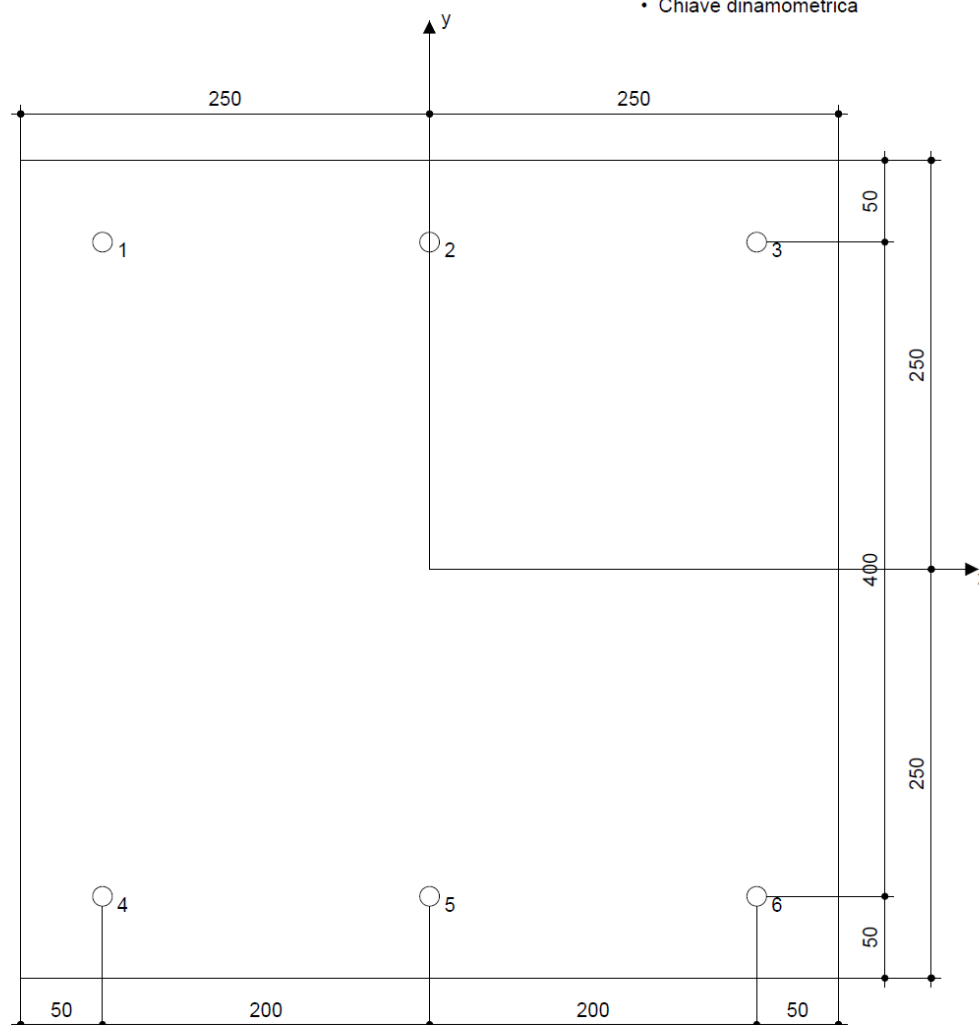
7 Dati relativi all'installazione

Piastra d'ancoraggio, acciaio: -
 Profilo: nessun profilo; 0 x 0 x 0 mm
 Diametro del foro nella piastra: $d_f = 12$ mm
 Spessore della piastra (input): 10 mm
 Spessore della piastra raccomandato: non calcolato
 Pulizia: E' necessaria una pulizia accurata del foro (Premium cleaning)

Tipo e dimensione dell'ancorante: HIT-HY 200-A + Rebar 12mm
 Coppia di serraggio: 0.000 kNm
 Diametro del foro nel materiale base: 16 mm
 Profondità del foro nel materiale base: 121 mm
 Spessore minimo del materiale base: 153 mm

7.1 Accessori richiesti

Perforazione	Pulizia	Posa
<ul style="list-style-type: none"> • Idoneo per rotopercolazione • Dimensione appropriata della punta del trapano 	<ul style="list-style-type: none"> • Aria compressa con i relativi accessori necessari per soffiare a partire dal fondo del foro. • Diametro appropriato dello scovolino 	<ul style="list-style-type: none"> • Il dispenser include il portacartucce e il miscelatore • Per installazioni profonde è necessario utilizzare l'ugello per iniezione • Chiave dinamometrica



Coordinate dell'ancorante [mm]

Ancorante	x	y	C _{-x}	C _{+x}	C _{-y}	C _{+y}
1	-200	200	200	600	-	-
2	0	200	400	400	-	-
3	200	200	600	200	-	-

Ancorante	x	y	C _{-x}	C _{+x}	C _{-y}	C _{+y}
4	-200	-200	200	600	-	-
5	0	-200	400	400	-	-
6	200	-200	600	200	-	-

14. VALIDAZIONE DEL SOFTWARE DI CALCOLO

Preliminarmente all'esecuzione delle verifiche delle opere di sostegno di cui alla presente relazione di calcolo, si riporta, come richiesto dalla normativa vigente, la validazione dei modelli numerici utilizzati per le analisi. Nello specifico si calcolano manualmente alcune quantità caratteristiche di un'opera di sostegno con le seguenti caratteristiche:

H = 3.00m altezza muro;
 $\gamma_t = 19.00 \text{ kN/mc}$ peso specifico terreno spingente;
 $\phi = 35^\circ$ angolo di attrito terreno spingente;
 $\delta = 0^\circ$ angolo di attrito terra-muro;
 $q = 20.00 \text{ kN/mq}$ sovraccarico variabile a tergo del muro;

Calcoli:

$k_a = \tan^2(\pi/4 - \phi/2) = 0.27$ coeff. di spinta attiva
 $St = \frac{1}{2} \gamma_t H^2 k_a = 23.08 \text{ kN/m}$ spinta delle terre totale sul paramento;
 $Sq = q H k_a = 16.20 \text{ kN/m}$ spinta del sovraccarico totale sul paramento;

$M_t = St H/3 = 23.08 \text{ kNm/m}$ momento flettente dovuto alla spinta delle terre a base paramento;
 $V_t = St = 23.08 \text{ kN/m}$ taglio dovuto alla spinta delle terre a base paramento;
 $M_q = Sq H/2 = 24.30 \text{ kNm/m}$ momento flettente dovuto alla spinta del sovraccarico a base paramento;
 $V_q = Sq = 16.20 \text{ kN/m}$ taglio dovuto alla spinta del sovraccarico a base paramento;

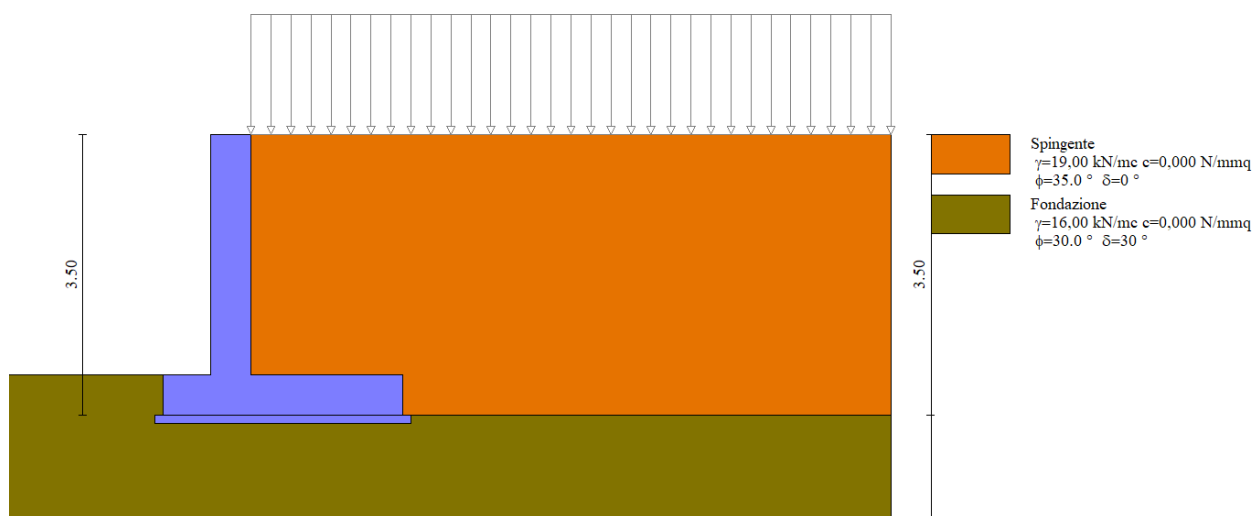
Combinazione 01 (spinta delle terre x1.30 – spinta del sovraccarico x1.50)

$M_{slu} = 66.45 \text{ kNm/m}$

$V_{slu} = 54.30 \text{ kN/m}$

$N_{slu} = 3.00\text{m} \times 0.50\text{m} \times 25 \text{ kN/mc} \times 1.00 = 37.50 \text{ kN/m}$

Dal software di calcolo si ottiene:



Relativamente alle verifiche strutturali, considerando la sezione di base paramento armata con $5\phi 14$ su entrambi i lati e considerando il momento resistente “sostanzialmente elastico” si ottiene quanto segue:

[illegible]

Dal software di calcolo, per la medesima sezione e per la medesima combinazione di carico si ottiene:

Verifiche Paramento

-3,22;-2,97

af1 : 0,000770 afs : 0,000770 [mq]

asag : 0,000000 [mq]

M = 66,7134 [kNm]

N = 37,5000 [kN]

T = 54,5130 [kN]

Mrd = 132,3977 [kNm]

Nrd = 37,5000 [kN]

Fs = 1,98

VRd = 208,8255 [kN]

Fs_t = 3,83

Come si può notare la corrispondenza tra quanto dedotto dal software e quanto atteso risulta essere ottima.

Visti i risultati ottenuti si conclude che i risultati ottenuti dal software di calcolo sono accettabili.